

Inflamación, resistencia insulínica y DM-obesidad

Gema Frühbeck

*Depto. de Endocrinología y Nutrición
Laboratorio de Investigación Metabólica
Clínica Universidad de Navarra*



ciberobn

Centro de Investigación Biomédica En Red
Fisiopatología de la Obesidad y Nutrición

SEMI
Enfermedades Diabetes y Obesidad

IV
Reunión
Diabetes y
Obesidad

Palacio de Congresos. Salamanca
28-30 Enero 2010

REDCEDAPS
SOCIEDAD ESPAÑOLA DE CARDIOLOGÍA
Instituto de Investigación Arterial
Grupo de Carcinoma y Diabetes
Seed
FUNDACIÓN IISGM

**MESA REDONDA: Nuevas hipótesis patogénicas
de la DM tipo 2 y de la obesidad
Salamanca, 29 Enero 2010**

ESQUEMA GENERAL

Evidencia epidemiológica y genética

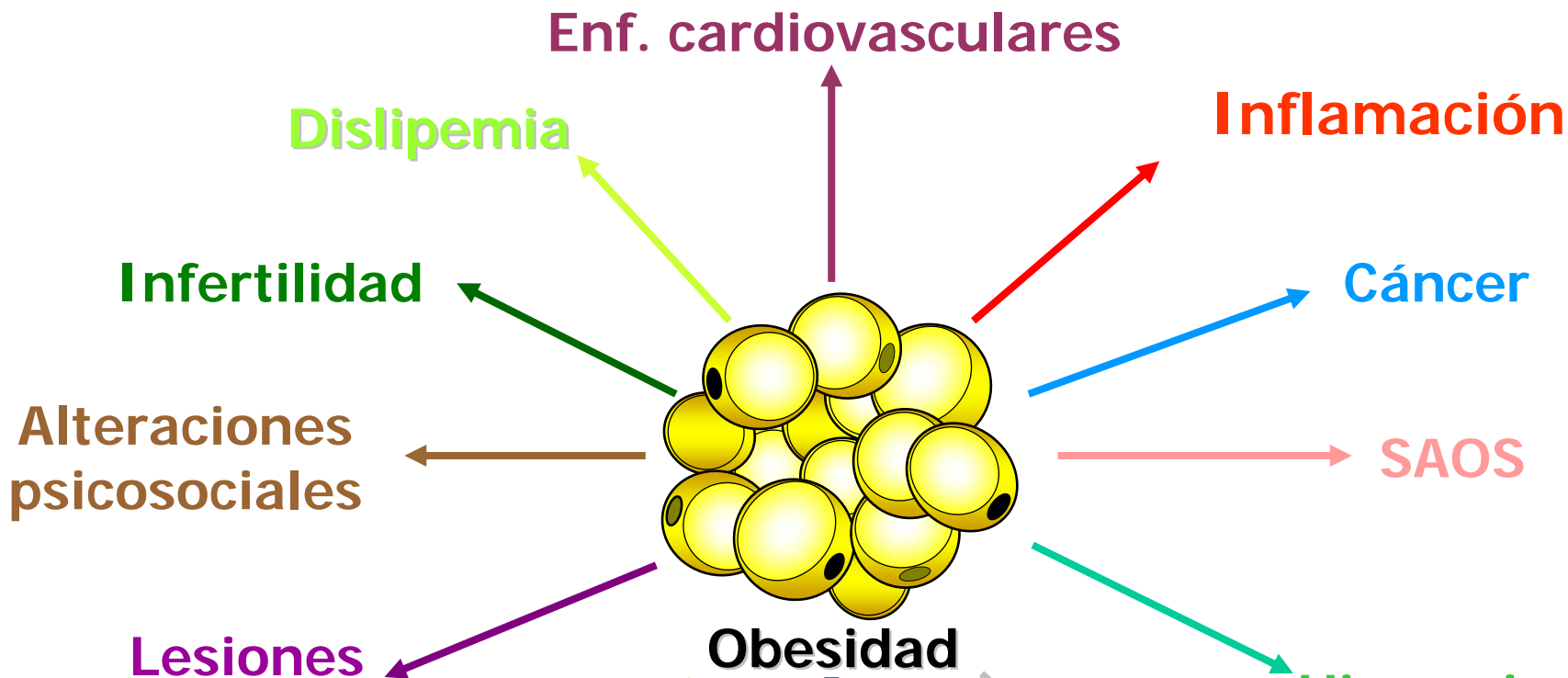
Características generales del tejido adiposo

Adipoquinas, insulino-resistencia e inflamación

Vías relacionadas con el metabolismo lipídico

Genes de respuesta a hipoxia

Nuevos hallazgos - implicaciones



Obesidad

Body Mass Index

Variable	Total (N = 195 005)	Normal (n = 84 469)	Overweight (n = 70 231)	Obese, Class 2 (n = 35 767)	Obese, Class 3 (n = 4538)
Diabetes					
Yes, % (SE)	7.9 (0.11)	4.1 (0.12)	7.3 (0.18)	14.9 (0.70)	25.6 (1.16)
Age adjusted		1.00	1.59 (1.47-1.72)	3.66 (3.38-3.96)	8.51 (7.41-9.78)
Fully adjusted		1.00	1.59 (1.46-1.73)	3.44 (3.17-3.74)	7.37 (6.39-8.50)

Insulino-resistencia
Diabetes tipo 2

Genetic variants associated with T2DM at or near genome-wide levels of statistical significance

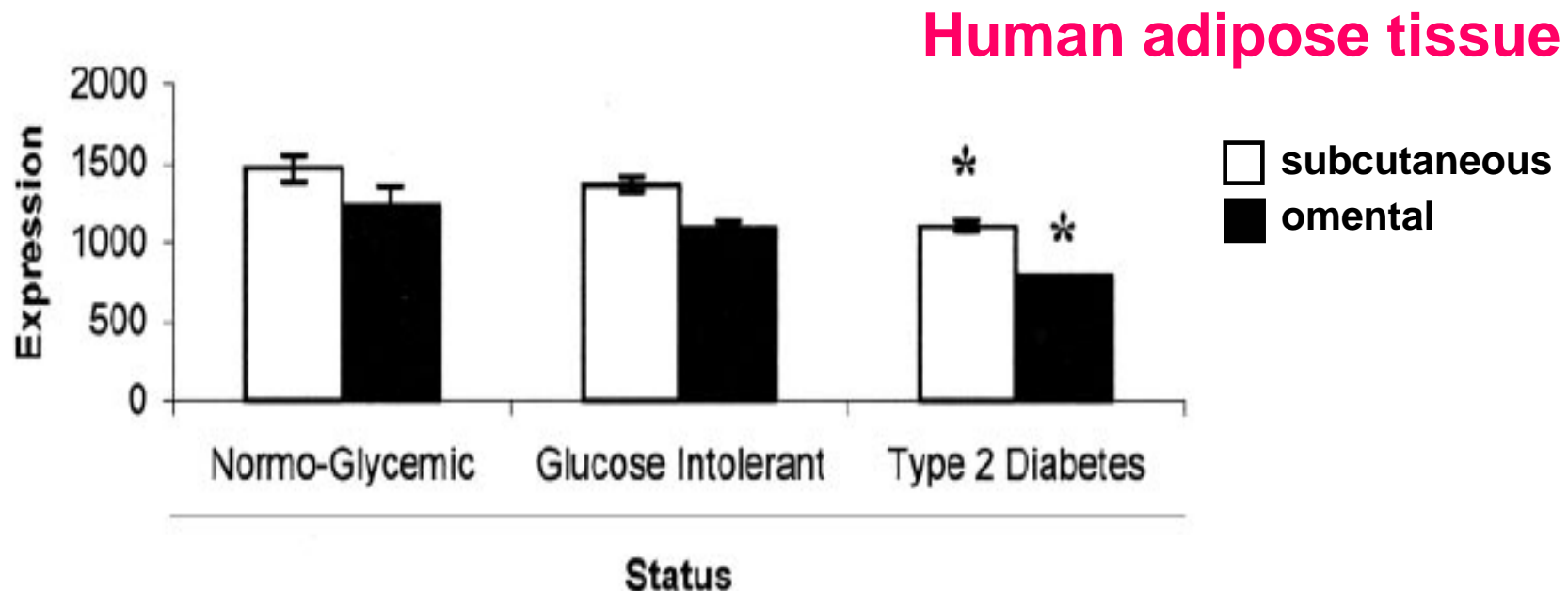
Marker	Chromosome	Locus	Type of mutation	Function of gene	Risk allele	Odds ratio
rs10923931 ³⁶	1	NOTCH2	Intronic	Transmembrane receptor involved in the formation of the pancreas	T	1.13
rs7578597 ³⁶	2	THADA	Missense: Thr1187Ala	Expressed in thyroid adenomas; binds to PPAR γ	T	1.15
rs4607103 ³⁶	3	ADAMTS9	38 kb upstream	Secreted metalloproteinase expressed in muscles and pancreas	C	1.09
rs4402960 ⁸³	3	IGF2BP2	Intronic	Growth factor binding protein involved in pancreatic development	T	1.14
rs1801282 ⁴⁴	3	PPARG	Missense: Pro12Ala	Transcription factor involved in adipocyte development	C	1.19
rs10010131 ⁸³	4	WFS1	Intron-exon junction	Transmembrane protein of the endoplasmic reticulum	G	1.15
rs7754840 ⁸³	6	CDKAL1	Intronic	Islet glucose toxicity sensor; inhibits CDK5 activation	C	1.12
rs864745 ³⁶	7	JAZF1	Intronic	Transcriptional repressor associated with prostate cancer	T	1.10
rs13266634 ⁸³	8	SLC30A8	Missense: Arg325Trp	Zinc transporter involved in insulin storage and secretion	C	1.12
rs10811661 ⁸³	9	CDKN2A/B	125 kb upstream	Cyclin-dependent kinase inhibitor and tumor suppressor involved in islet development	T	1.20
rs12779790 ³⁶	10	CDC123-CAMK1D	Intergenic region	Cell-cycle regulator and protein kinase	G	1.11
rs7903146 ¹³	10	TCF7L2	Intronic	Transcription factor that regulates genes that encode proglucagon and insulin	T	1.37
rs1111875 ⁸³	10	HHEX	7.7 kb downstream	Transcription factor involved in pancreatic development	C	1.13
rs5219 ⁹	11	KCNJ11	Missense: Glu23Lys	Potassium channel that regulates insulin secretion	T	1.14
rs2237892 ³⁸	11	KCNQ1	Intronic	Pore-forming α subunit of potassium channel	C	1.42
rs1387153 ⁴⁴	11	MTNR1B	28.3 kb upstream	High-affinity, G-protein-coupled receptor for melatonin	T	1.15
rs7961581 ³⁶	12	TSPAN8-LGR5	Intronic	Cell-surface glycoprotein implicated in gastrointestinal tumors	C	1.09
rs8050136 ⁸³	16	FTO	Intronic	Function unknown; affects BMI in general population	A	1.17
rs757210 ⁸³	17	HNF1B	Intronic	Transcription factor involved in pancreatic development	A	1.12

^aP < 5 × 10⁻⁸. Abbreviation: T2DM, type 2 diabetes mellitus.

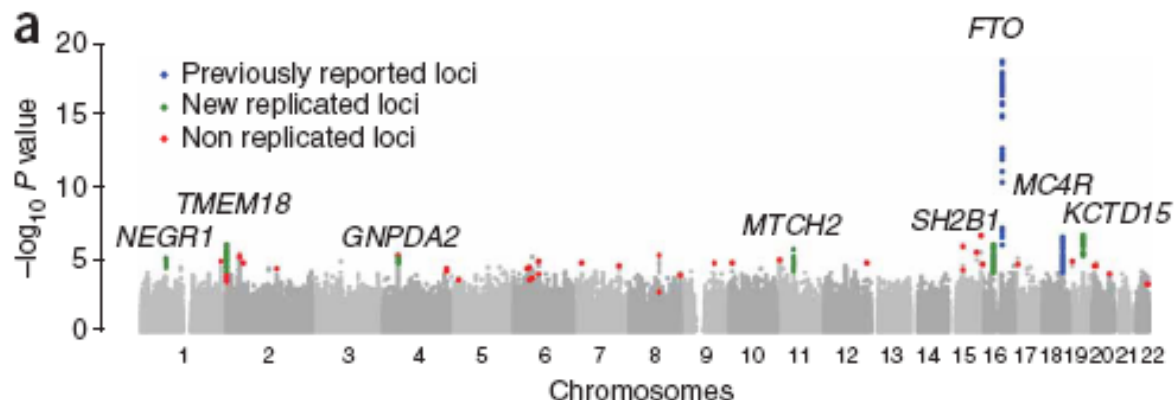
Transcription Factor *TCF7L2* Genetic Study in the French Population

Expression in Human β -Cells and Adipose Tissue and Strong Association With Type 2 Diabetes

Stéphane Cauchi,¹ David Meyre,¹ Christian Dina,¹ H el ene Choquet,¹ Chantal Samson,¹ Sophie Gallina,¹ Beverley Balkau,² Guillaume Charpentier,³ Fran ois Pattou,⁴ Volodymyr Stetsyuk,⁵ Rapha el Scharfmann,⁵ Bart Staels,^{6,7,8} Gema Fr uhbeck,⁹ and Philippe Froguel^{1,10}



Six new loci associated with body mass index highlight a neuronal influence on body weight regulation



nature
genetics

Jan 2009

The *FTO* obesity gene

Genotyping and gene expression analysis in morbidly obese patients

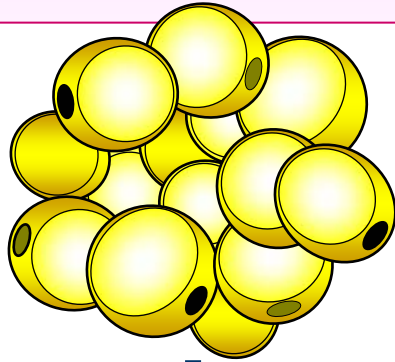
- Mayor expresión RNAm de *FTO* en tejido adiposo subcutáneo pacientes obesos mórbidos frente a controles
- Correlaciones de expresión de *FTO* subcutánea:
 - * NEGATIVA con triglicéridos séricos
 - * POSITIVA con expresión de:
 - leptina
 - perilipina
 - visfatina
- Expresión de *FTO* y perilipina con depósito de grasa visceral

New genetic loci implicated in fasting glucose homeostasis and their impact on type 2 diabetes risk

Levels of circulating glucose are tightly regulated. To identify new loci influencing glycemic traits, we performed meta-analyses of 21 genome-wide association studies informative for fasting glucose, fasting insulin and indices of beta-cell function (HOMA-B) and insulin resistance (HOMA-IR) in up to 46,186 nondiabetic participants. Follow-up of 25 loci in up to 76,558 additional subjects identified 16 loci associated with fasting glucose and HOMA-B and two loci associated with fasting insulin and HOMA-IR. These include nine loci newly associated with fasting glucose (in or near *ADCY5*, *MADD*, *ADRA2A*, *CRY2*, *FADS1*, *GLIS3*, *SLC2A2*, *PROX1* and *C2CD4B*) and one influencing fasting insulin and HOMA-IR (near *IGF1*). We also demonstrated association of *ADCY5*, *PROX1*, *GCK*, *GCKR* and *DGKB-TMEM195* with type 2 diabetes. Within these loci, likely biological candidate genes influence signal transduction, cell proliferation, development, glucose-sensing and circadian regulation. Our results demonstrate that genetic studies of glycemic traits can identify type 2 diabetes risk loci, as well as loci containing gene variants that are associated with a modest elevation in glucose levels but are not associated with overt diabetes.

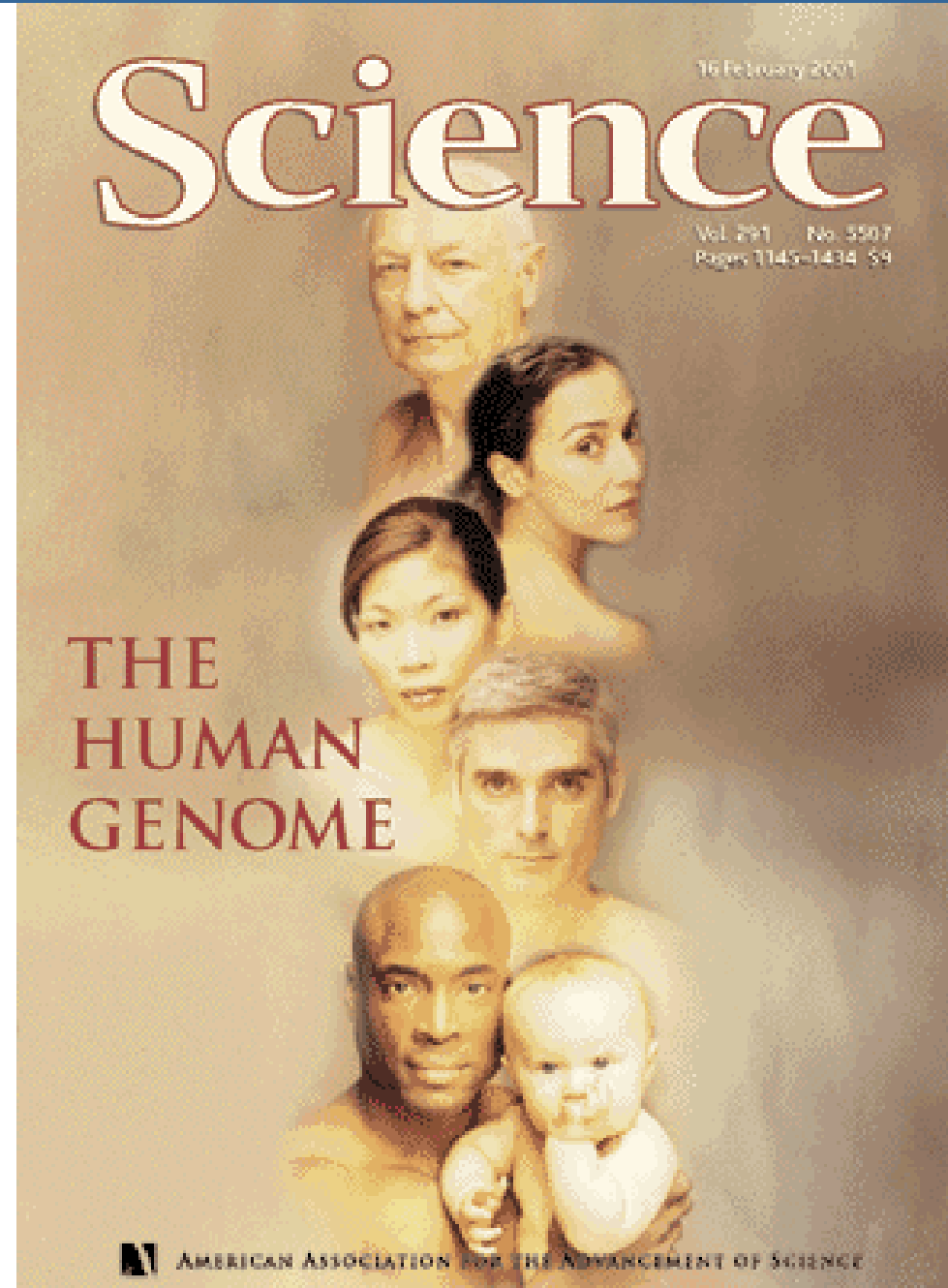
Expresión génica en tejido adiposo

PERFIL DE EXPRESIÓN GÉNICA



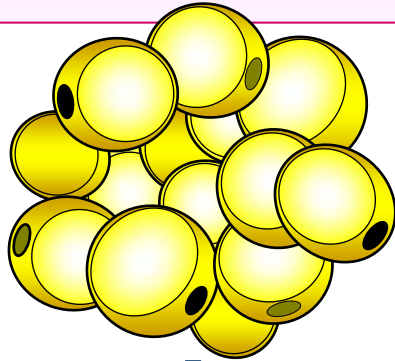
Mecanismos de regulación
Rutas bioquímicas

Insulino-resistencia
Diabetes tipo 2



Expresión génica en tejido adiposo

PERFIL DE EXPRESIÓN GÉNICA



Mecanismos de regulación
Rutas bioquímicas

Insulino-resistencia
Diabetes tipo 2

Análisis a gran escala

- Depósitos grasos
- Tipos celulares
- Grado de diferenciación
 - Animales *wt* vs *KO*
- Efectos de tratamientos, cirugía, ejercicio físico

Señalización de la insulina

Vías ore- y anorexigénicas

Lipólisis

Adipogénesis

Transporte y almacén ácidos grasos

Inflamación

Metabolismo de la glucosa

Proliferación y diferenciación

Angiogénesis

ESQUEMA GENERAL

Evidencia epidemiológica y genética

Características generales del tejido adiposo

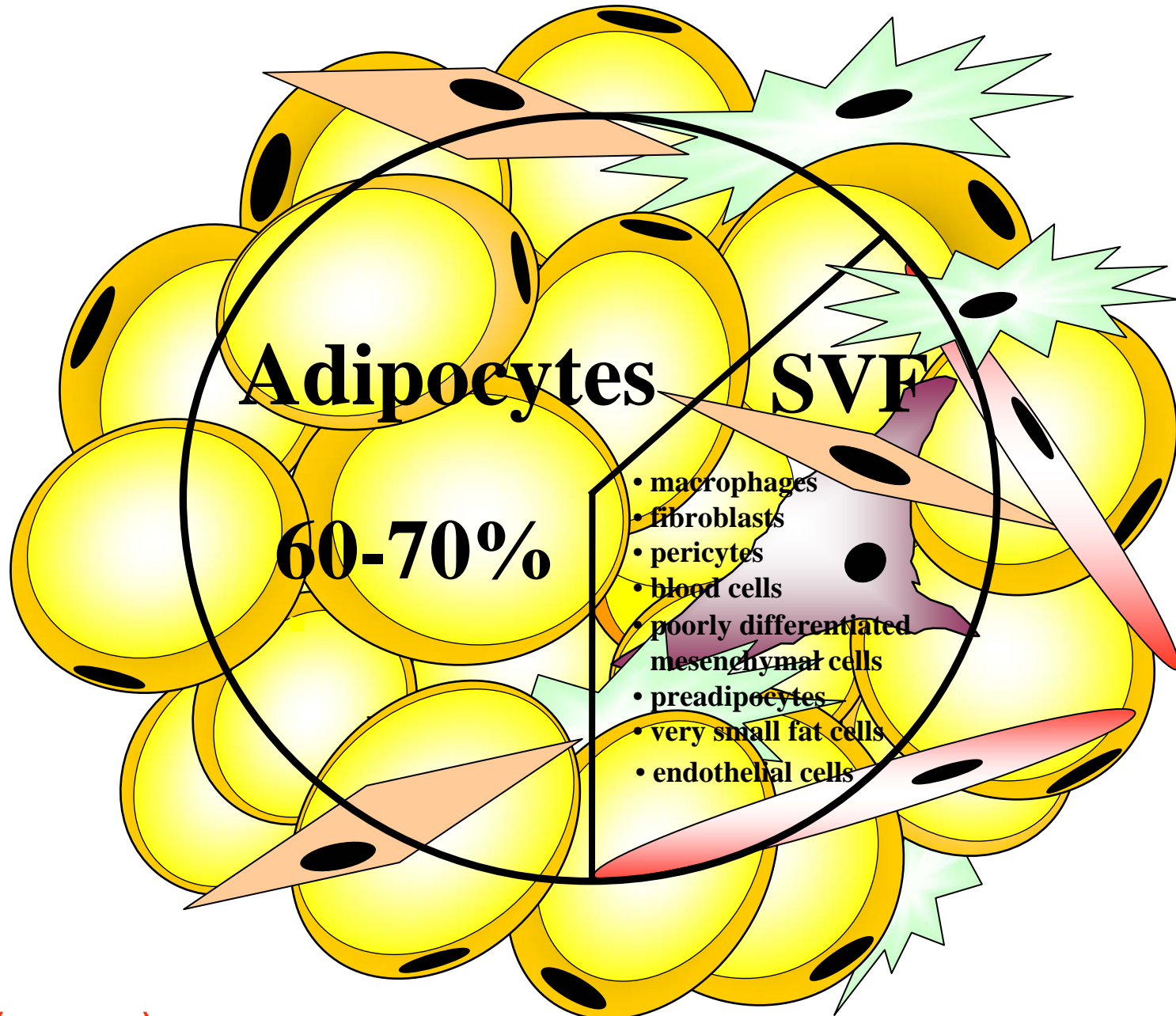
Adipoquinas, insulino-resistencia e inflamación

Vías relacionadas con el metabolismo lipídico

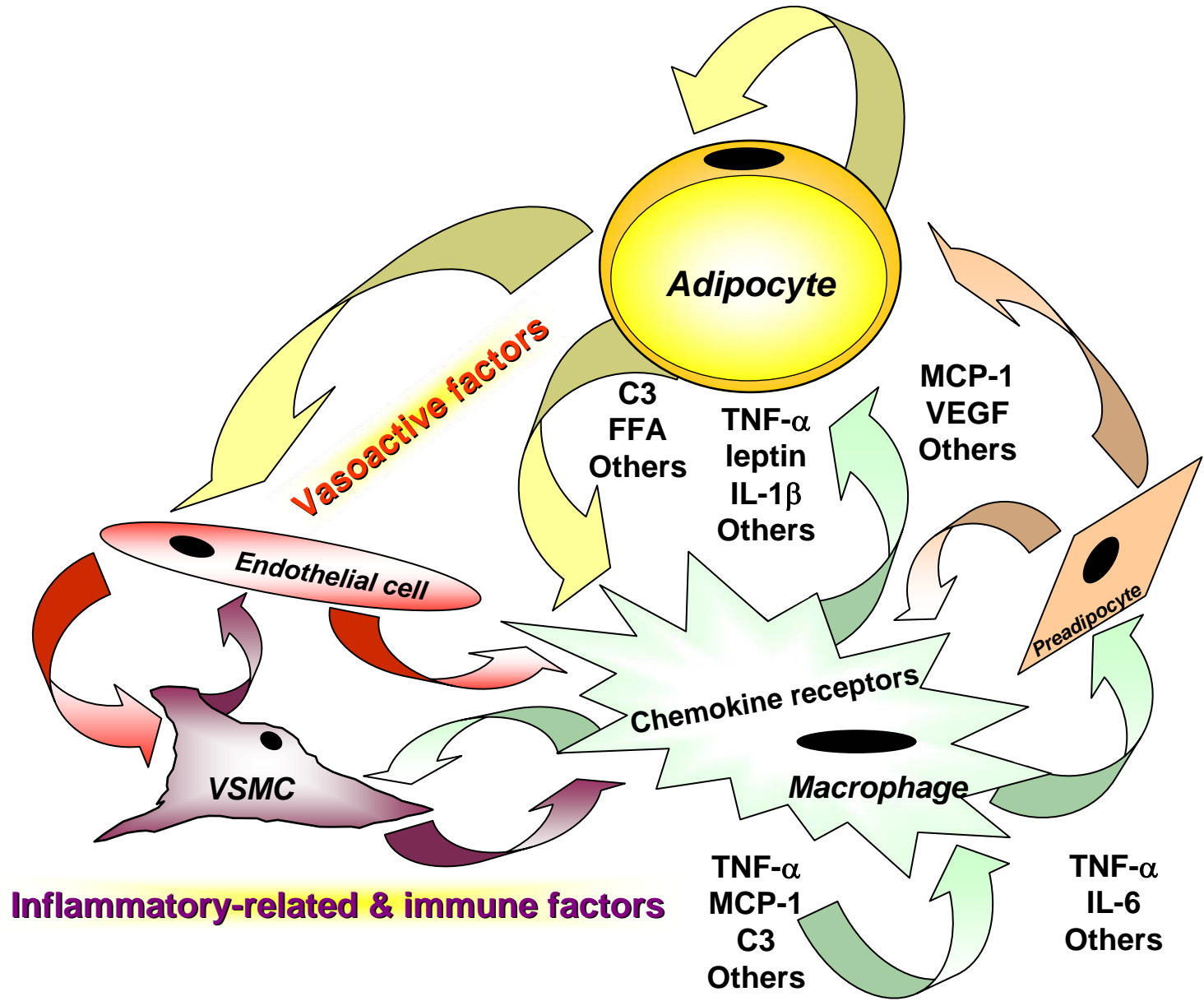
Genes de respuesta a hipoxia

Nuevos hallazgos - implicaciones

MULTICELULARIDAD DEL TEJIDO ADIPOSO



“CROSS-TALK” AUTOCRINO / PARACRINO

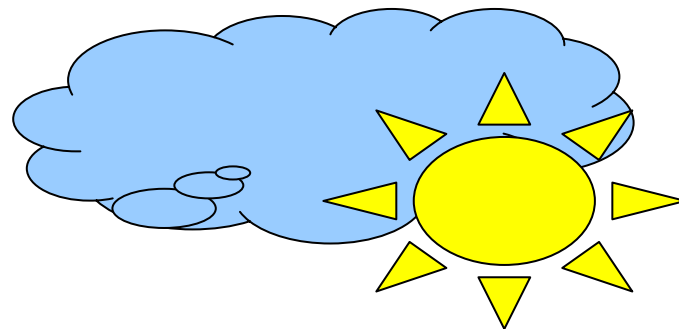


**Riesgo CV
aumentado**

Dislipemia

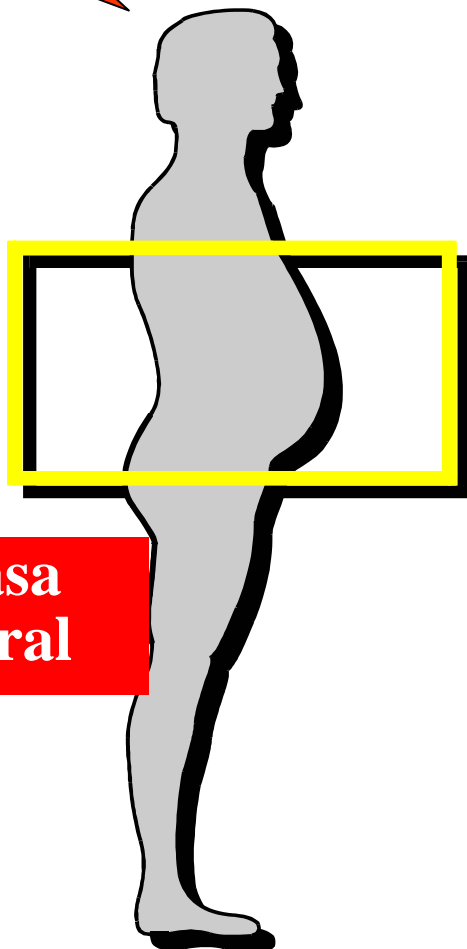
HTA

DM



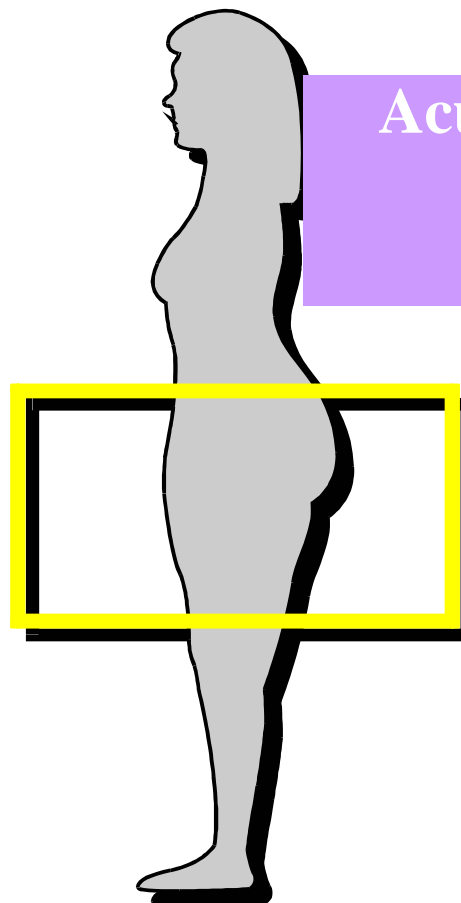
**Obesidad
androide**

**Acúmulo de grasa
abdomino-visceral**



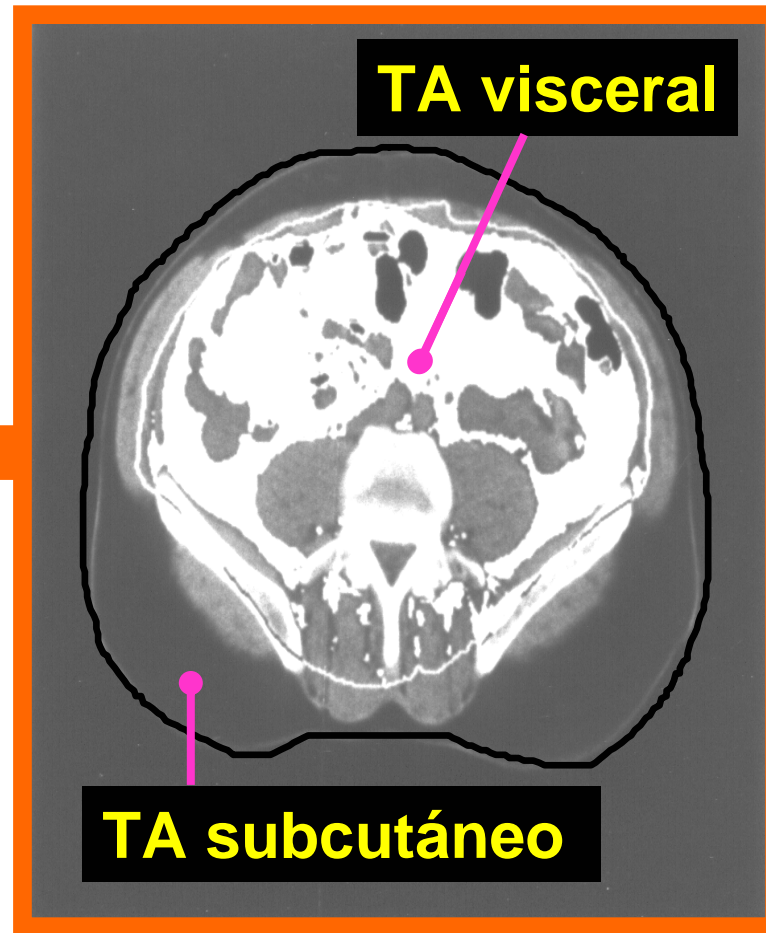
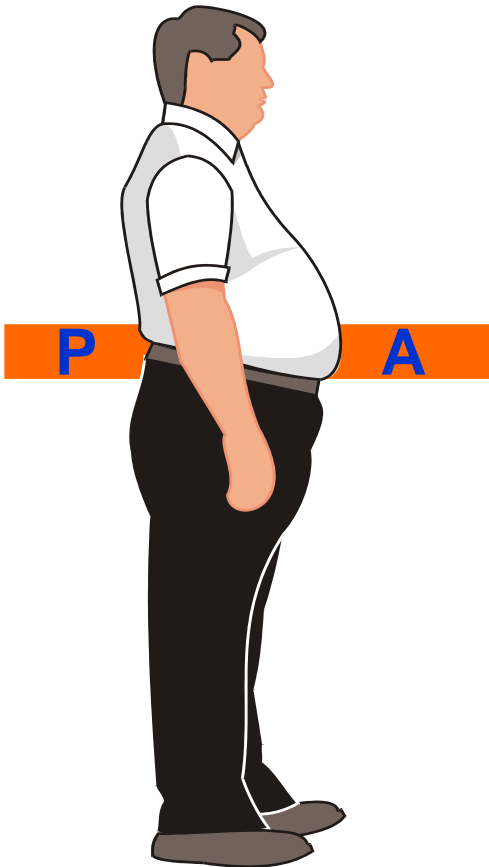
**Acúmulo de grasa
glúteo-femoral
subcutáneo**

**Obesidad
ginoide**



Tejido adiposo visceral

Anterior



Características diferenciales

- tamaño y n^o de adipocitos
- nerv. + vasc.
- drenaje portal
- activ. metab.
- perfil secretor

Posterior

Fig. 6

Osteokines

osteocalcin, osteonectin, osteopontin, osteoprotegerin

Eicosanoids

prostaglandins PGE2, PGF2a, prostacyclin

Steroid hormones

estrone, estradiol, testosterone

Growth factors

IGF-1, VEGF, nerve growth factor, HGF, PDGF, BMPs

Metabolites

FFA, glycerol, LPL, apolipoprotein E

Adipokines

TNF- α , IL-6, IL-1 β , IL-8, IL-10, IL18, leptin, adiponectin

Others

resistin, visfatin, omentin, apelin, fasting induced adipose factor, metallothionen

Membrane proteins

aquaporin-7, caveolin-1

Binding proteins

IGF-BPs, sTNFRs, retinol binding protein

Vasoactive factors

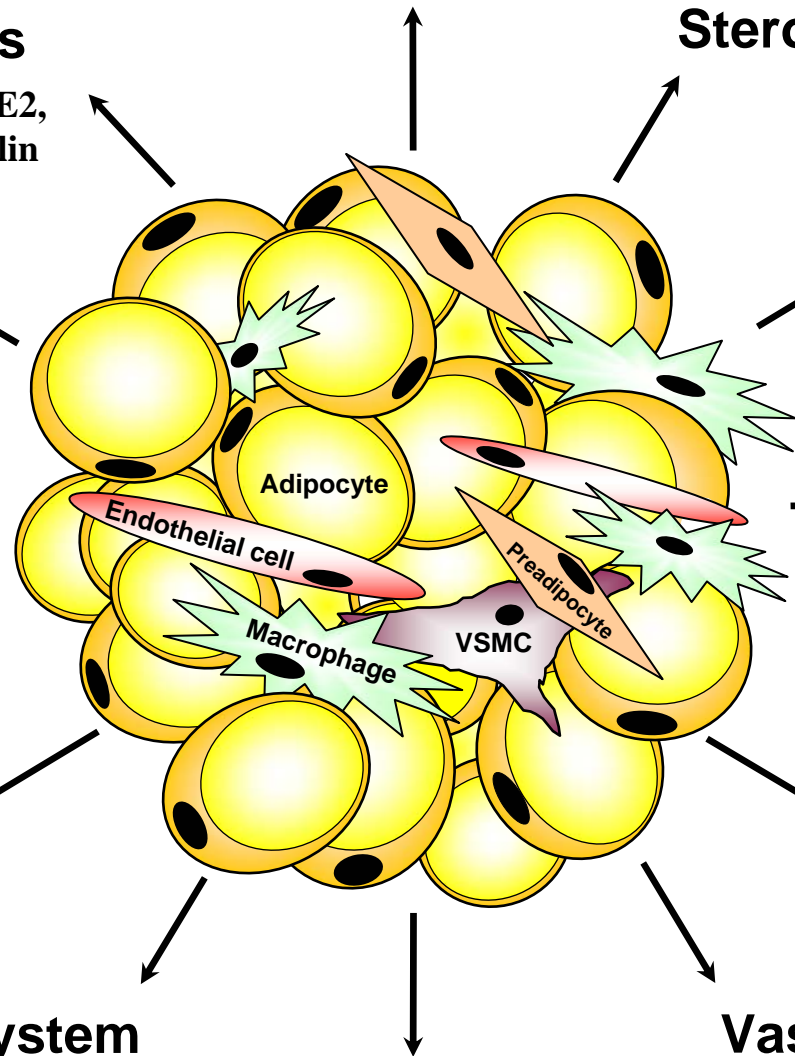
angiotensinogen, angiotensin II, nitric oxide, PAI-1, ANP, monobutyryn

Complement system

factor B, factor C, C3, C1q, factor D - adipsin - ASP

Extracellular matrix proteins

monocyte chemotactic protein-1



ESQUEMA GENERAL

Evidencia epidemiológica y genética

Características generales del tejido adiposo

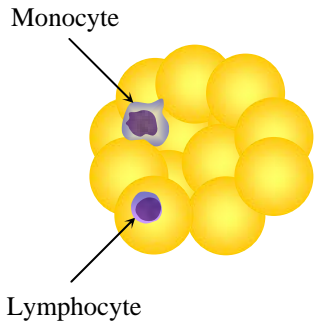
Adipoquinas, insulino-resistencia e inflamación

Vías relacionadas con el metabolismo lipídico

Genes de respuesta a hipoxia

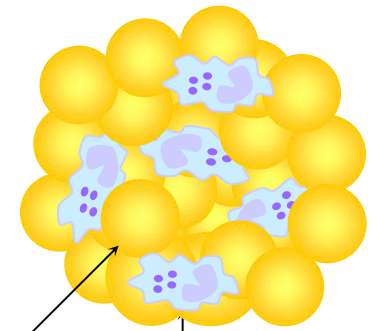
Nuevos hallazgos - implicaciones

Adipose tissue mass enlargement
Monocyte recruitment/activation
Altered adipokine secretion profile



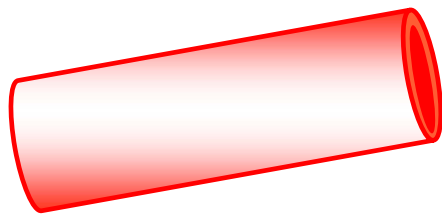
↑ TNF- α , IL-6, CRP, SAA, leptin, ASP, adipsin
(?) Resistin, Visfatin, RBP4
↓ Adiponectin, omentin

+ **Increased FFA release**

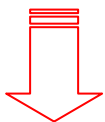


Adipocyte hyperplasia

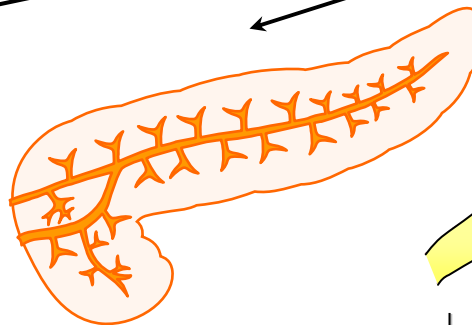
Macrophage infiltration



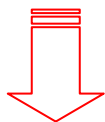
Endothelial dysfunction
↑ Sympathetic activity



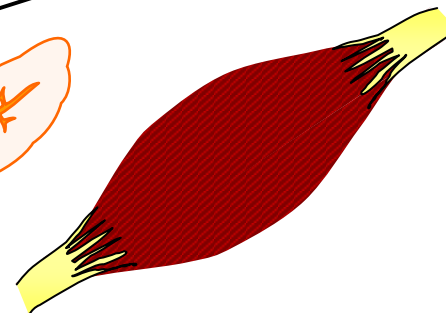
Hypertension



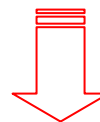
↑ Insulin secretion



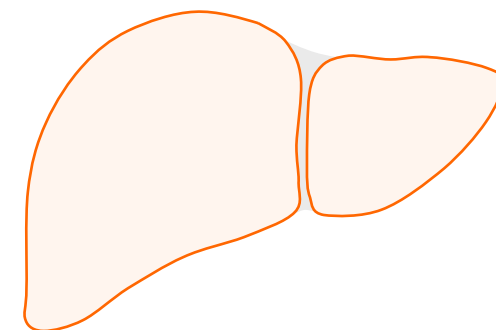
Hyperinsulinemia



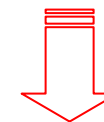
↓ Glucose uptake
↑ Intra-muscular TG



Insulin resistance



↑ VLDL synthesis
↑ Glucose production



Dyslipidemia

Glucose intolerance

Adiponectina

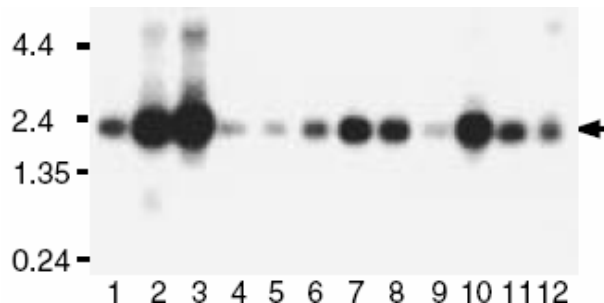
- ACRP30, AdipoQ, GBP28 o apM1
- 244 aa
- Expresada en adipocitos
- 0,01% proteínas plasmáticas
- Protectora frente T2DM y ECV



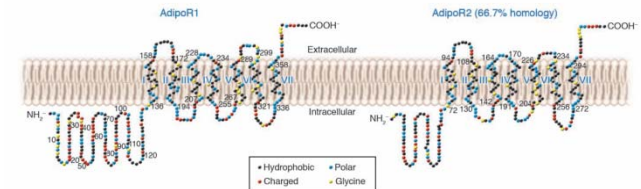
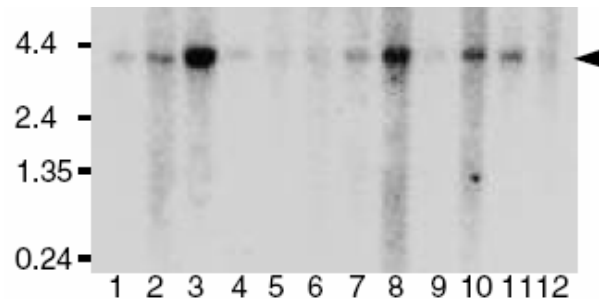
• Receptores AdipoR1 y AdipoR2

Yamauchi et al. *Nature* 2003

AdipoR1

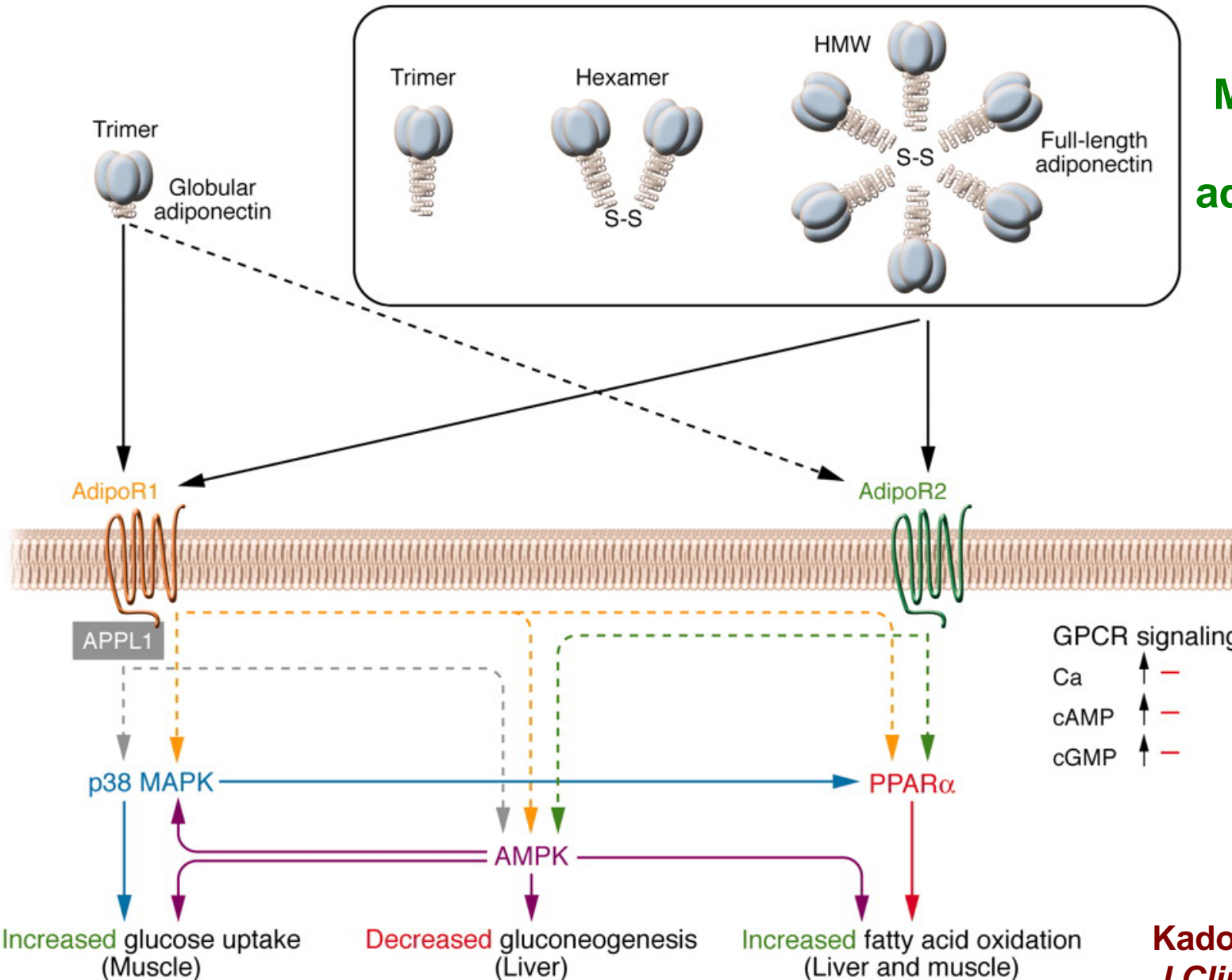


AdipoR2



- | | |
|------------|----------------------|
| 1. Cerebro | 7. Riñón |
| 2. Corazón | 8. Hígado |
| 3. Músculo | 9. Intestino delgado |
| 4. Colon | 10. Placenta |
| 5. Timo | 11. Pulmón |
| 6. Bazo | 12. PBL |

Multímeros de adiponectina



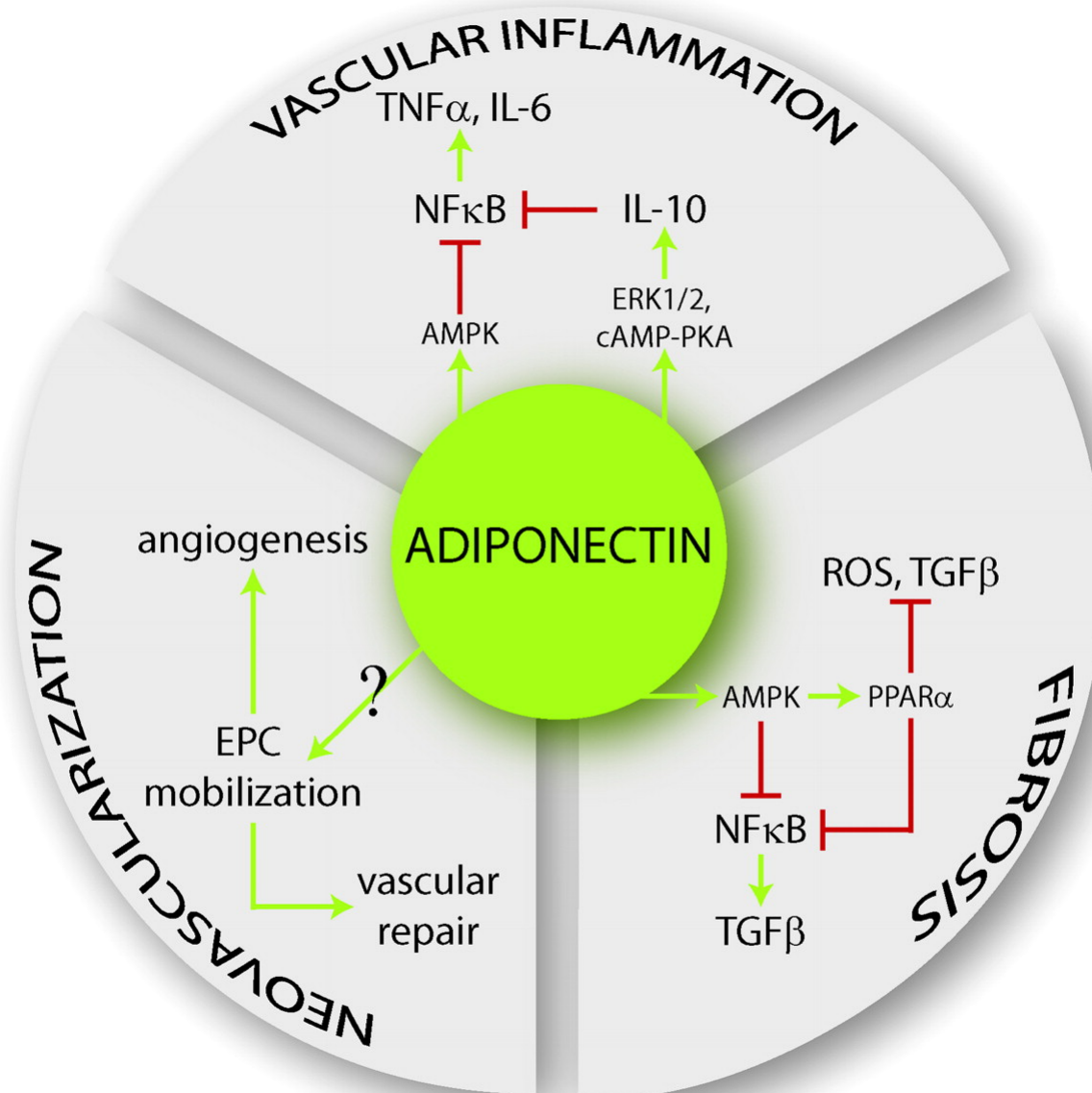
Increased glucose uptake (Muscle)

Decreased gluconeogenesis (Liver)

Increased fatty acid oxidation (Liver and muscle)

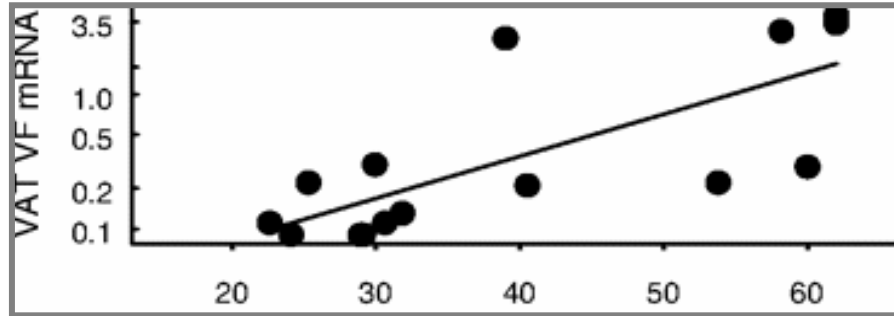
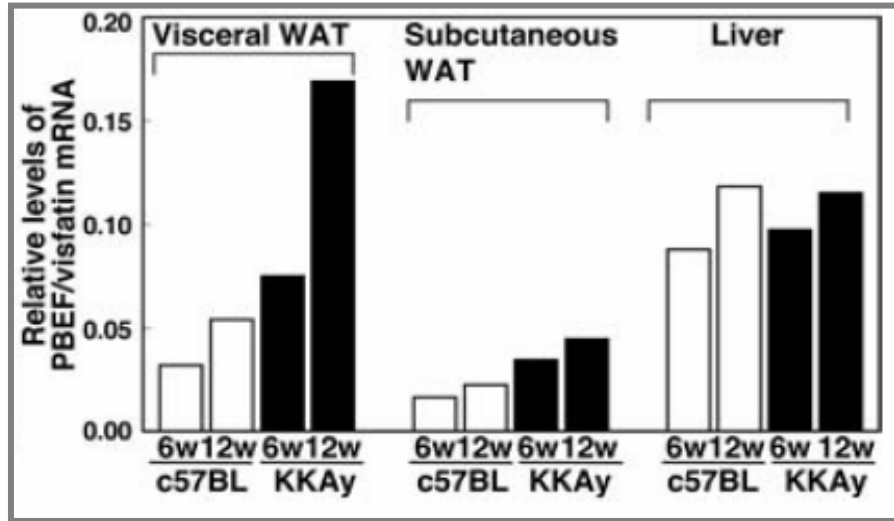
Kadowaki et al.
***J Clin Invest* 2006**

Adiponectina e inflamación



Expresión génica de nuevas adipocinas inflamatorias

Visfatina



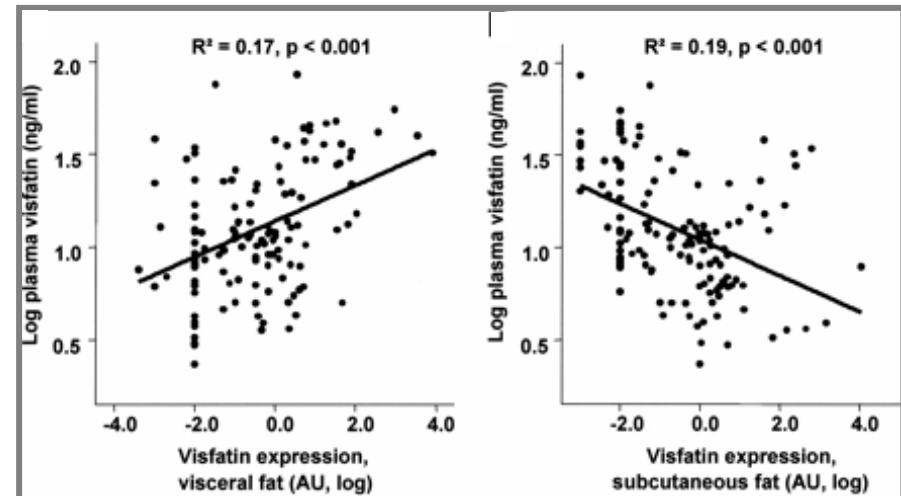
**Expresión en visceral >
Expresión en subcutáneo**

↑ Expresión de visfatina

**Ratones obesos y
resistentes a insulina**

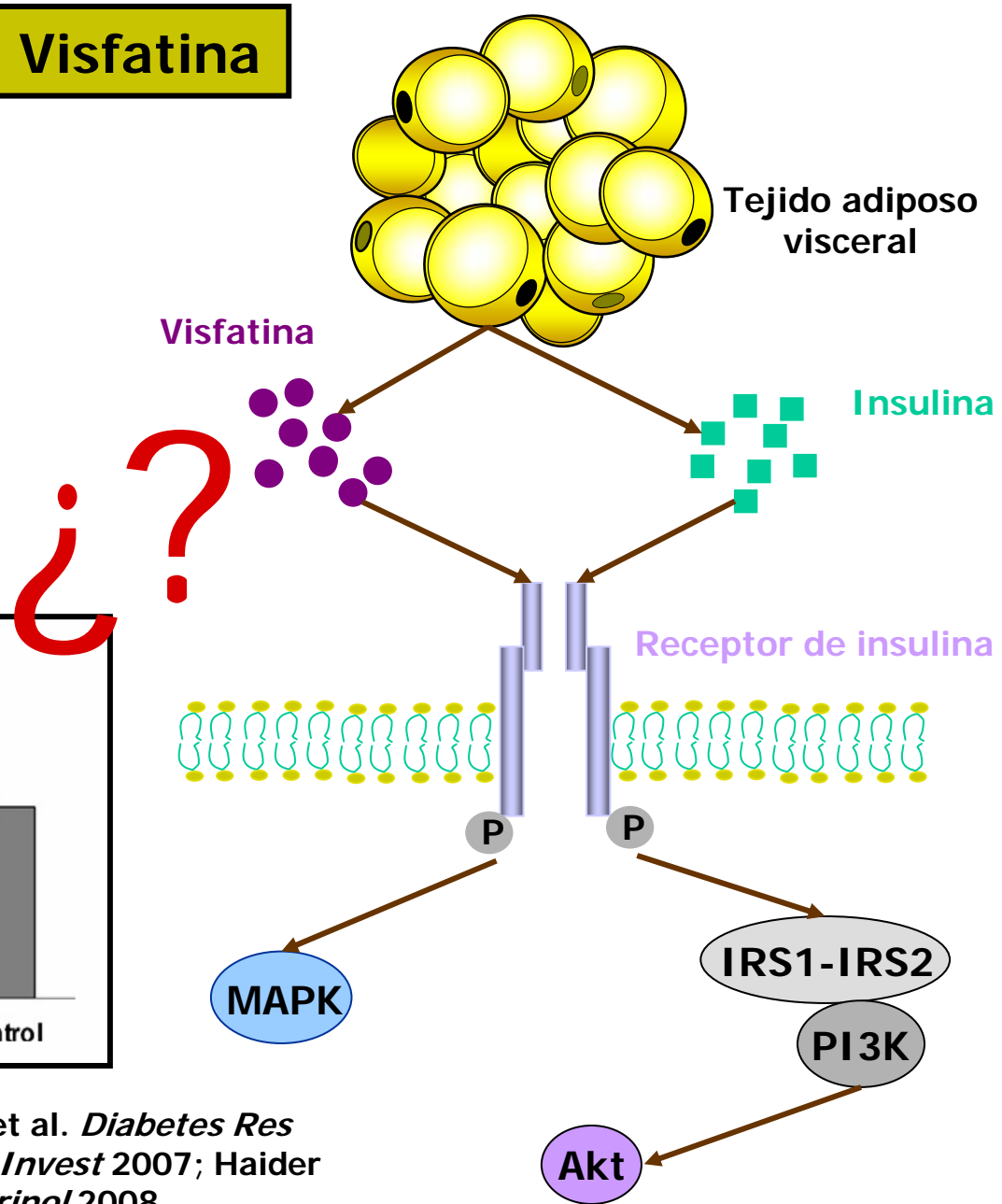
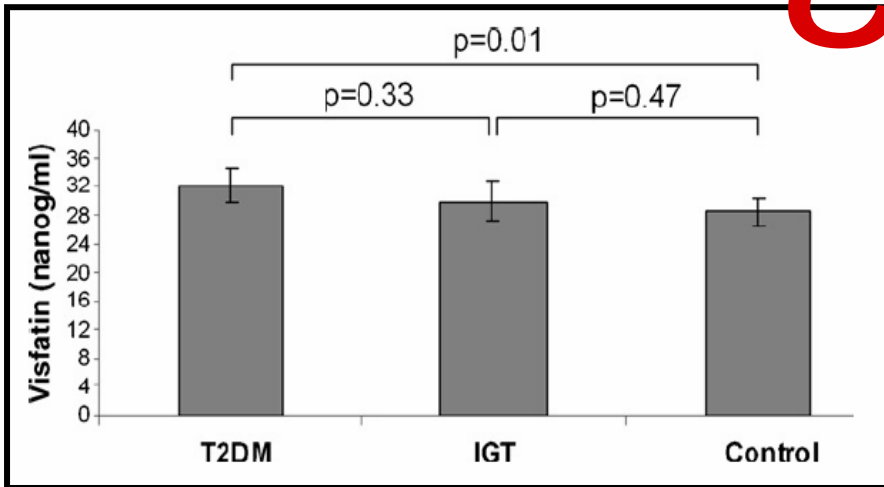
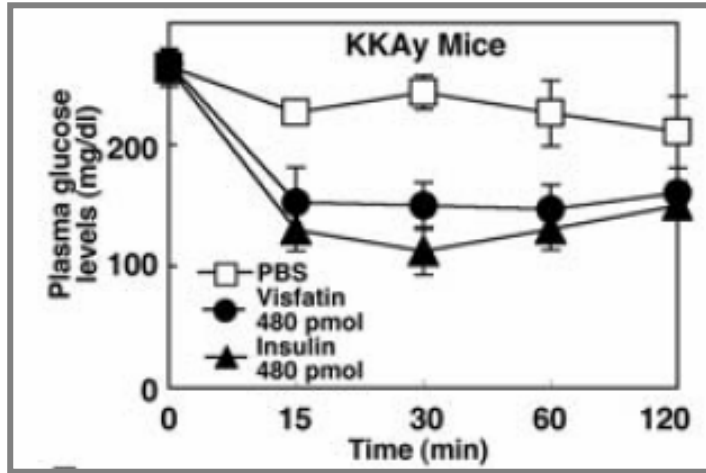
**Pacientes obesos con
diabetes tipo 2**

Correlación con IMC



Expresión génica de nuevas adipoquinas inflamatorias

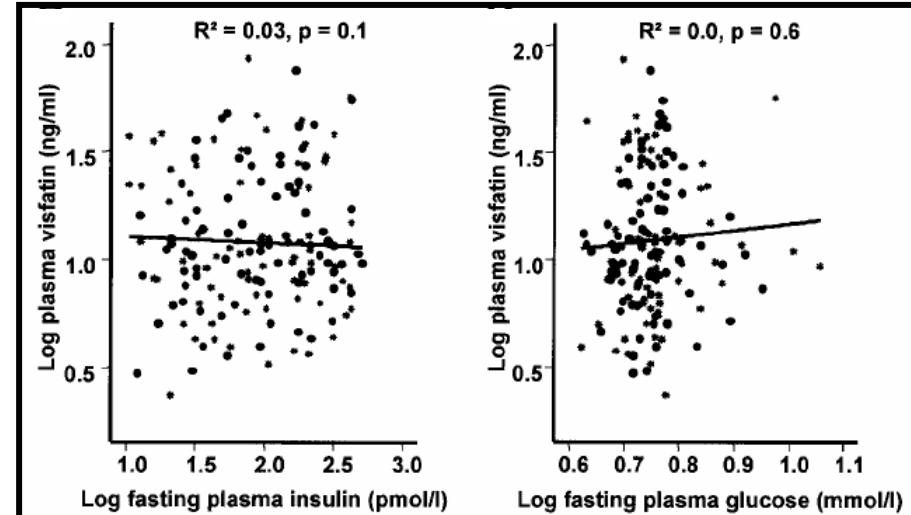
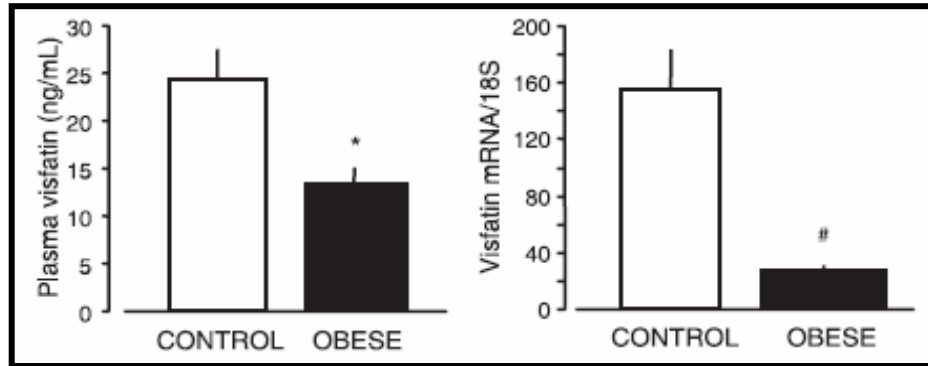
Visfatina



Murphy et al. *Nature Medicine* 2006; Dogru et al. *Diabetes Res Clin Prac* 2007; Filippatos et al. *J Endocrinol Invest* 2007; Haider et al. *JPGN* 2006; Filippatos et al. *Clin Endocrinol* 2008

Expresión génica de nuevas adipocinas inflamatorias

Visfatina



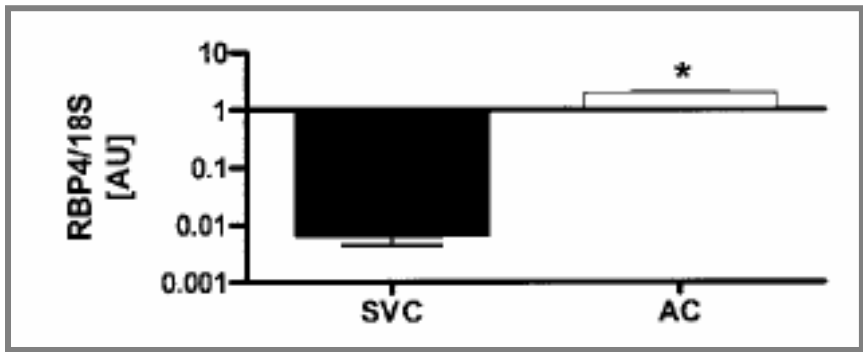
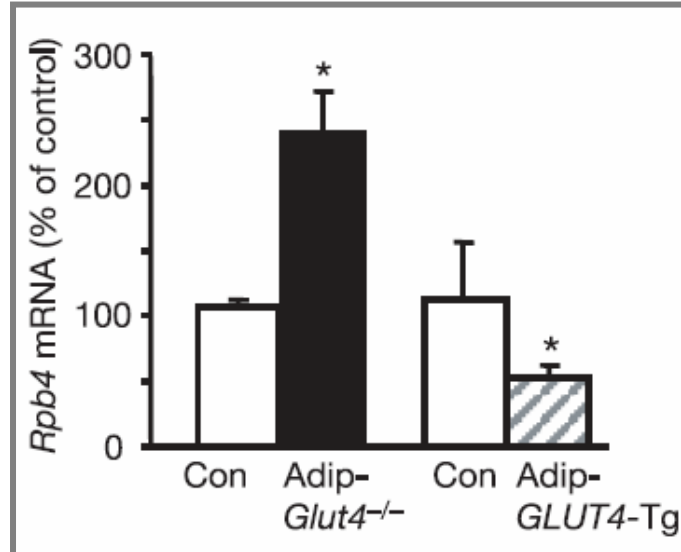
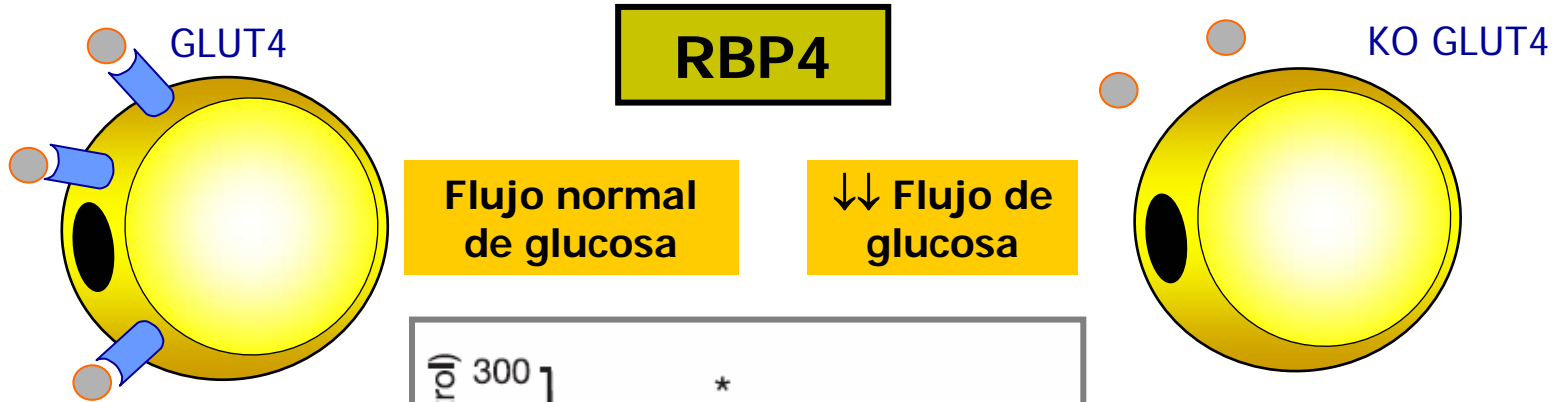
Independent variable	B	SE	P value
HOMA			
BMI (kg/m^2)	-0.0109	0.0353	ns
Visfatin (ng/ml)	-0.0003	0.0114	ns
Waist circumference (cm)	0.0583	0.0171	0.001

Visfatin: A Protein Secreted by Visceral Fat That Mimics the Effects of Insulin

Atsunori Fukuhara,^{1,2*} Morihiro Matsuda,^{1*}
 Masako Nishizawa,^{3*} Katsumori Segawa,¹ Masaki Tanaka,¹
 Kae Kishimoto,³ Yasushi Matsuki,³ Mirei Murakami,⁴
 Toshiaki Ueda,⁴ Hiroshi Matsuda,³ Eiji Watanabe,³

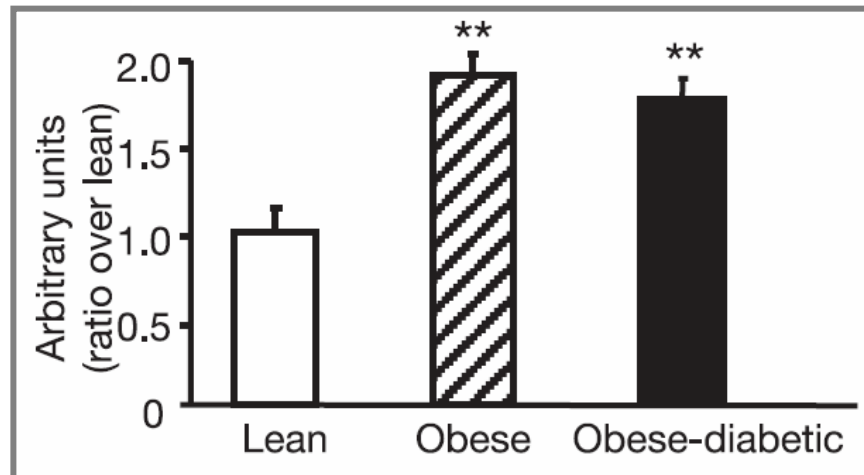
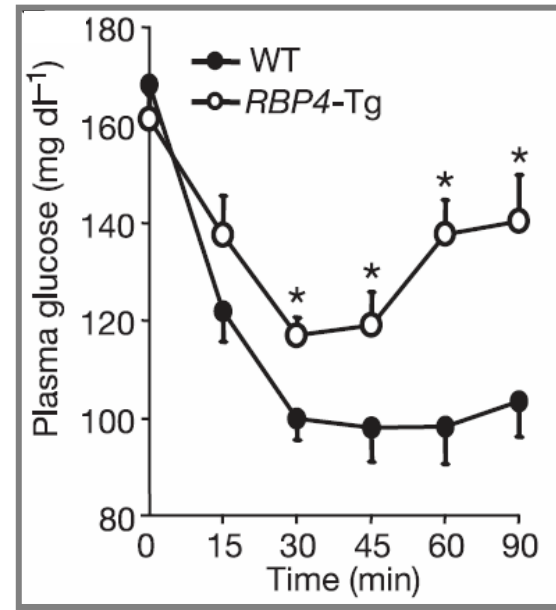
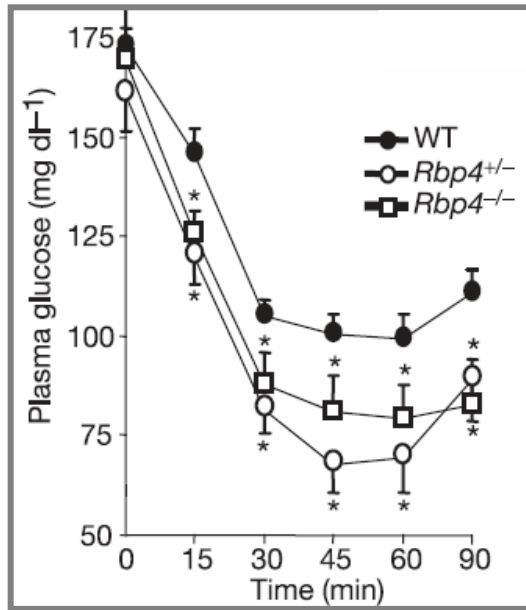
RETRACTION. Fukuhara
Science 2007

Expresión génica de nuevas adipoquinas inflamatorias



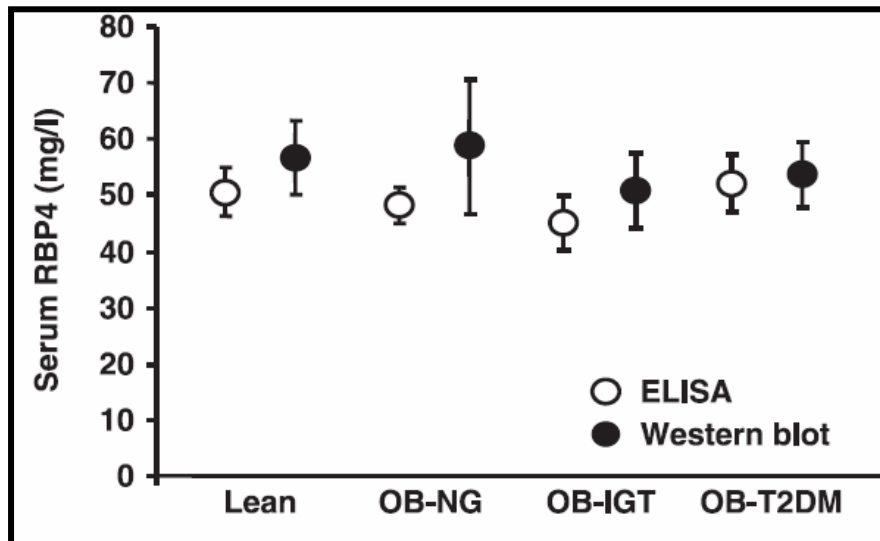
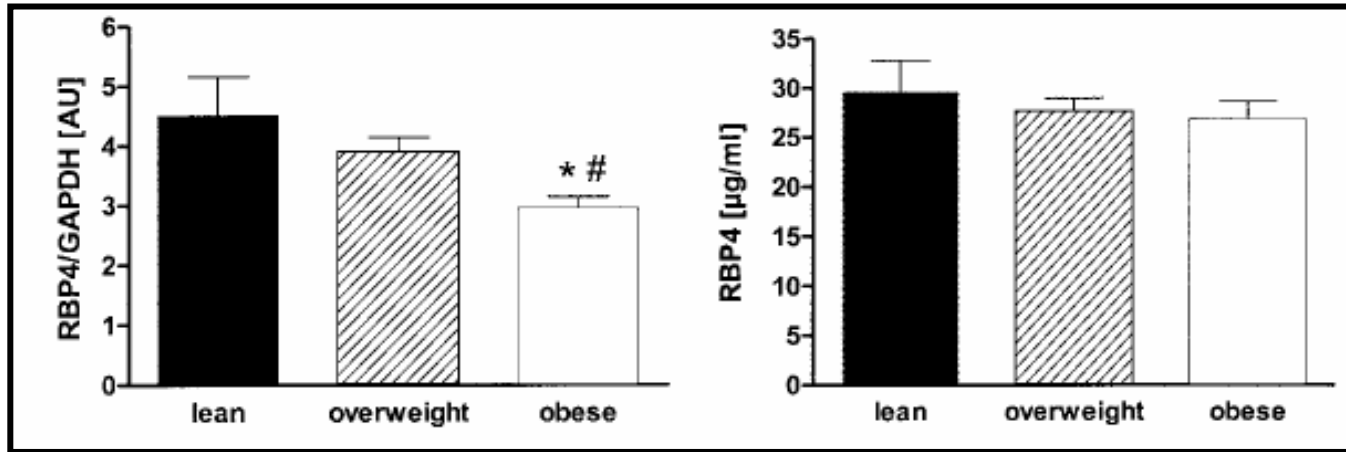
Expresión génica de nuevas adipocinas inflamatorias

RBP4



Expresión génica de nuevas adipoquinas inflamatorias

RBP4

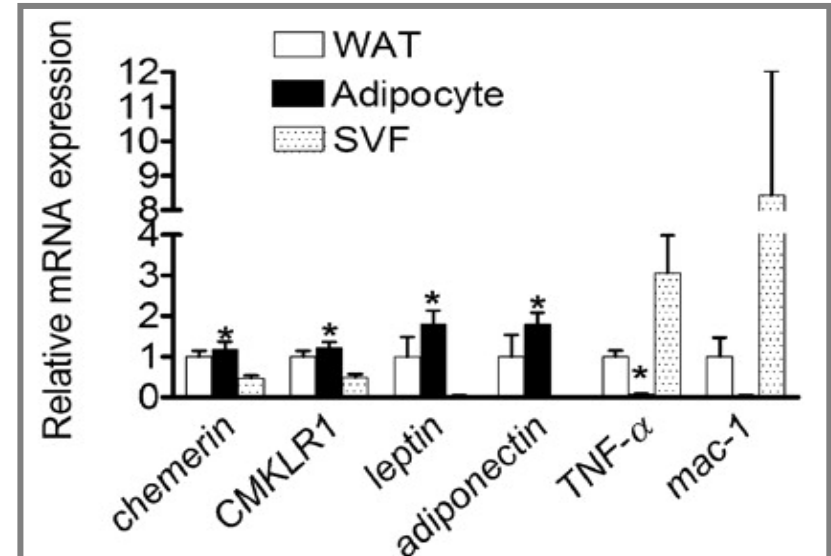
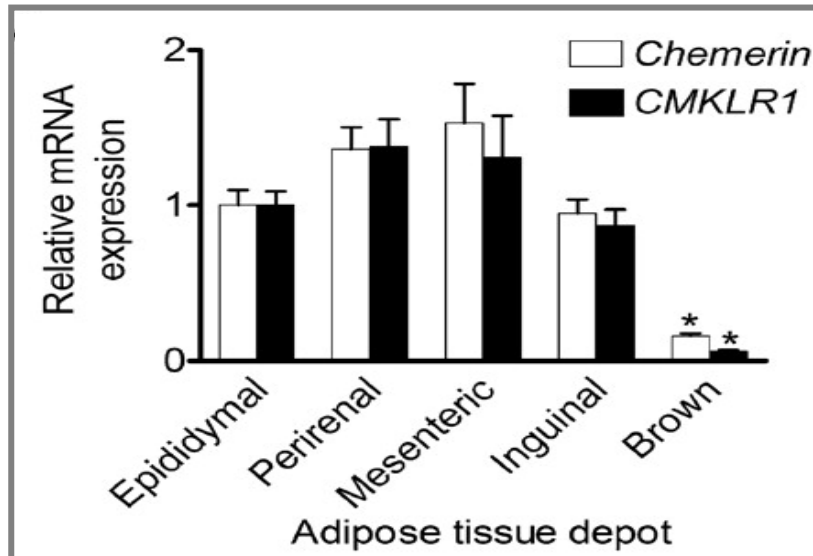
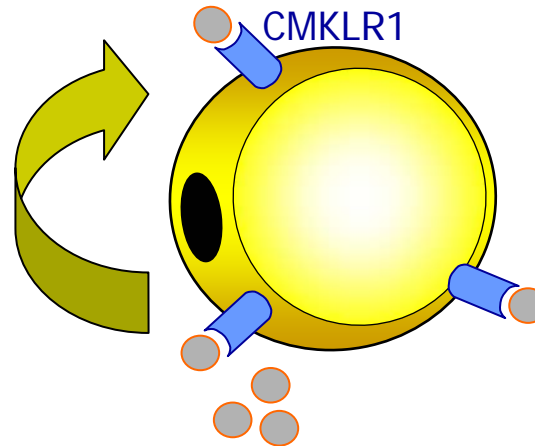


- Edad de los pacientes
- Medicación de los pacientes
- Duración y progresión de la enfermedad
- Microalbuminuria asociada a la DMT2

INFLAMACIÓN: CORRELACIÓN CON CD68, MCP-1, PCR, ADPN (-)

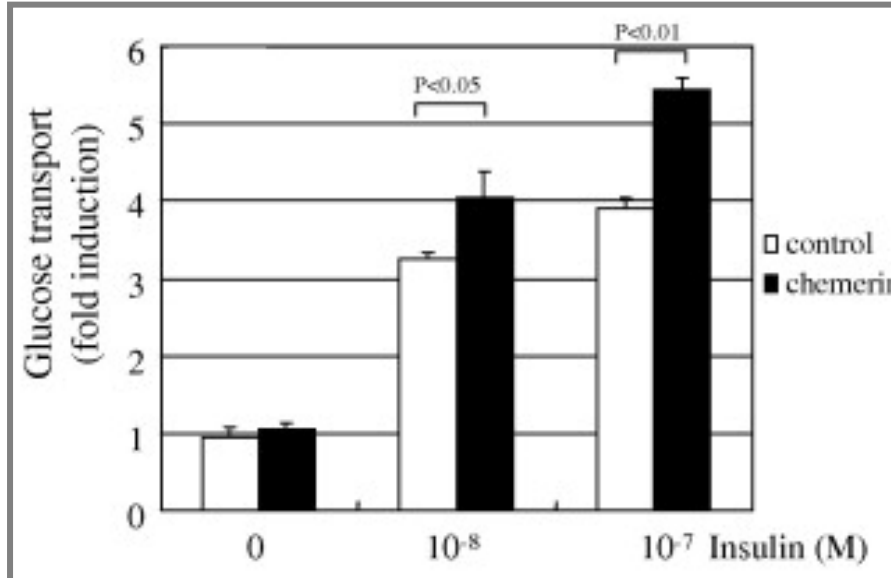
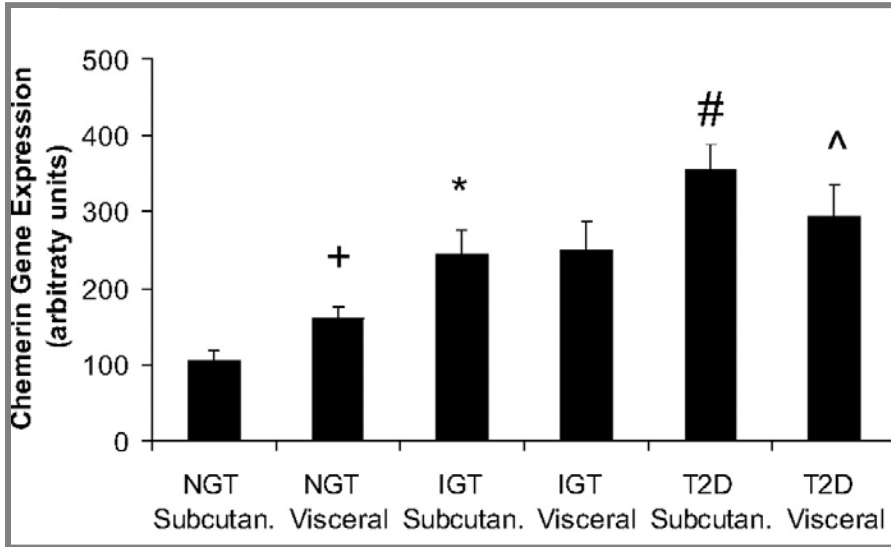
Expresión génica de nuevas adipocinas inflamatorias

Chemerina



Expresión génica de nuevas adipoquinas inflamatorias

Chemerina



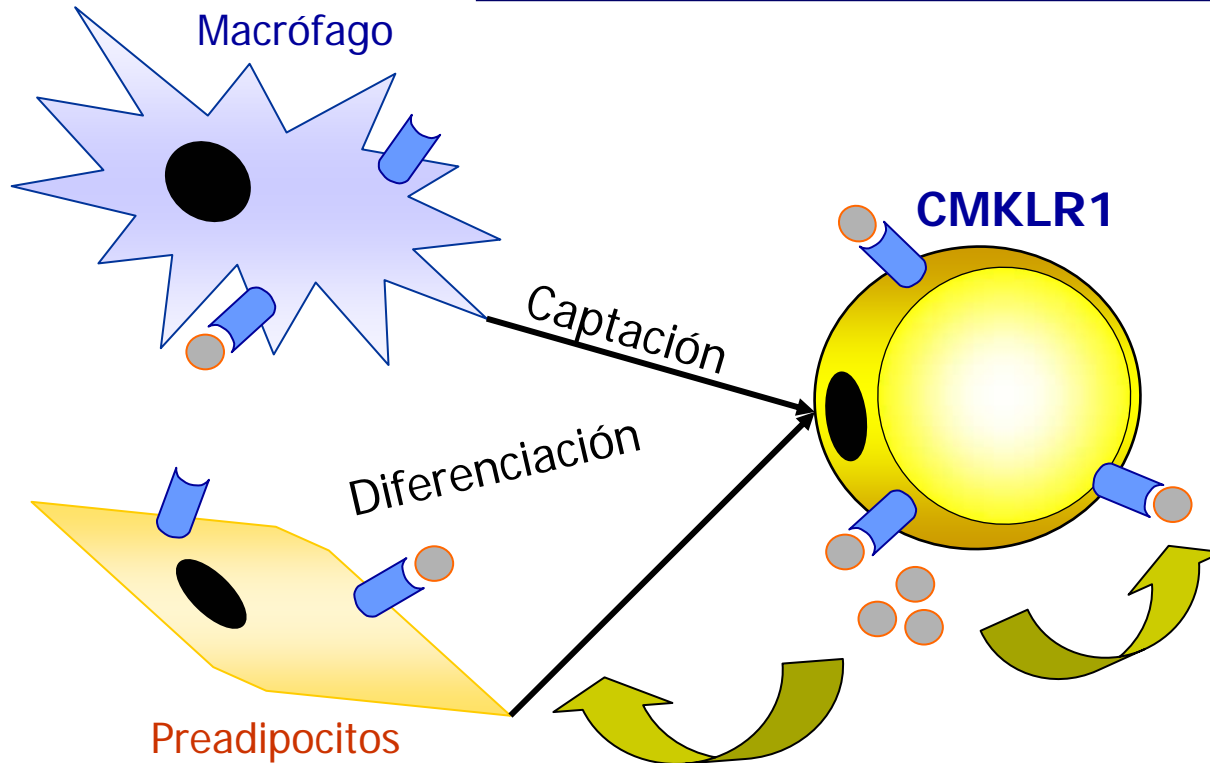
CORRELACIÓN:
Porcentaje de grasa corporal
Glucosa basal y a las 2 h
Insulina en ayuno y a las 2h
HOMA
Colesterol
Presión diastólica
HDL (-)

Expresión génica de nuevas adipocinas inflamatorias

Chemerina

**Activación:
catepsina G**

**Modulador de las funciones
de los adipocitos**



Actividad autocrina

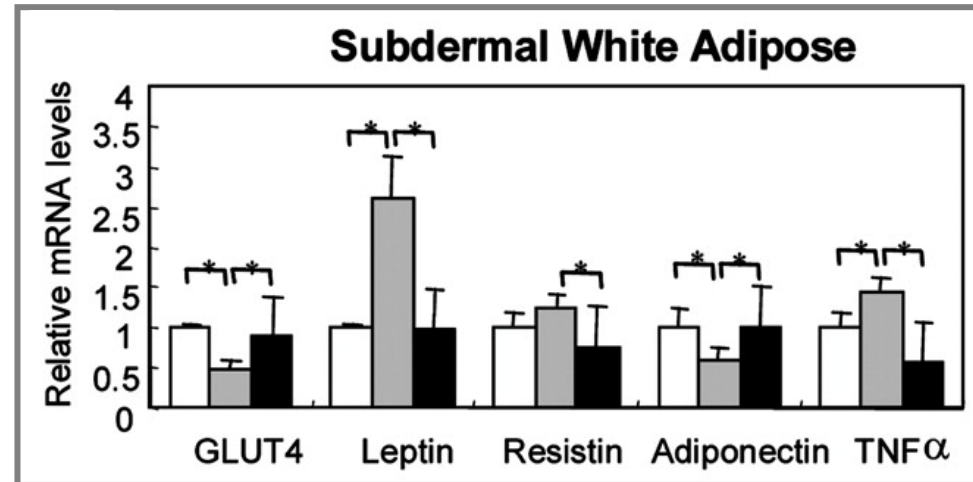
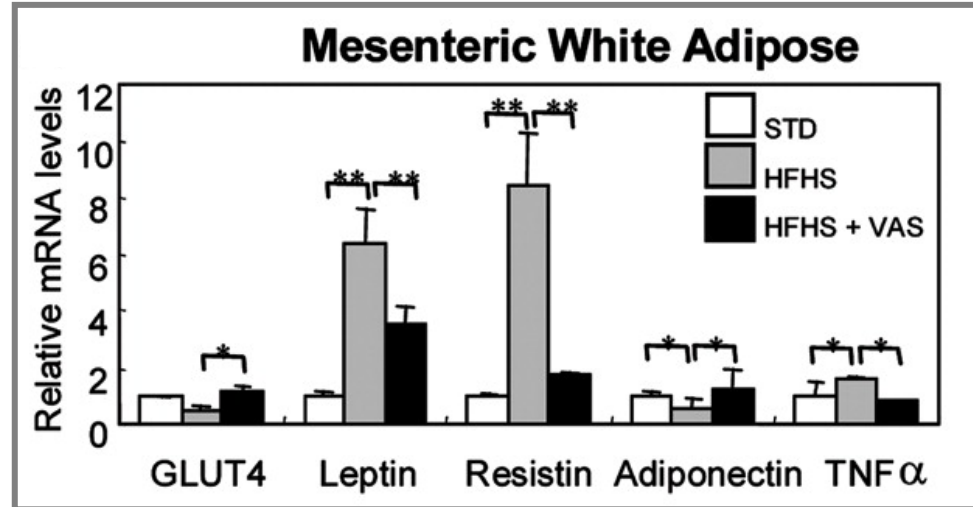
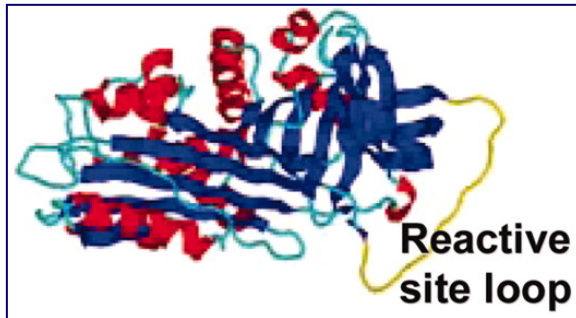
Efectos en la expresión de genes de adipocitos implicados en metabolismo lipídico y glucídico

Actividad paracrina

Expresión génica de nuevas adipocinas inflamatorias

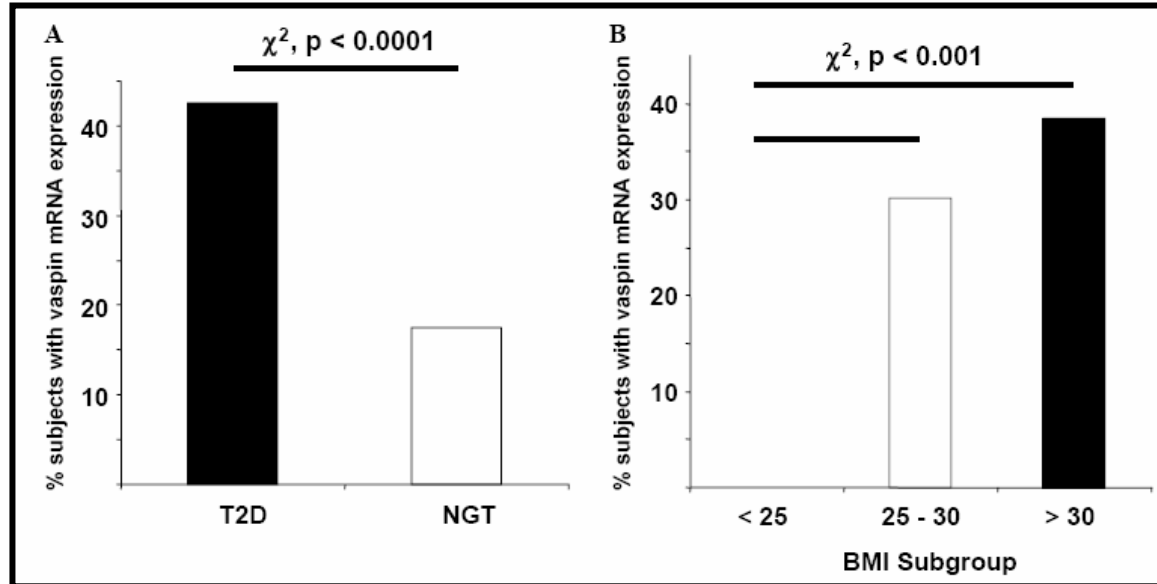
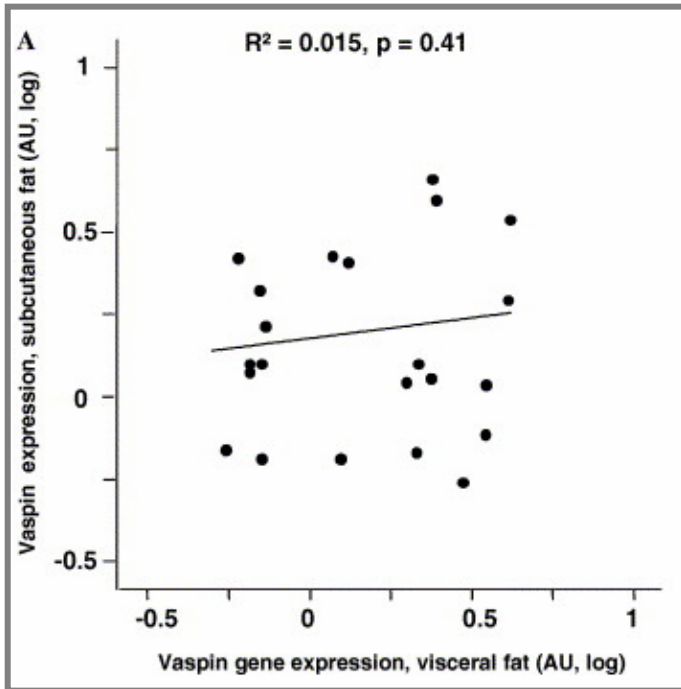
Vaspin

Inhibidor de serín-proteasas



Expresión génica de nuevas adipocinas inflamatorias

Vaspina

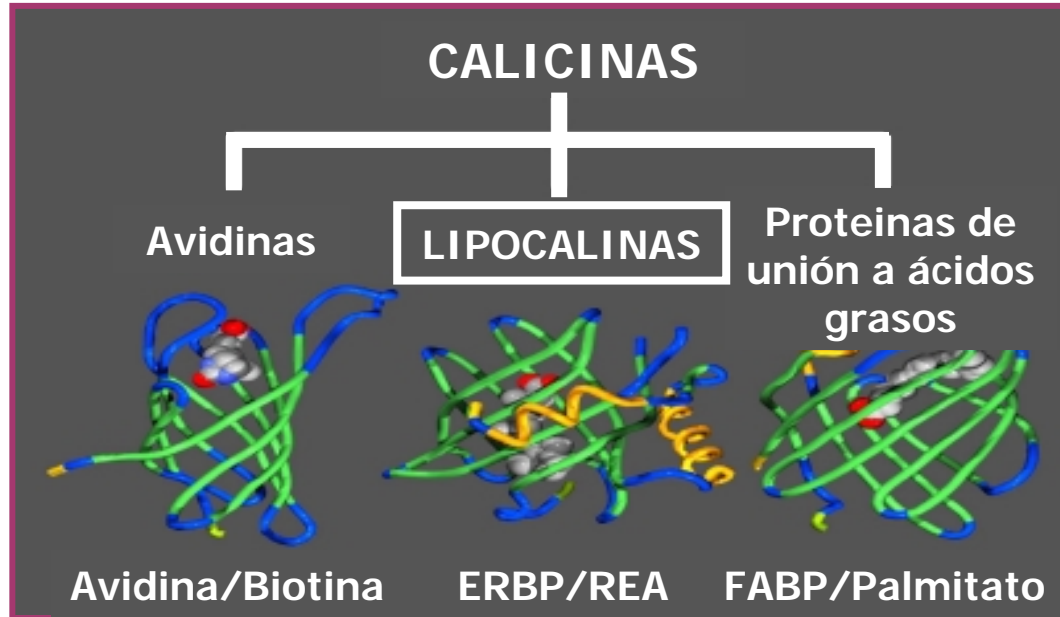


**Aumento de expresión
en obesidad y DMT2**

**Visceral mRNA Vaspina
Porcentaje de grasa (+)**

**Subcutáneo mRNA Vaspina
Índice cintura-cadera (-)**

Lipocalinas



Lipos: grasa — *Calyx*: copa

Estructura muy conservada

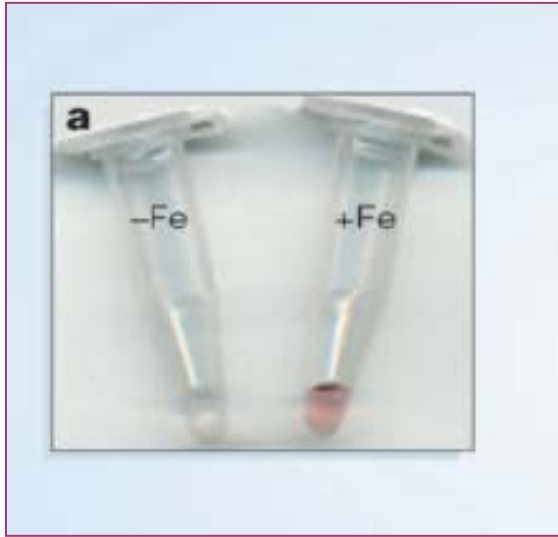
Unión a ligandos hidrófobos y receptores específicos

Diversidad funcional: transporte del retinol, síntesis de prostaglandinas, regulación de procesos celulares, coloración, modulación del sistema inmune

Proteínas de transporte extracelular

Lipocalina 2

NGAL (neutrophil gelatinase-associated lipocalin), 24p3, Uterocalin, Siderocalin



Nature, 2004

Lipocalin 2 mediates an innate immune response to bacterial infection by sequestering iron

Trude H. Flo^{1,2*}, Kelly D. Smith^{1,3*}, Shintaro Sato⁴, David J. Rodriguez¹, Margaret A. Holmes⁵, Roland K. Strong⁵, Shizuo Akira⁴ & Alan Aderem¹

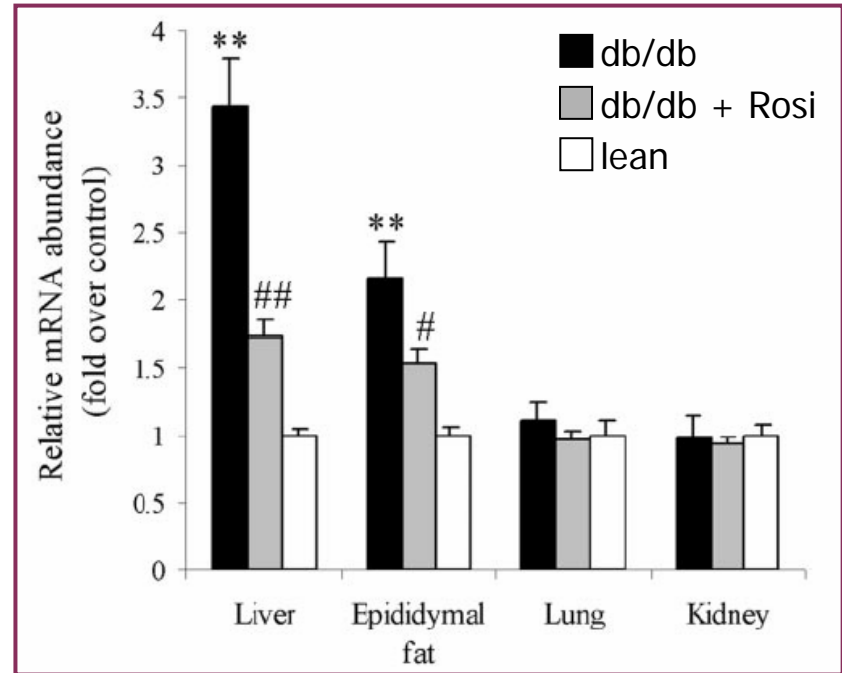
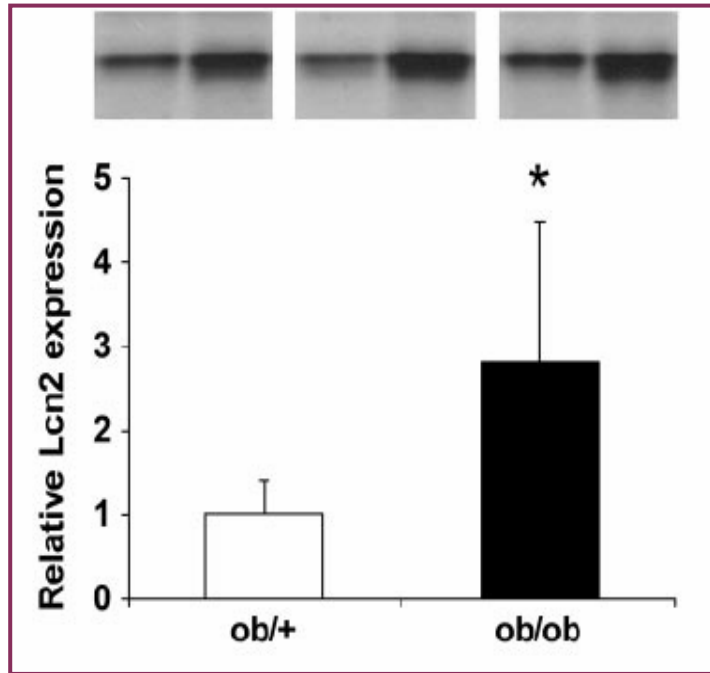
Cell, 2005

A Cell-Surface Receptor for Lipocalin 24p3 Selectively Mediates Apoptosis and Iron Uptake

Laxminarayana R. Devireddy,^{1,2} Claude Gazin,^{1,2} Xiaochun Zhu,¹ and Michael R. Green^{1,*}

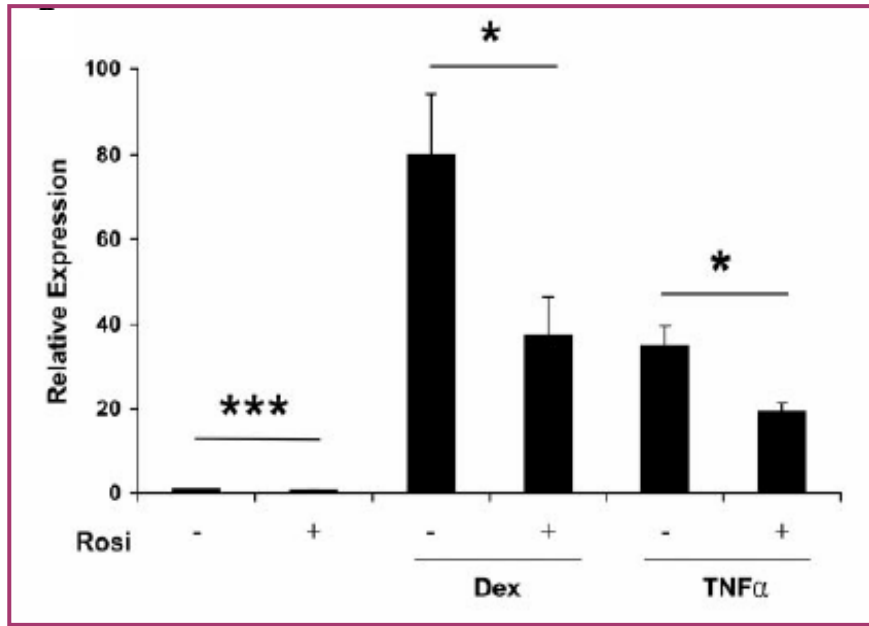
- Glicoproteína de 25 kDa
- Identificada por primera vez en neutrófilos y células renales
- Descrita en otros tejidos (adiposo, hígado, pulmón)
- Transporte de ácidos grasos y HIERRO
- Inducción de apoptosis y respuesta inmune innata
- Estímulos inflamatorios activan su expresión

Lipocalina 2 y obesidad



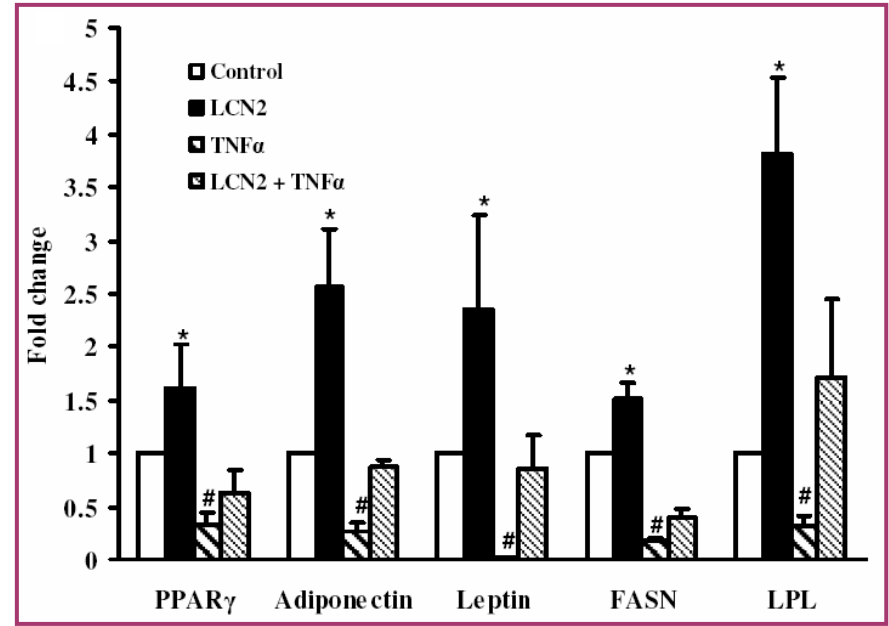
- Expresión en hígado y tejido adiposo aumentada en ratones *db/db* y *ob/ob* y se reduce tras tratamiento con rosiglitazona

Lipocalina 2 y obesidad



Inducción por factores que inducen insulino-resistencia:

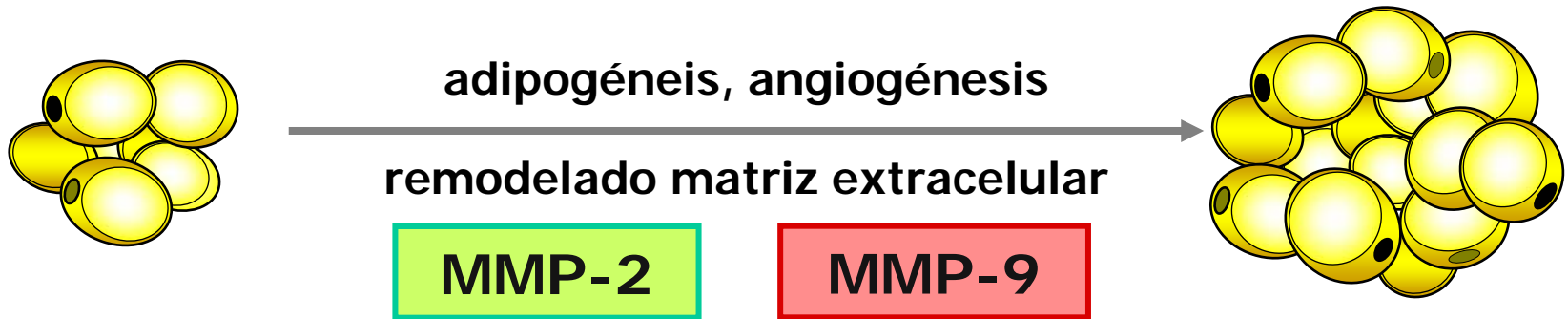
Dexametasona y TNF- α



Contrarresta efectos de TNF- α

INSULINA: Aumenta la expresión de LCN2

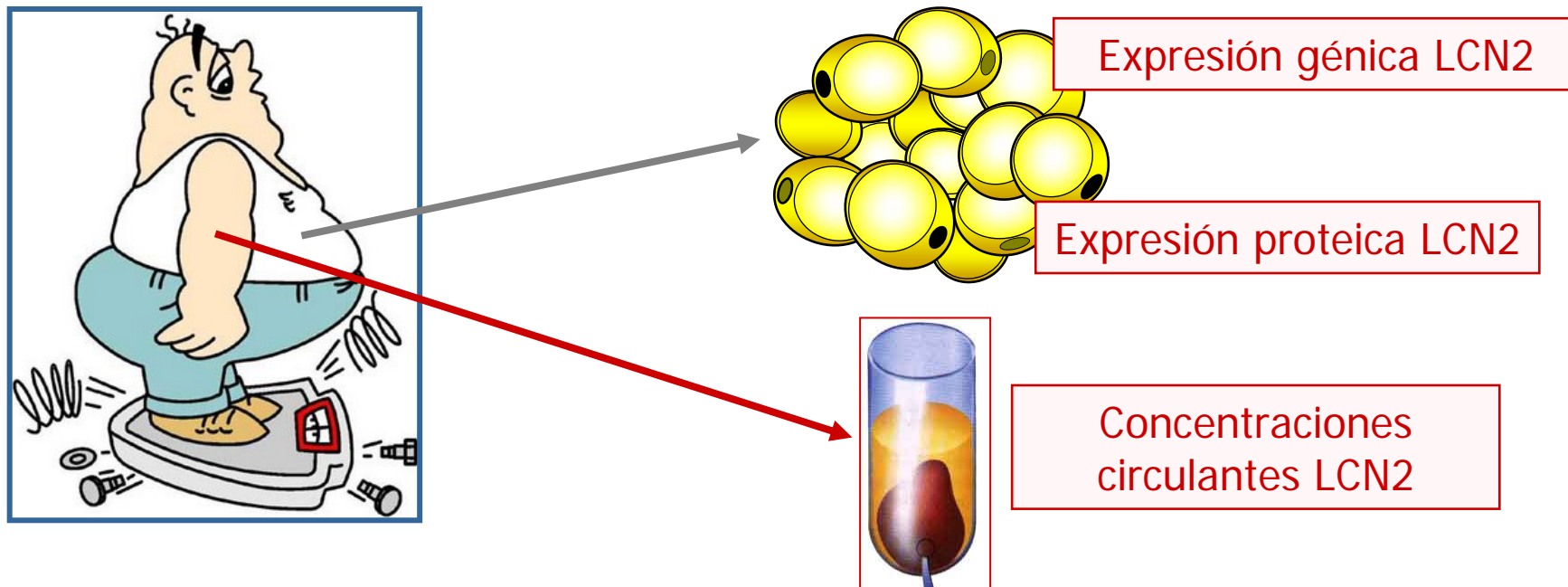
Lipocalina 2 y MMP-9



- Enzimas clave en la remodelación de la ECM
- Regulación de la diferenciación de los adipocitos
- Secreción modulada durante la diferenciación de los adipocitos
 - Implicadas en la respuesta inflamatoria
 - Expresión inducida por $\text{TNF-}\alpha$

**LCN2 se une covalentemente a
MMP-9 inhibiendo su degradación
y manteniendo su actividad
enzimática**

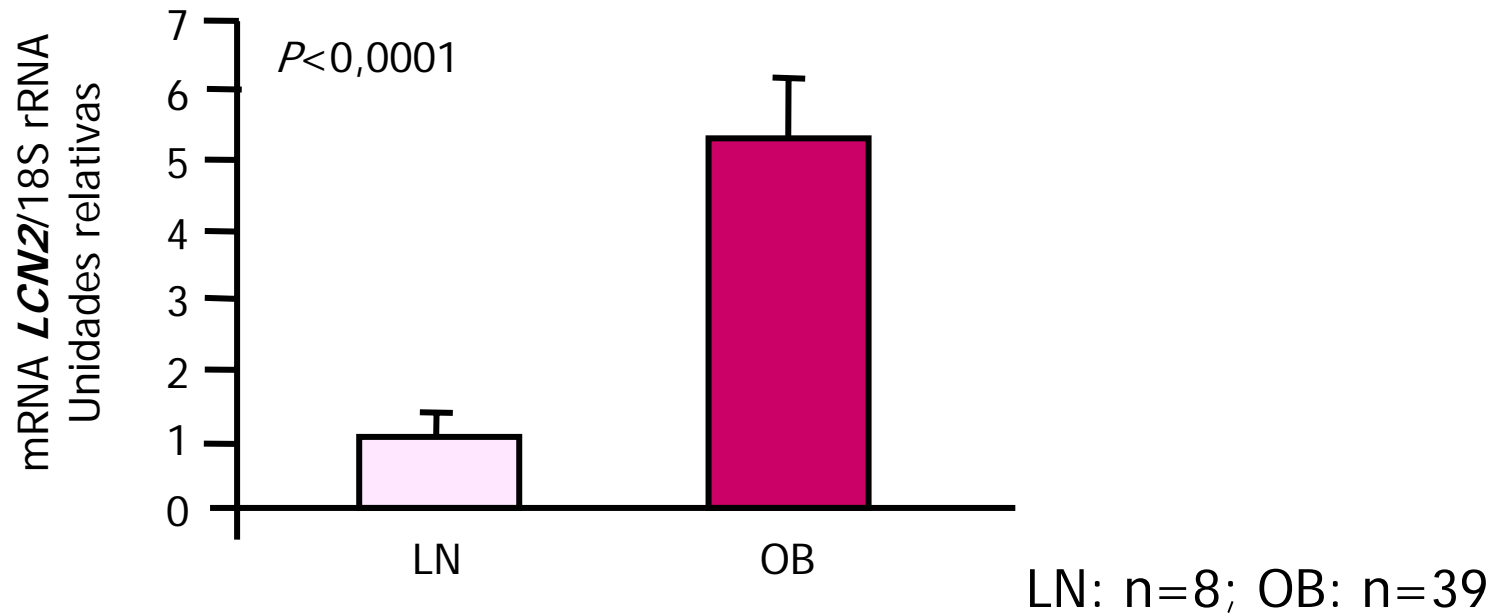
¿POSIBLE INFLUENCIA EN OBESIDAD HUMANA?



Relación LCN2-INFLAMACIÓN

**Importancia complejo LCN2/MMP-9 en
obesidad**

LCN2. Niveles de expresión génica

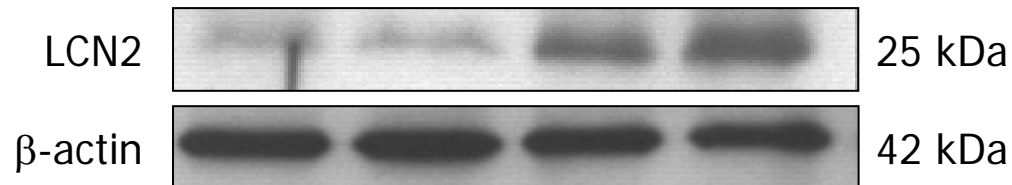
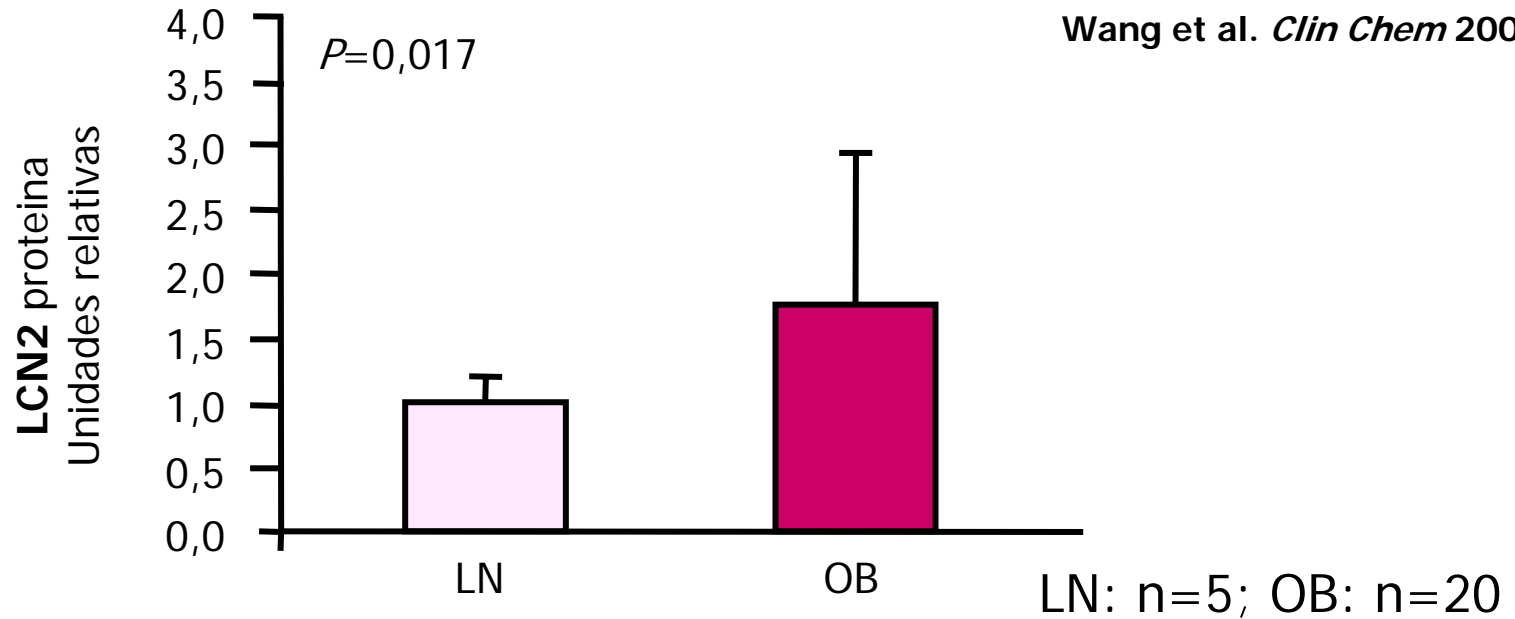


Niveles de expresión génica elevados en tejido adiposo visceral en pacientes obesos

**LCN2-IMC
CORRELACIÓN $r=0,40$; $P=0,012$**

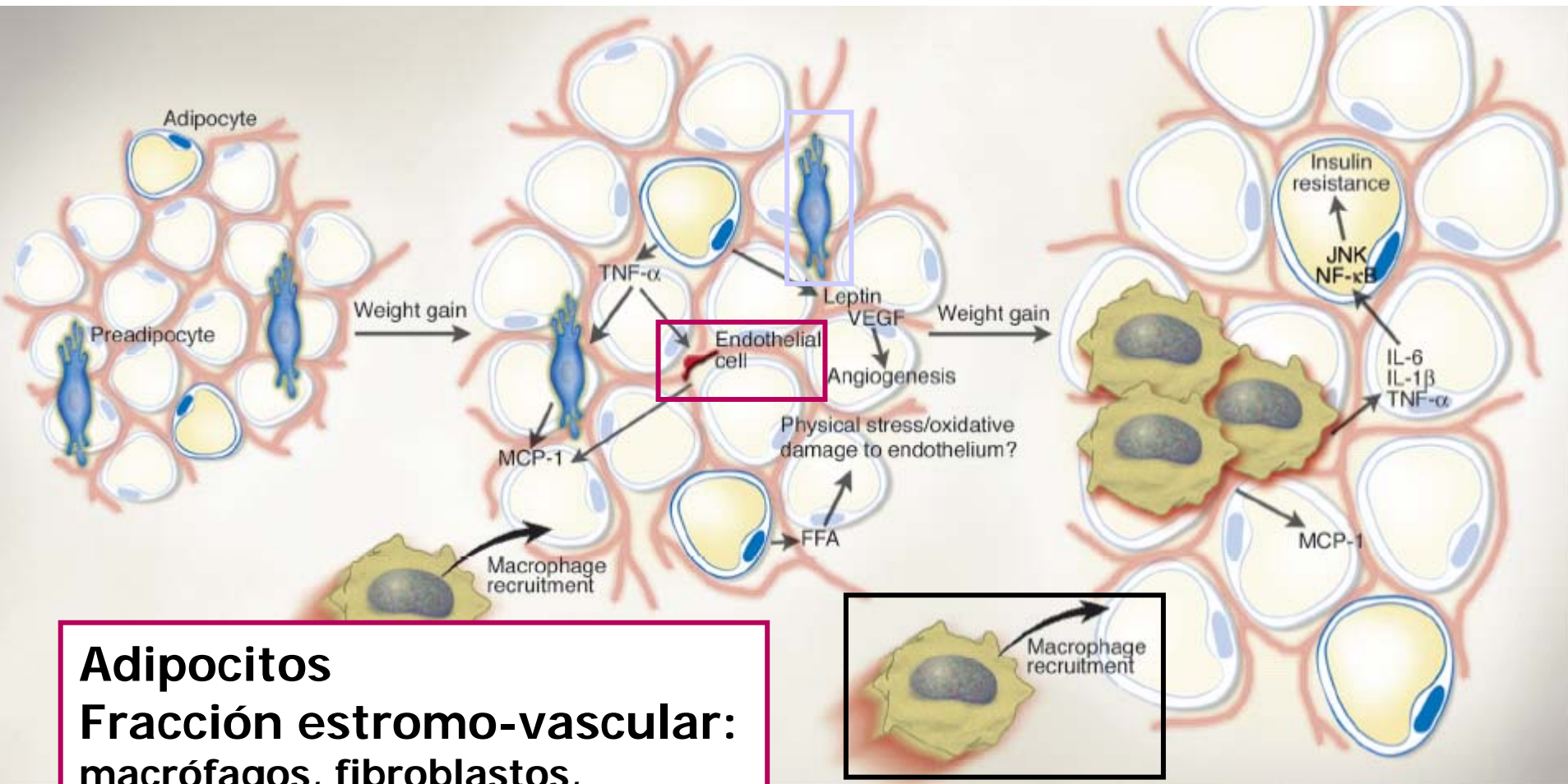
LCN2. Niveles de expresión proteica

Yan et al. *Diabetes* 2007
Wang et al. *Clin Chem* 2007



Niveles de expresión proteica siguen la misma tendencia
CORRELACIÓN $r=0,50$; $P=0,010$

Multicelularidad del tejido adiposo

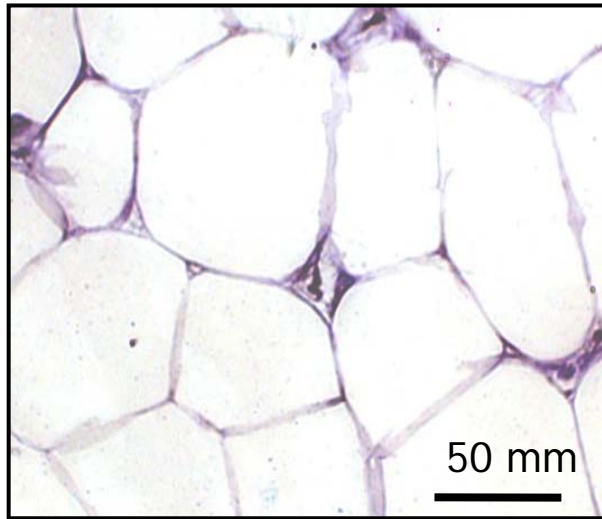


Adipocitos
Fracción estromo-vascular:
macrófagos, fibroblastos,
pericitos, preadipocitos, células
endoteliales y mesenquimales

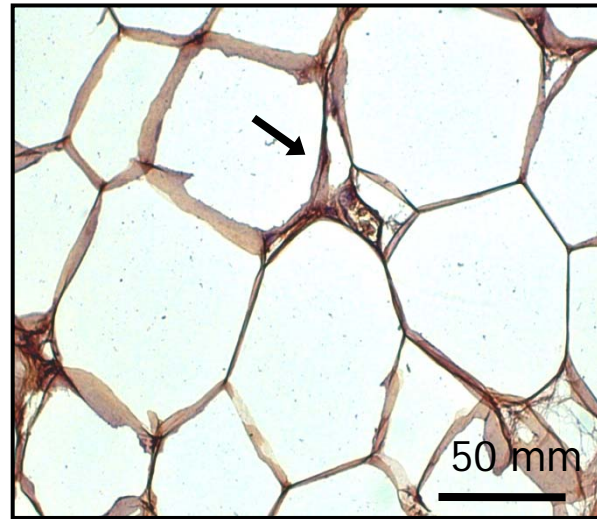
“Cross-talk” autocrino-paracrino

Wellen and Hotamisligil. J Clin Invest, 2003

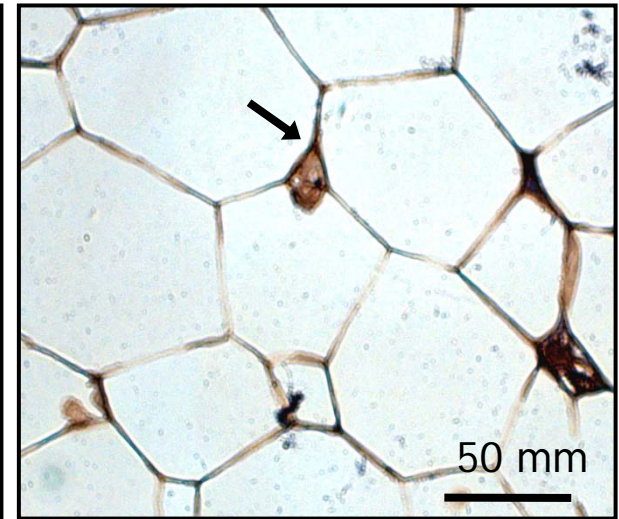
LCN2. Análisis inmunohistoquímico



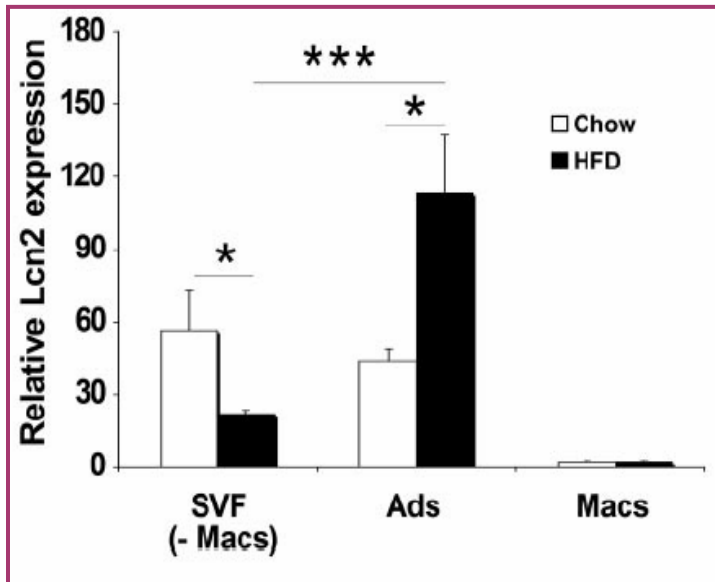
Control negativo



LCN2



CD68



Yan et al. *Diabetes* 2007

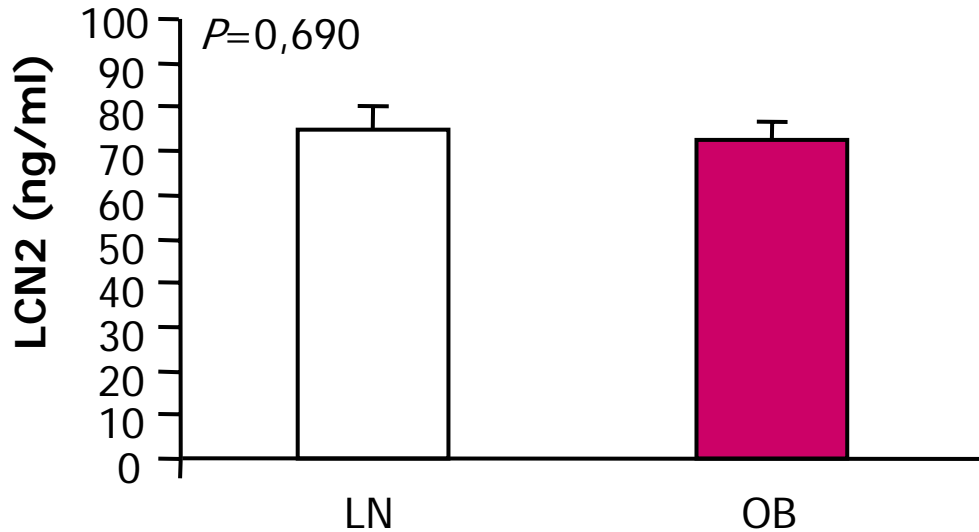
Zhang et al. *Mol Endocrinol* 2008

Fain et al. *Metabolism* 2008

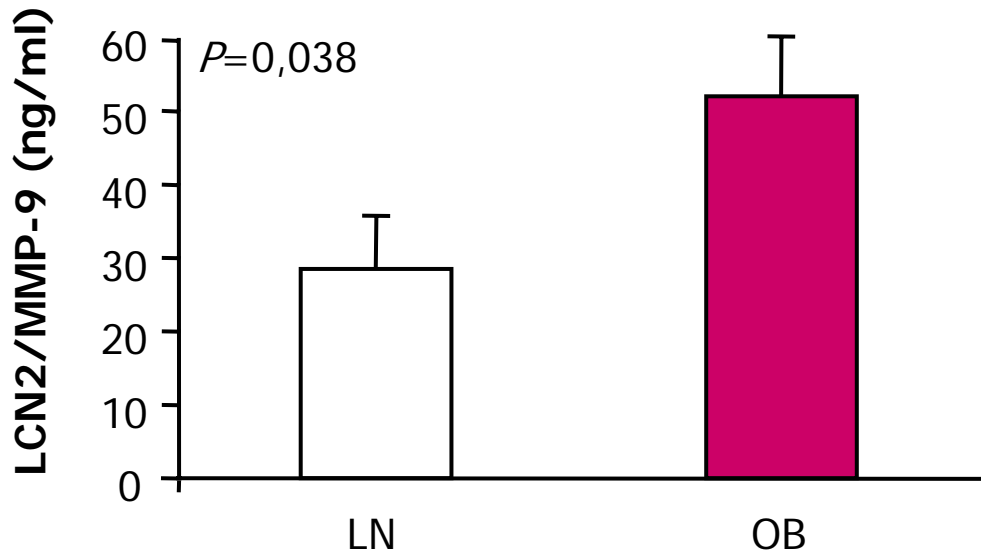
Expresión en adipocitos y en SVF

Aumento de expresión en adipocitos tras HFD

LCN2. Niveles circulantes



LN: n=13; OB: n=27



CORRELACIONES

mRNA LCN2: $r=-0,19$; $P=0,430$

Proteína LCN2: $r=-0,09$; $P=0,861$

Choi et al. *Clin Endocrinol* 2009

Stejskal et al. *Horm Metab Res* 2008

¿RBP-4?

Yang Q et al. *Nature* 2005; Gómez-Ambrosi J et al. *Clin Endocrinol* 2008

**¿Complejo
LCN2/MMP-9?**

CORRELACIONES

IMC: $r=0,49$; $P=0,003$

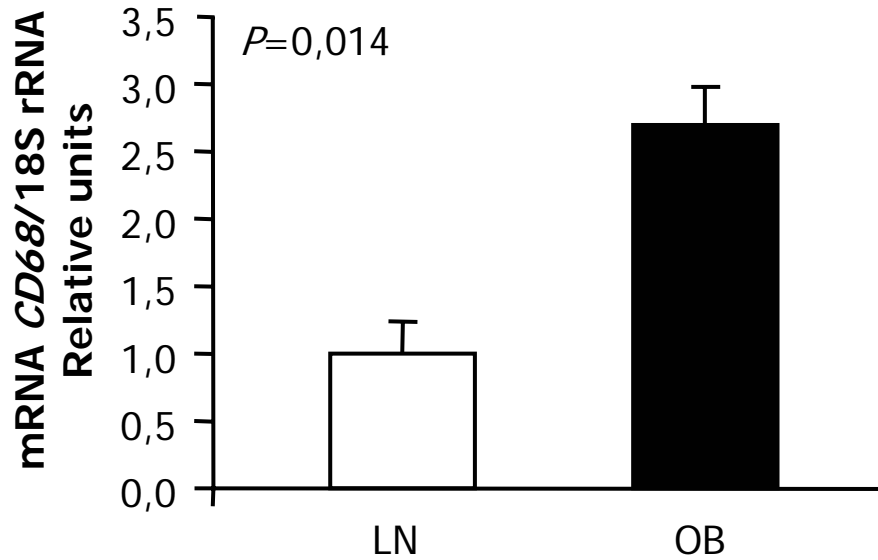
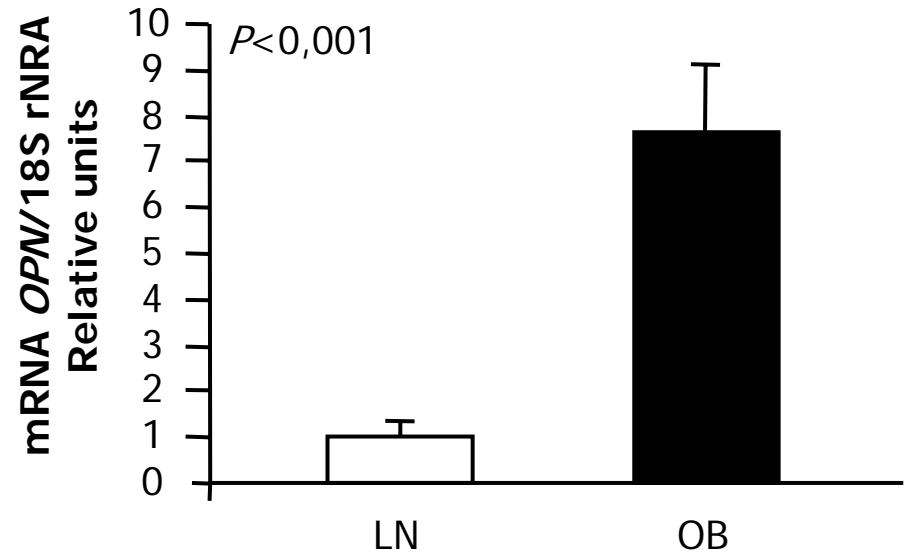
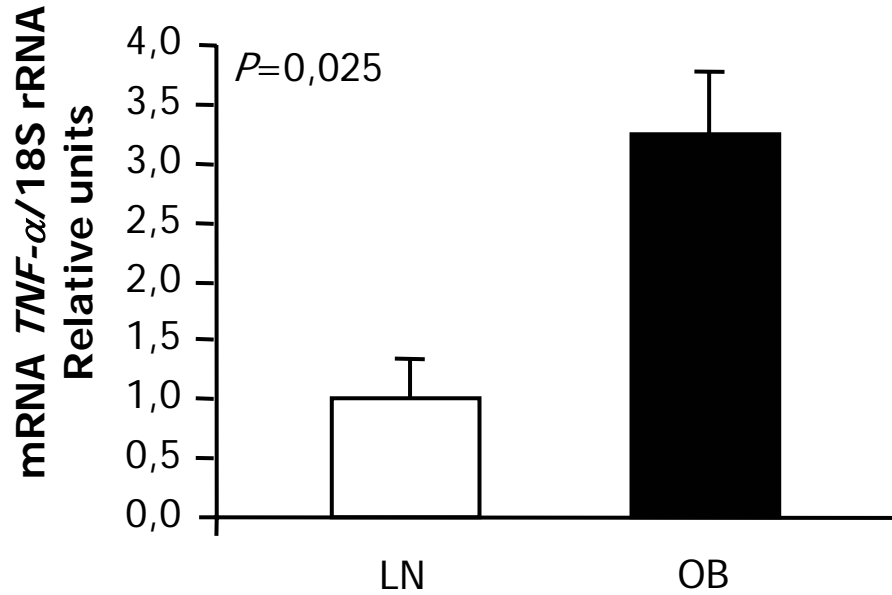
Leptina: $r=0,50$; $P=0,025$

PCR: $r=0,74$; $P<0,001$

Fibrinógeno: $r=0,61$; $P<0,001$

Catalan et al. *J Mol Med* 2009

Marcadores de inflamación



LN: n=8; OB: n=39

ESQUEMA GENERAL

Evidencia epidemiológica y genética

Características generales del tejido adiposo

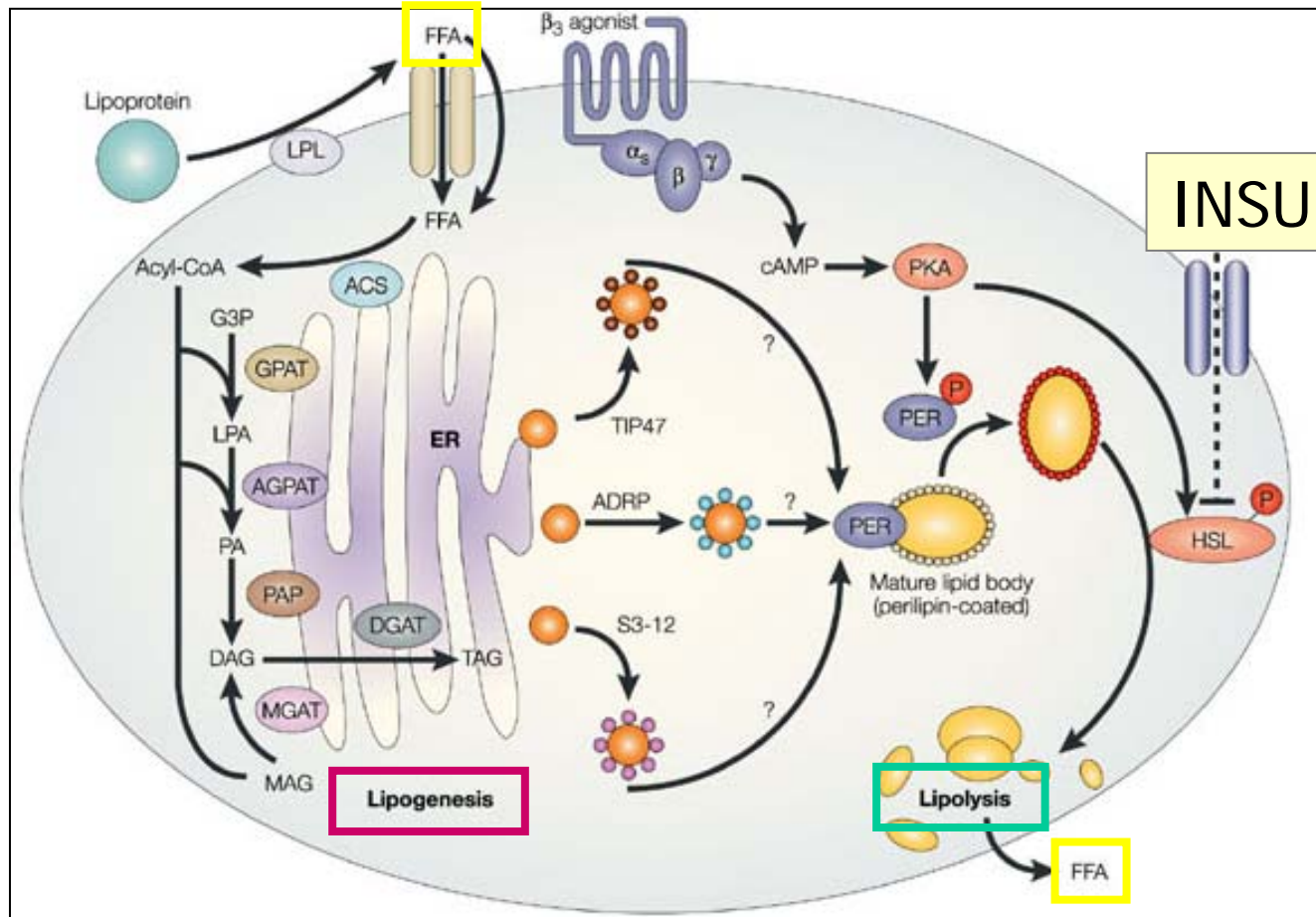
Adipoquinas, insulino-resistencia e inflamación

Vías relacionadas con el metabolismo lipídico

Genes de respuesta a hipoxia

Nuevos hallazgos - implicaciones

Genes del metabolismo lipídico



PPAR γ
SREBP-1
FAS
SCD1

LIPOGÉNESIS

LIPOLISIS

HSL/ATGL

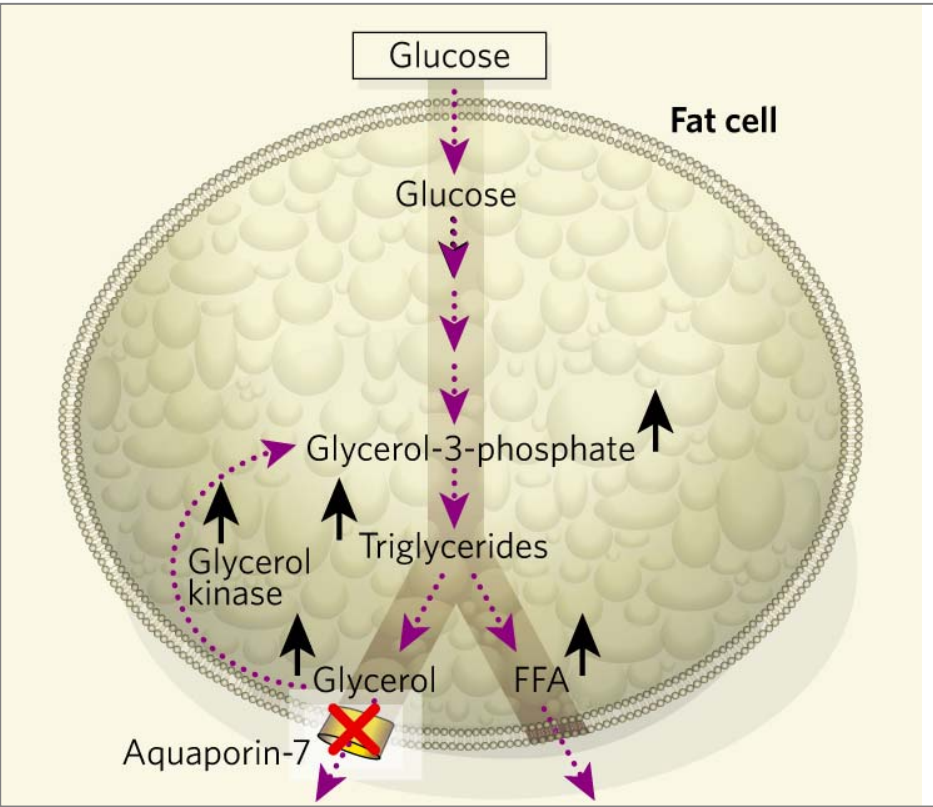
Estado nutricional
Factores endocrinos: insulina o catecolaminas

Proteínas transportadoras

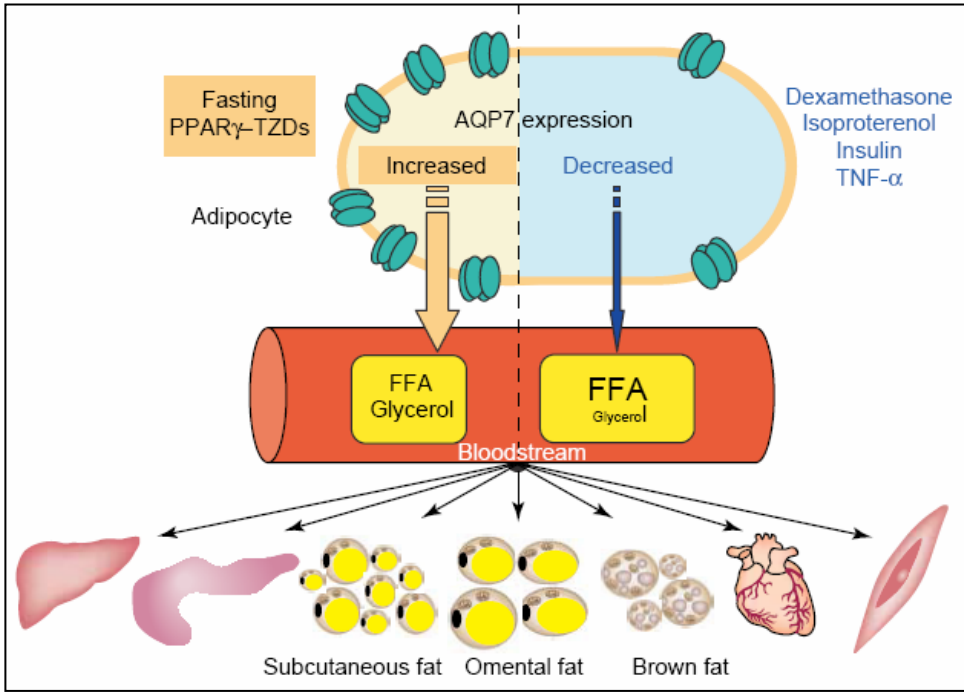
CD36
FATP
FABP

Proteínas integrales de membrana

AQP7



Frühbeck *Nature* 2005

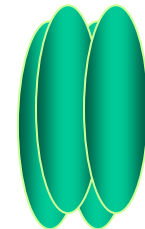


Frühbeck et al. *Trends Pharmacol Sci* 2006

**Expresión en visceral >
Expresión en subcutáneo**

Sjöholm et al. *J Clin endocrinol Metab* 2005

WAT

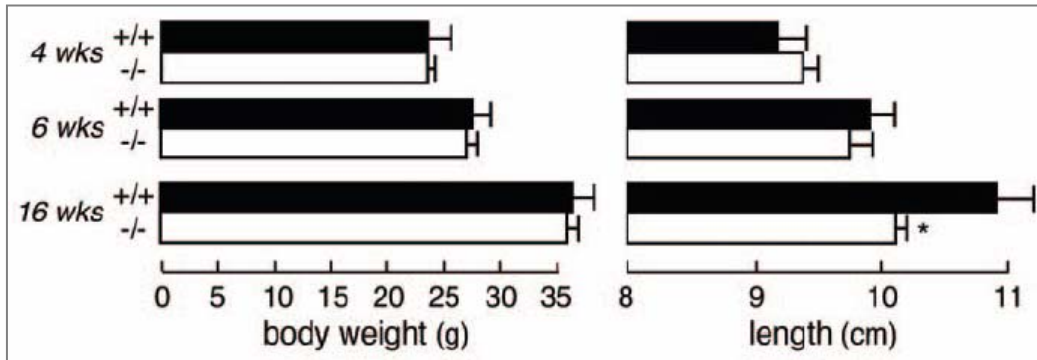


AQP-7

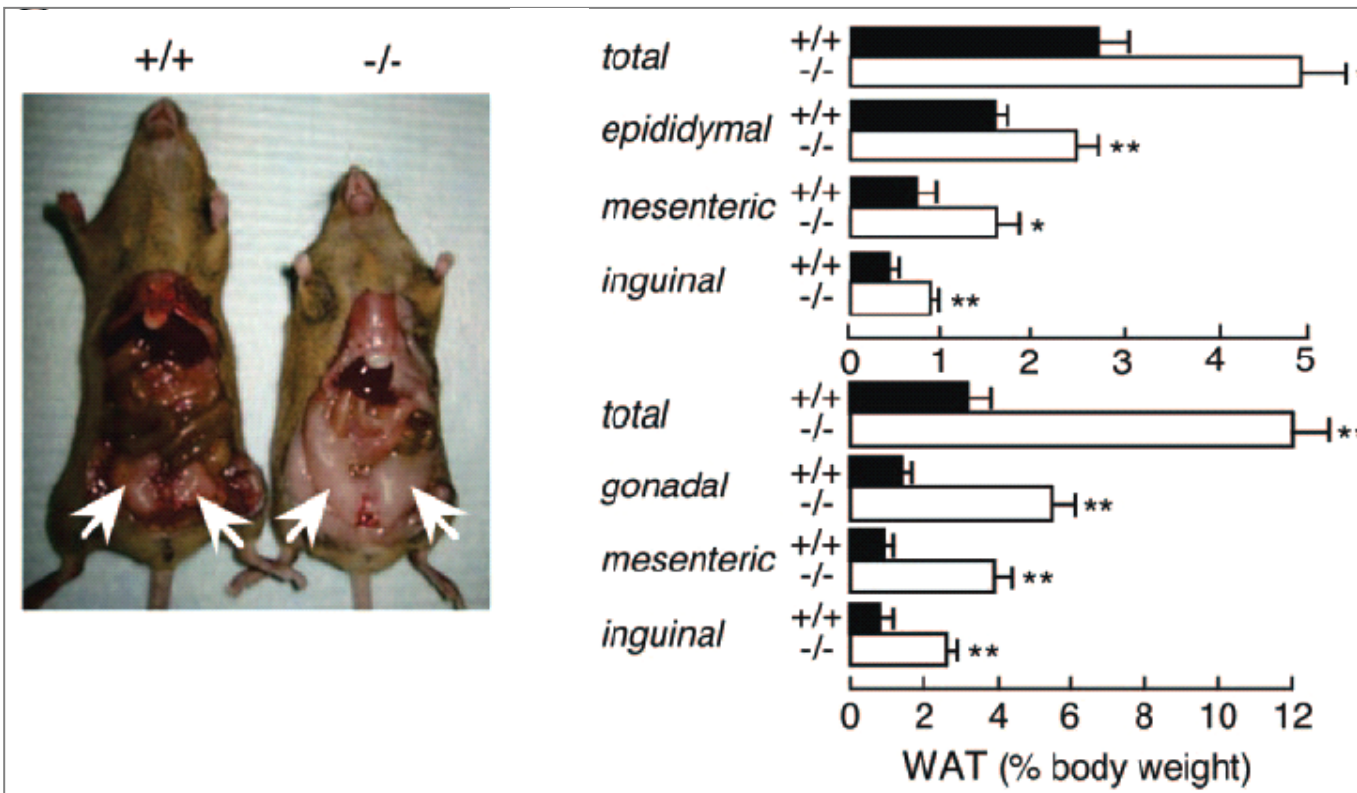
Kuriyama et al. *BBRC* 1997

Proteínas integrales de membrana

AQP7

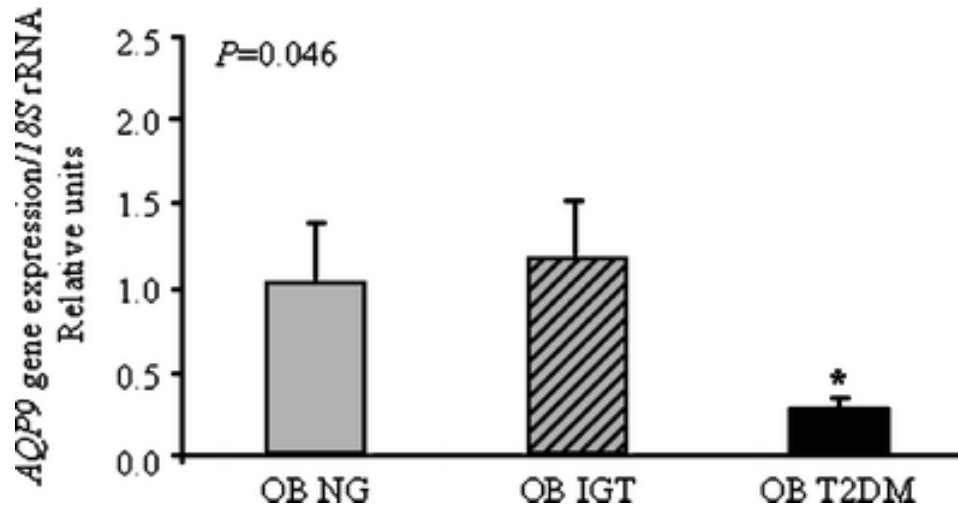
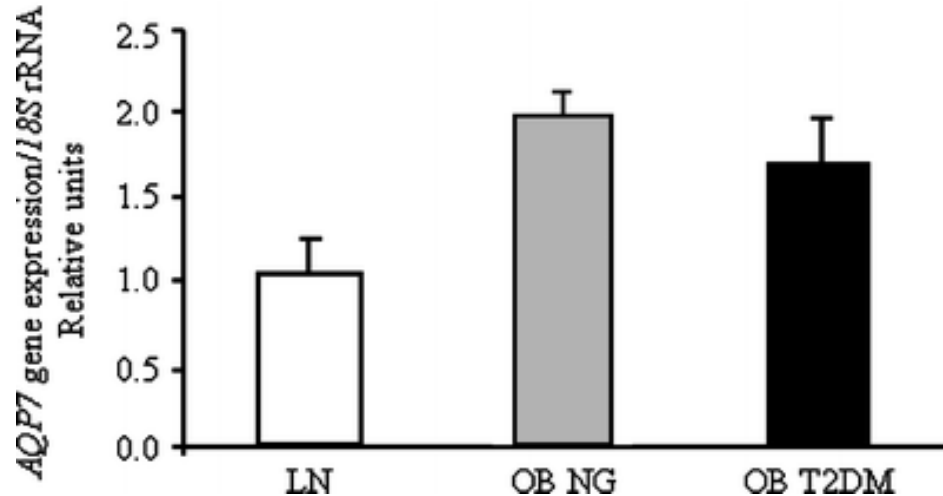


Aqp7 -/-
Menor nivel plasmático de glicerol
Acumulación en los adipocitos



Proteínas integrales de membrana

AQP7



No dif. de expresión de AQP7 en grasa visceral obesos tanto normoglucémicos como T2DM

Dism. expresión hepática AQP9

Dism. expresión de AQP7 en grasa subcut obesos mórbidos

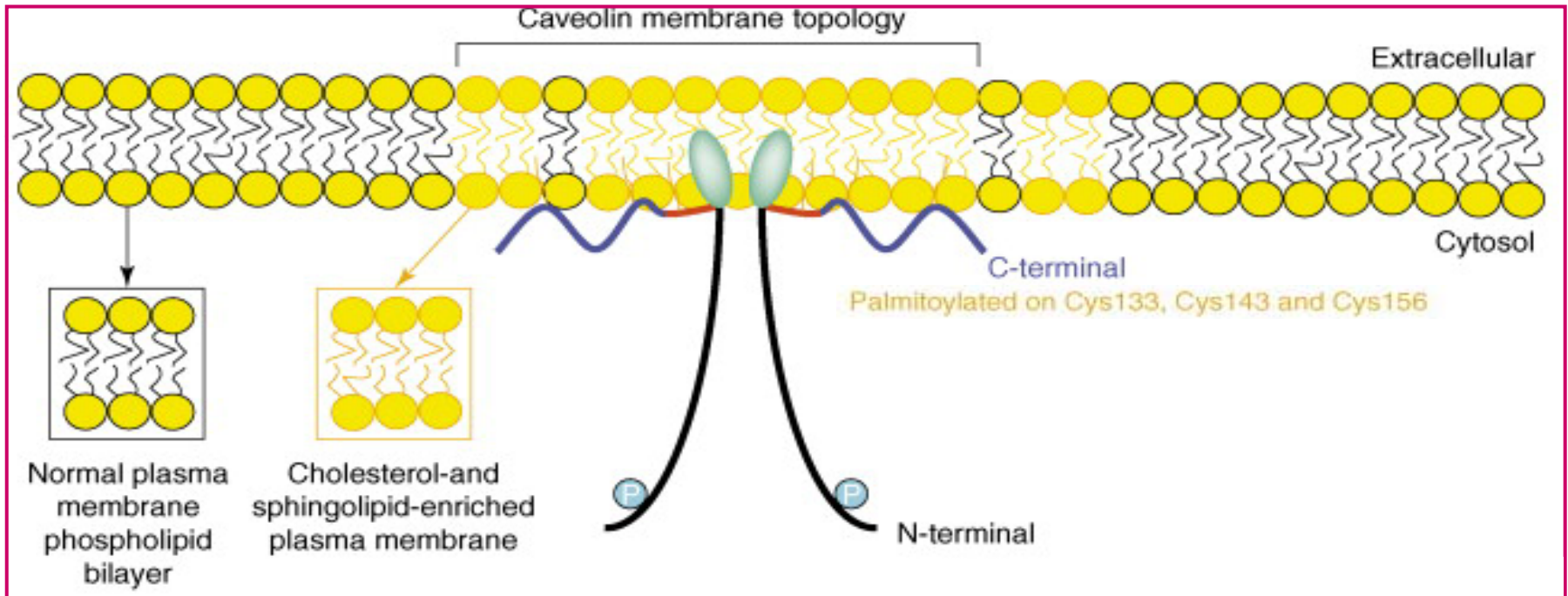
No efecto adicional de T2DM

Correlaciones:

- MCP-1 y $TNF\alpha$ (-)
- $PPAR\gamma$ mRNA (+)

Proteínas integrales de membrana

Caveolina 1



Endocytosis

Transcytosis

Lipid metabolism (cholesterol transporter/regulator)

Signalling

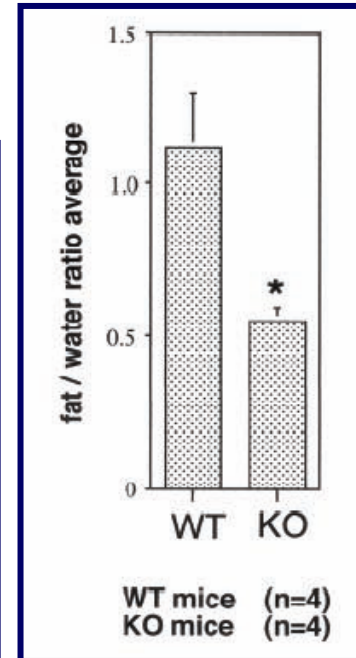
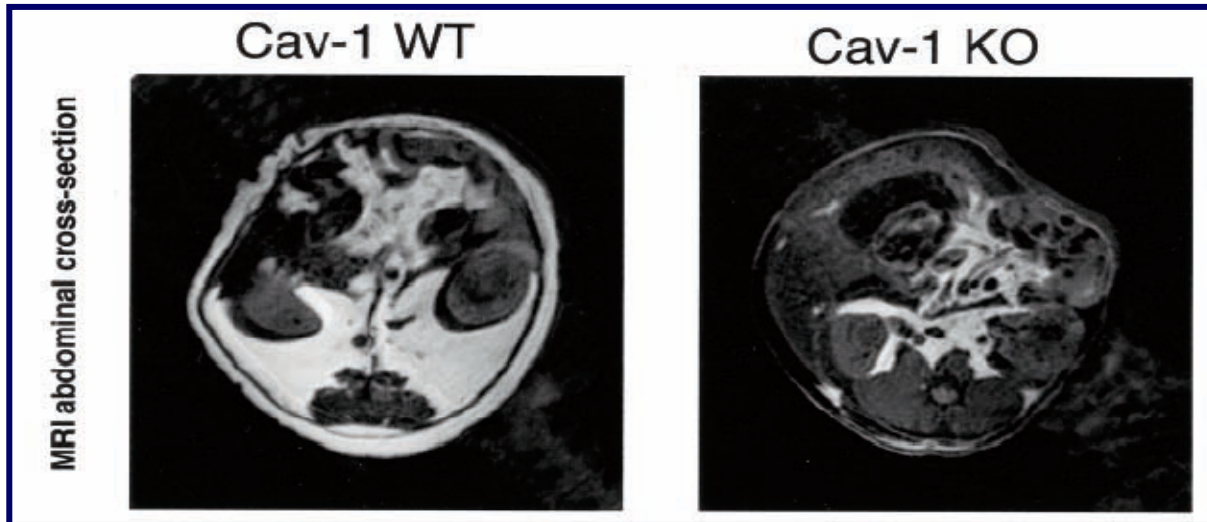
Frühbeck et al. *Trends Endocrinol Metab* 2007

- **Cav-1 and -2**
(most cells except cardiac & skeletal muscle)
- **Cav-3**
(myoblast lineage: cardiac, skeletal, and smooth muscle cells)

Fra et al, 1995; Monier et al, 1995; Song et al, 1997; Thiele et al, 2000

Integral membrane proteins

Caveolin 1



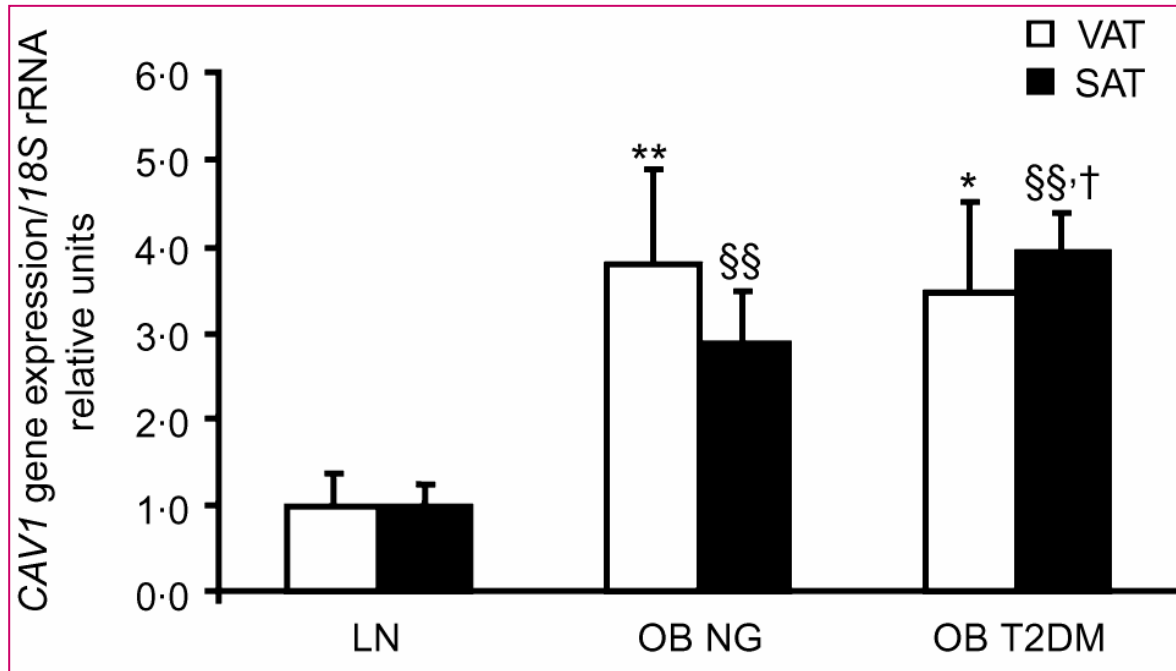
* Defects in lipids homeostasis

- Lean and resistant to diet-induced obesity
- Increased fat accumulation with age
- Decreased leptin and adiponectin concentrations
- Hipertriglyceridemia
- Reduced lipid clearance ability

* Insulin resistance

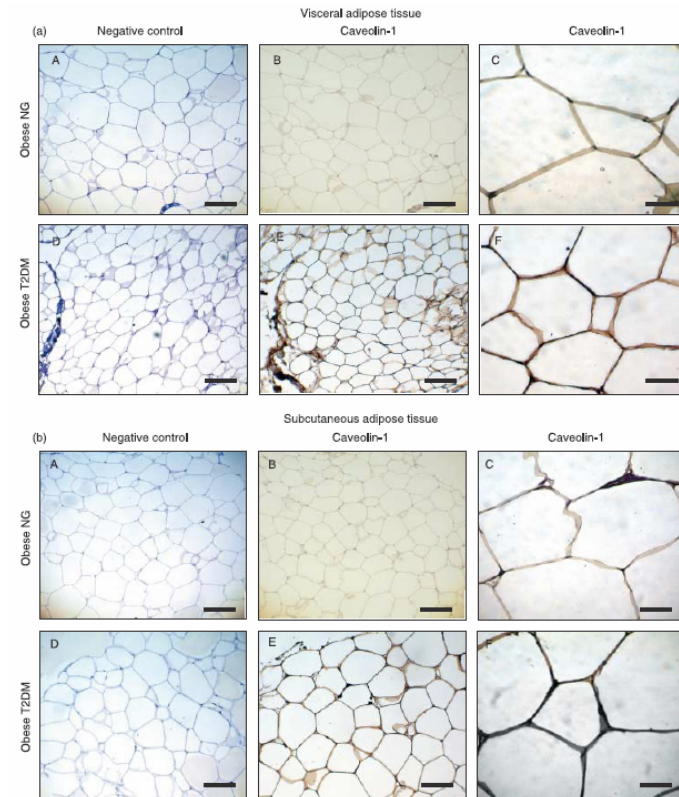
Proteínas integrales de membrana

Caveolina 1



CORRELATIONS

BMI and percentage body fat
mRNA MCP1, sialic acid and fibrinogen



Genetic analysis of *CAVI* gene in hypertension and metabolic syndrome

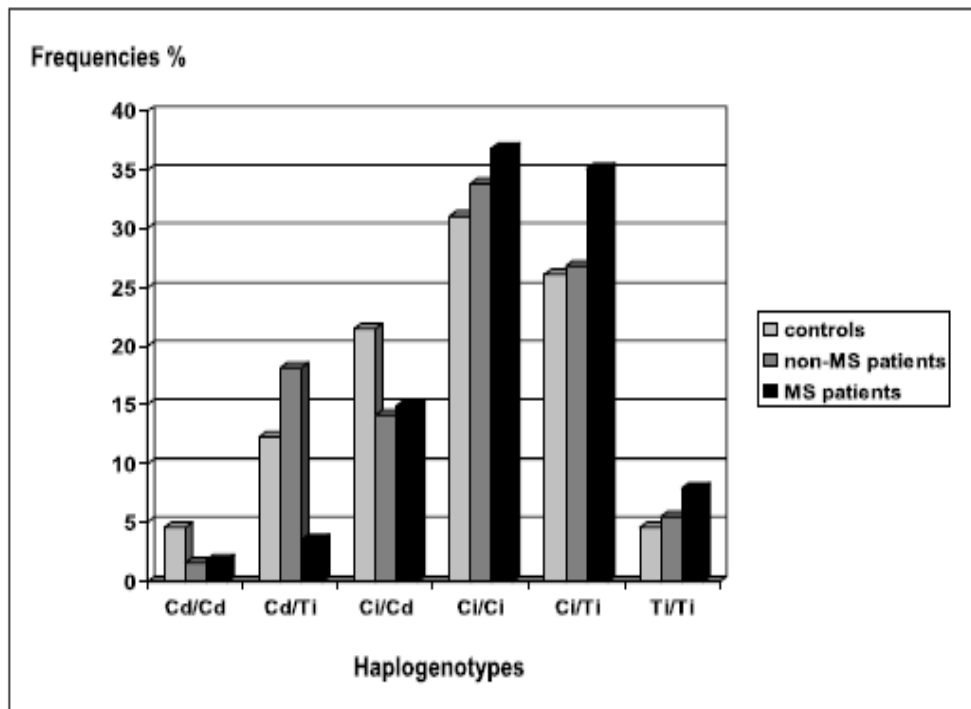
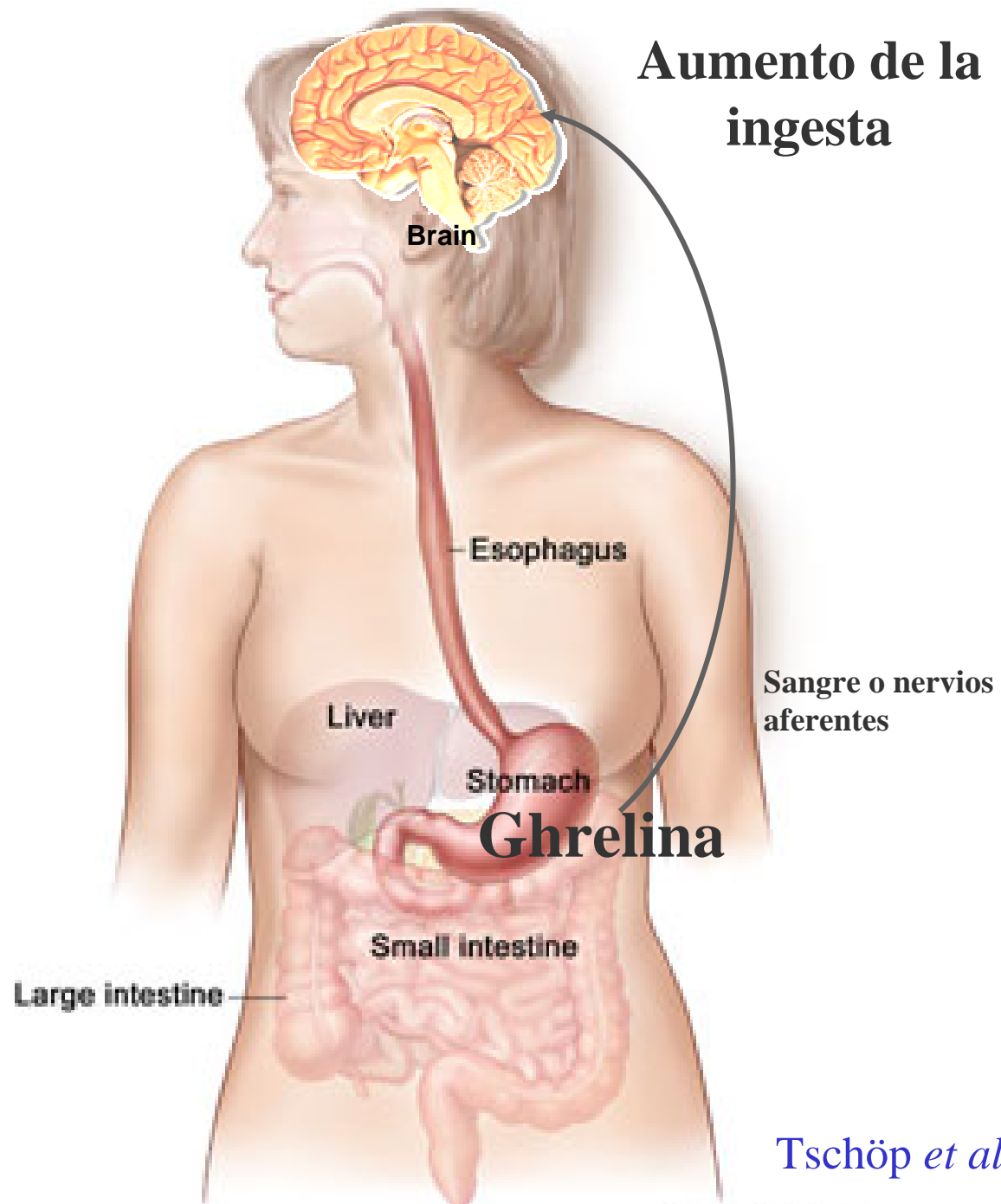


Figure 3: Distributions of *CAVI* haplotypes.

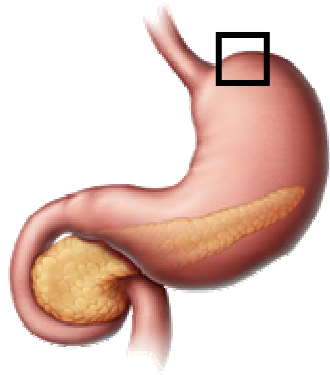
Table 3: Comparison of haplotypic frequencies (%) between controls, MS hypertensive patients and non-MS hypertensive patients. The haplotypic frequencies and p values were calculated using the Thesias software. All p values were age corrected. *Haplotype used as reference.

Haplotype	Frequencies (%)			Statistical		
	Control group	Non-MS patients	MS patients	Control vs. non-MS	Control vs. MS	MS vs. non-MS
Ci*	54.79	54.79	61.18	R	R	R
Cd	21.46	17.71	10.96	NS	OR=0.45 p=0.0012	OR=0.54 p=0.027
Ti	23.74	27.95	27.19	NS	NS	NS

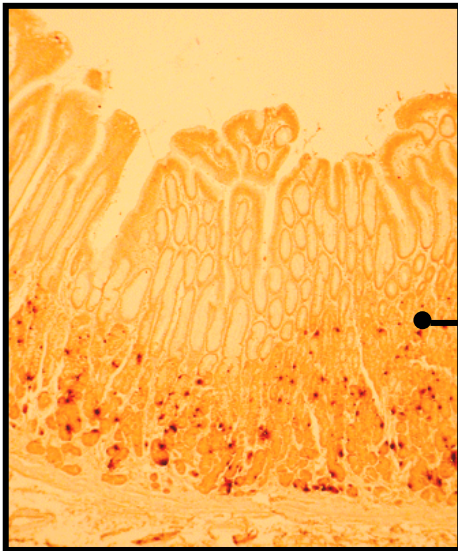
Ghrelina



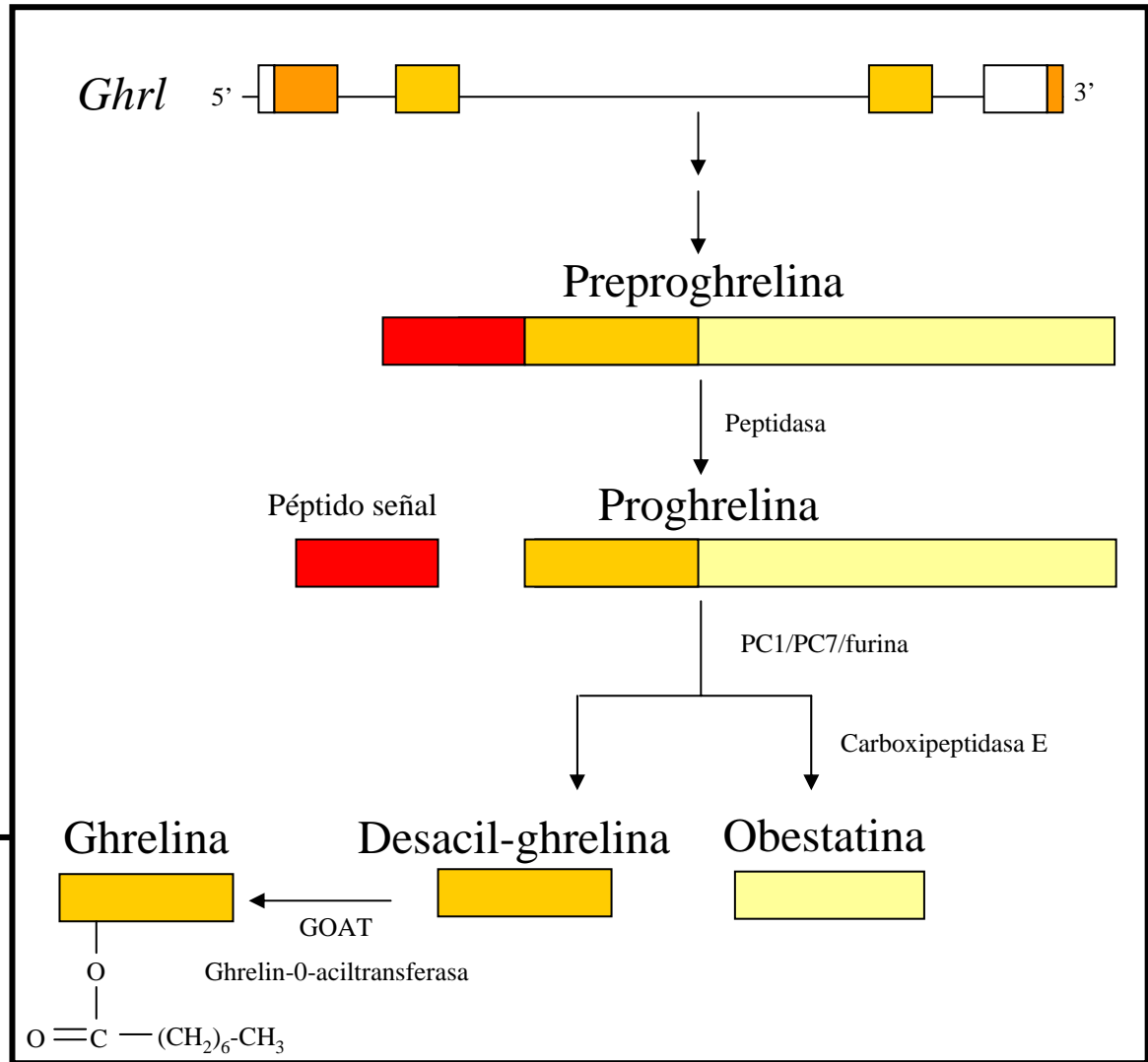
Ghrelina



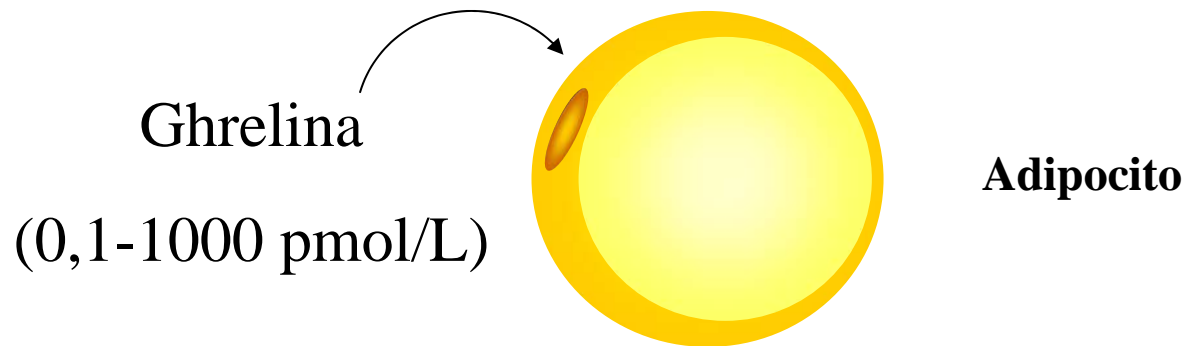
Estómago



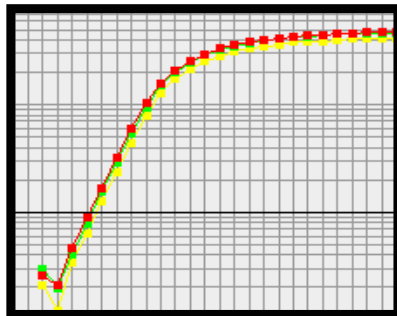
Glándulas oxínticas
de la mucosa del
fundus



Estudio del efecto de la ghrelina y desacil-ghrelina sobre adipogénesis y lipogénesis

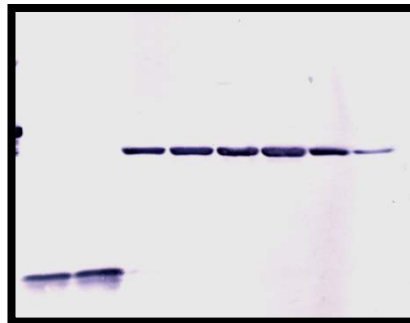


RT-PCR



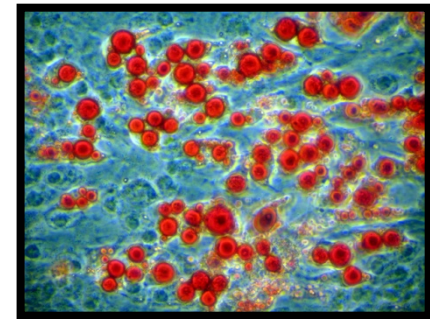
PPARg
SREBF1

Western-blot



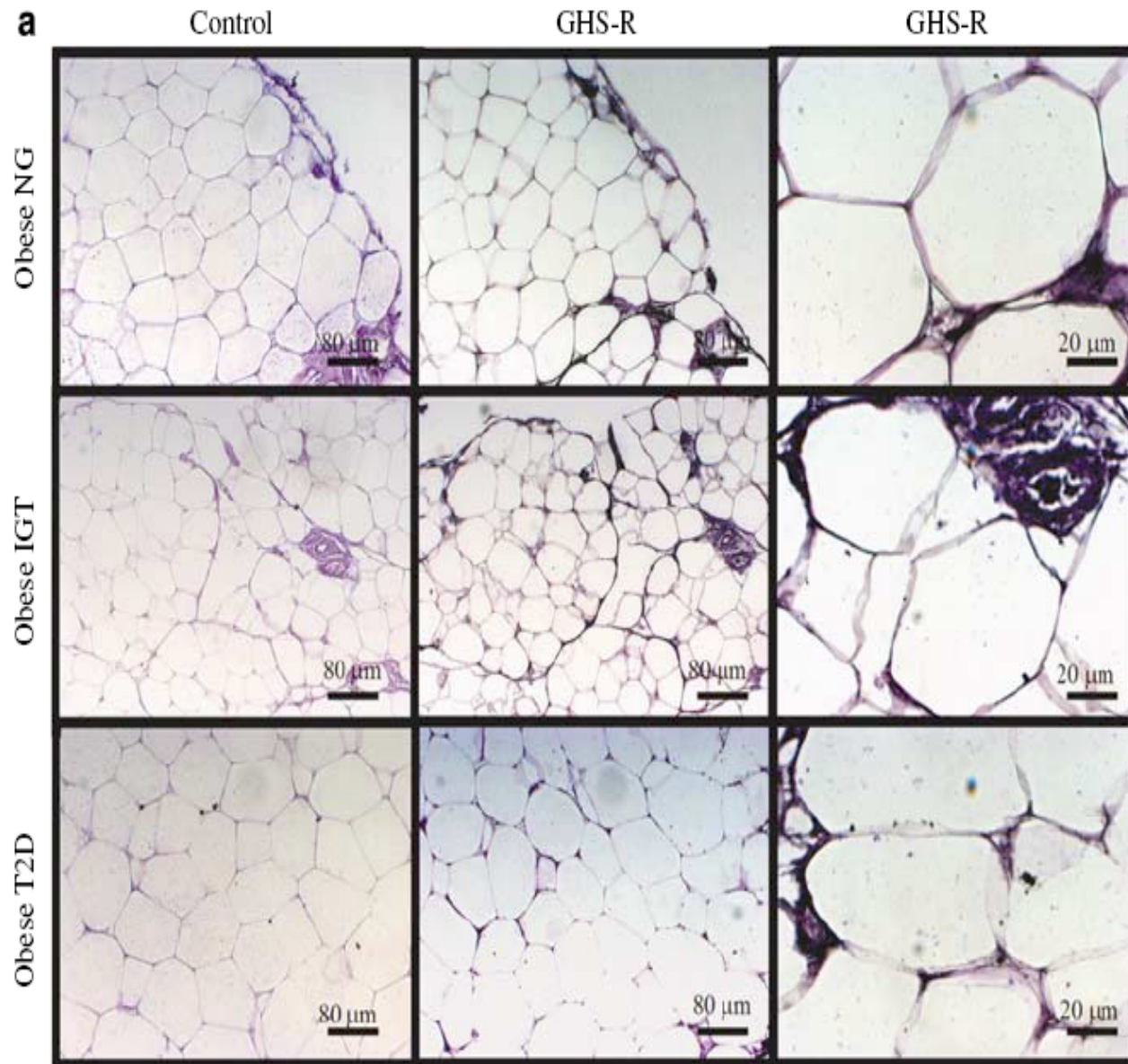
Adipophilina, perilipina,
AQP7, FABP, ACC, FAS,
LPL

TG intracelulares

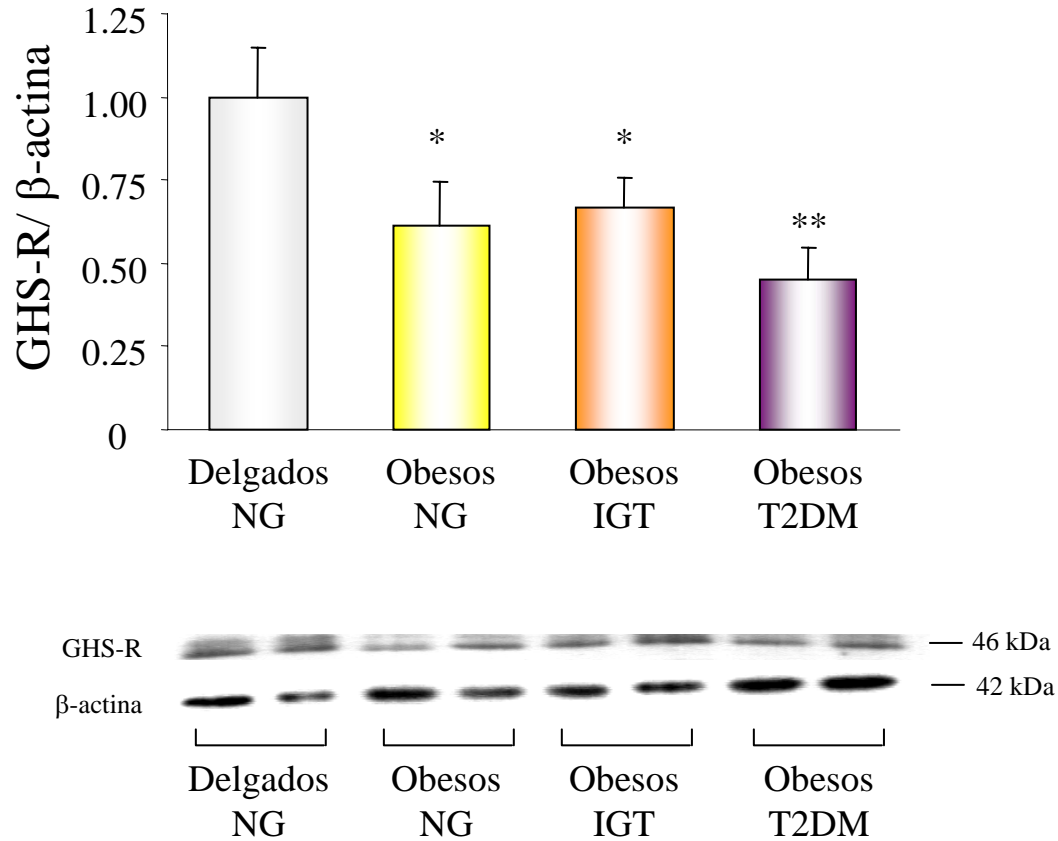


Métodos enzimáticos
Oil Red O

Expresión de GHS-R en grasa omental

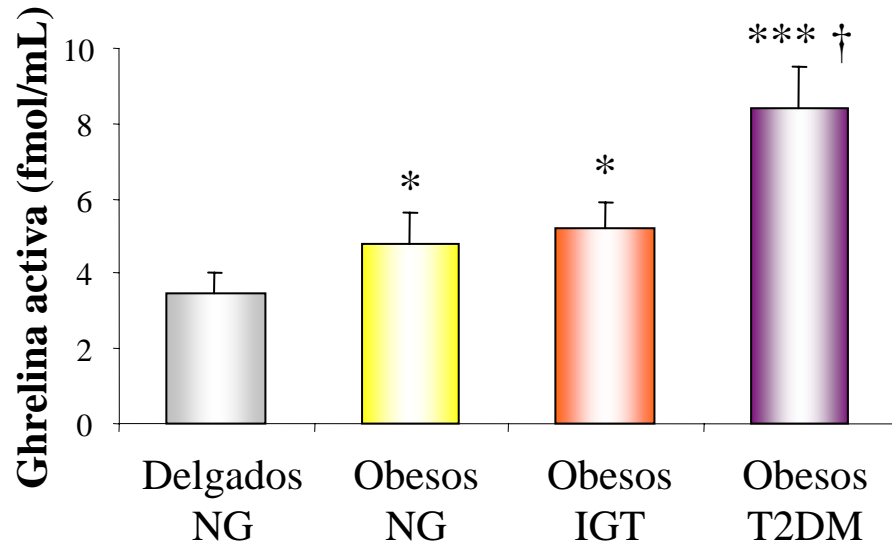


Expresión de GHS-R en grasa omental



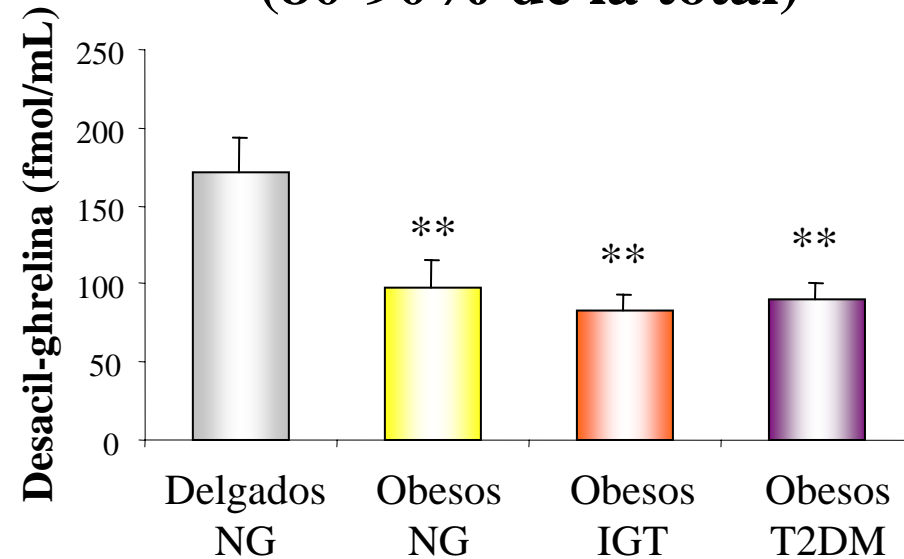
Niveles circulantes de ghrelina y desacil-ghrelina

Ghrelina acilada



Desacil-ghrelina plasmática

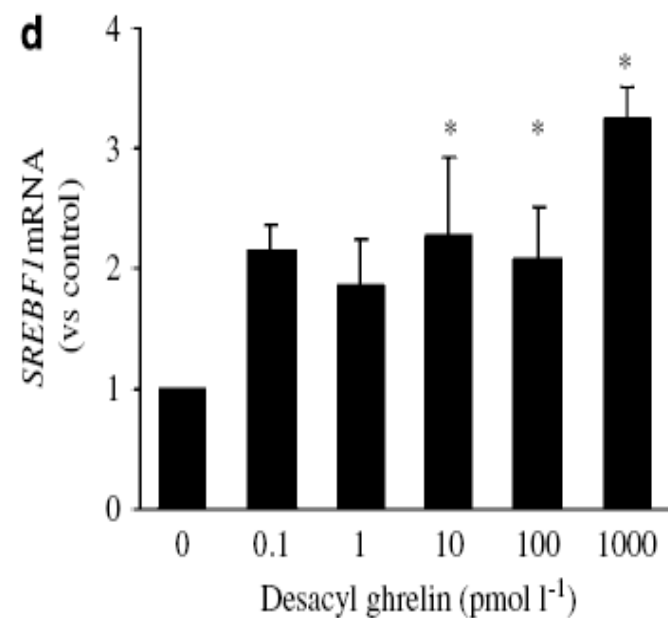
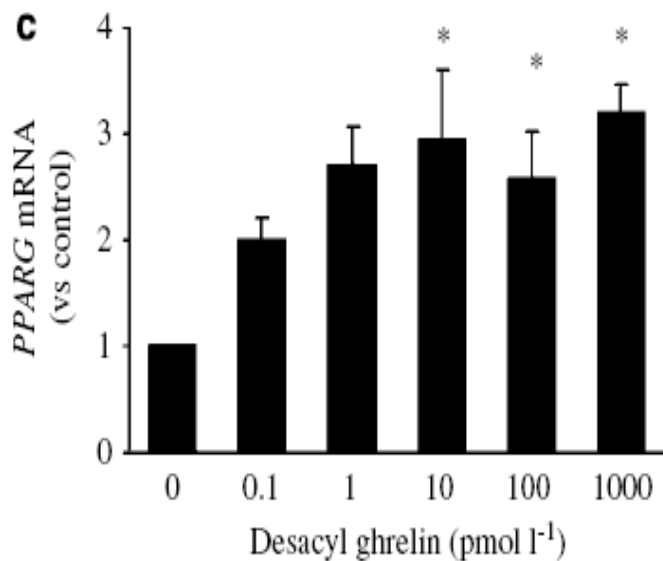
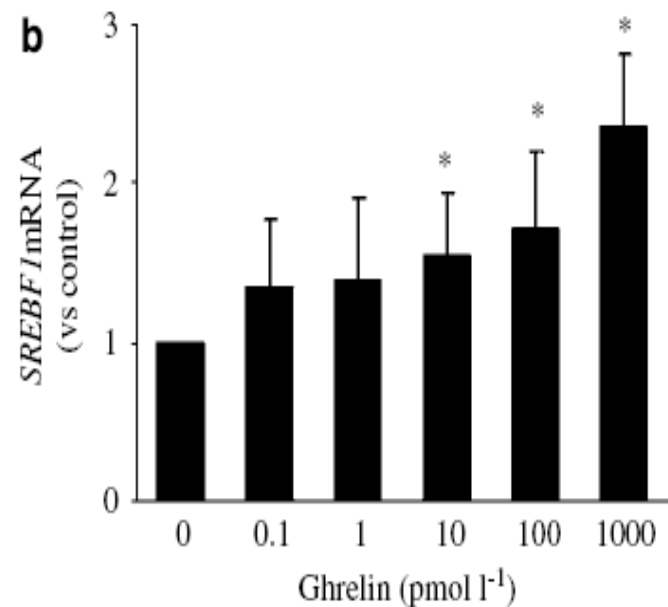
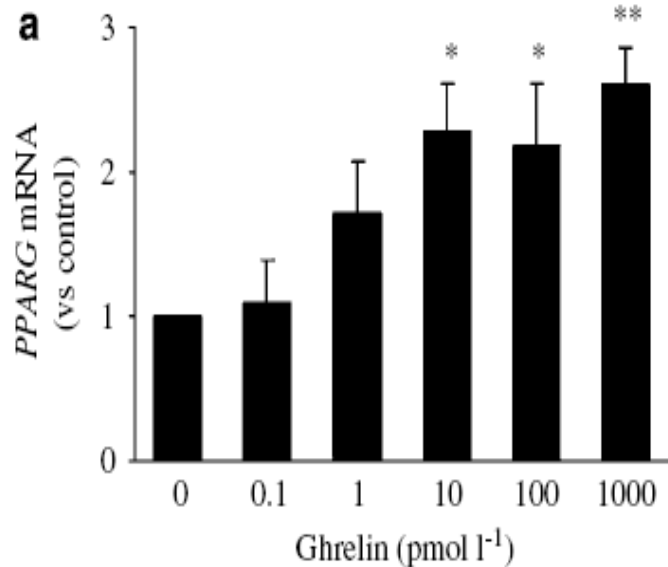
(80-90% de la total)



NG, normoglucémico; IGT, intolerante a la glucosa; T2DM, diabético de tipo 2

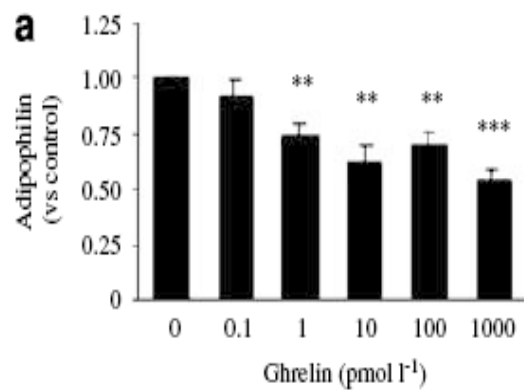
* $P < 0,05$ and *** $P < 0,001$ vs delgados; † $P < 0,05$ vs obesos NG

Estimulación de la adipogénesis

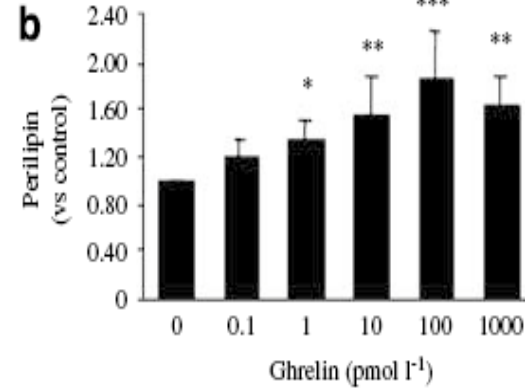


Efecto ghrelina

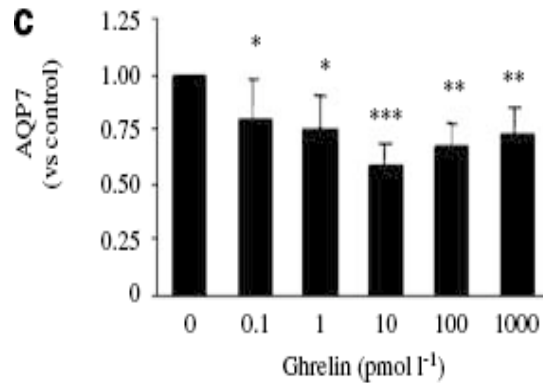
Adipofilina



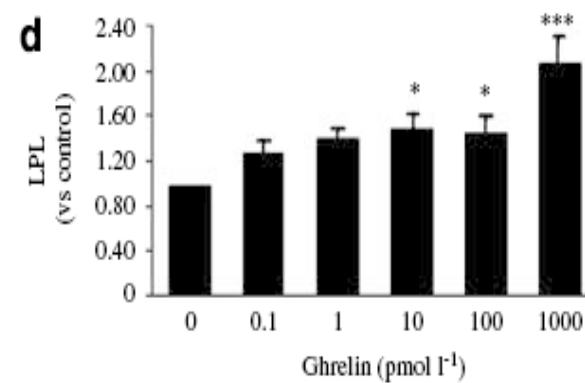
Perilipina



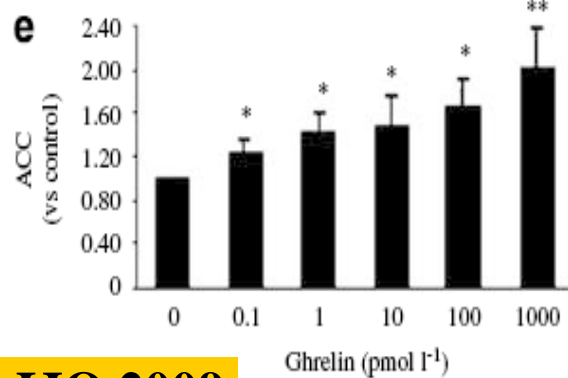
AQP7



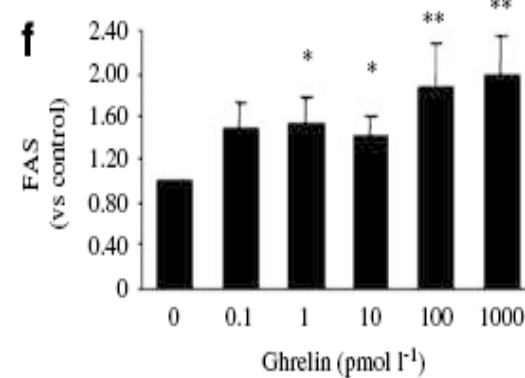
LPL

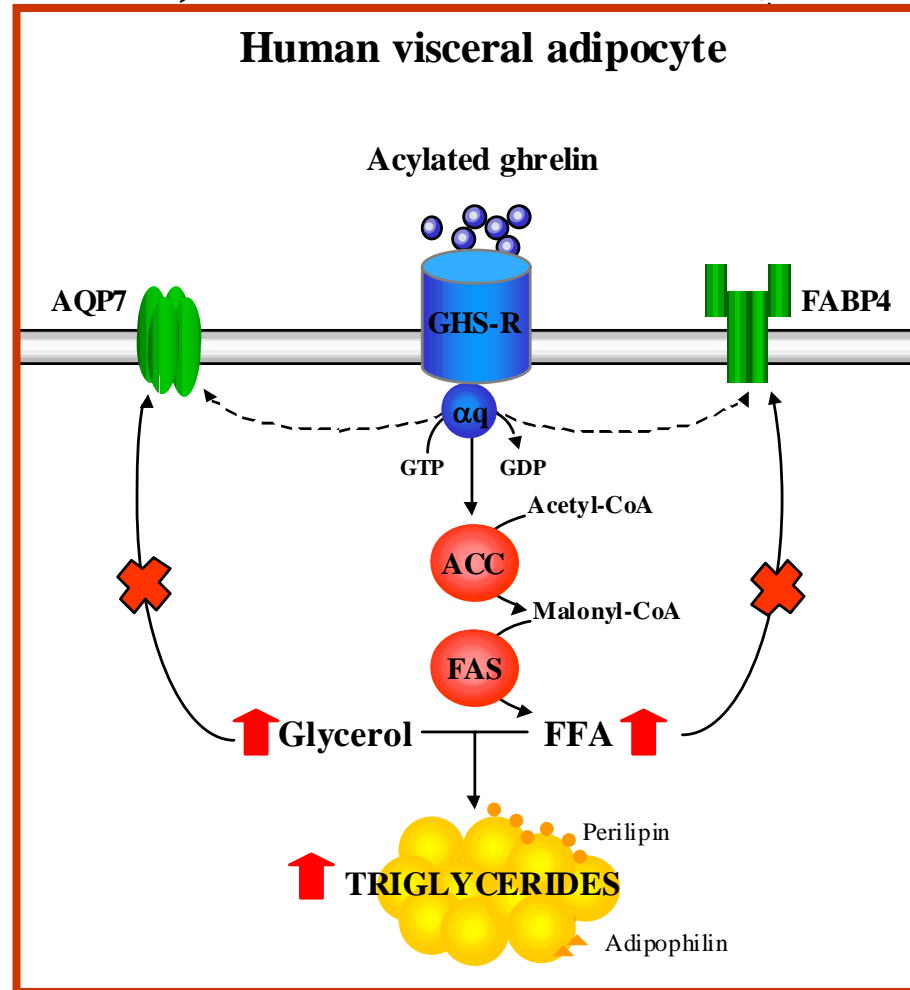
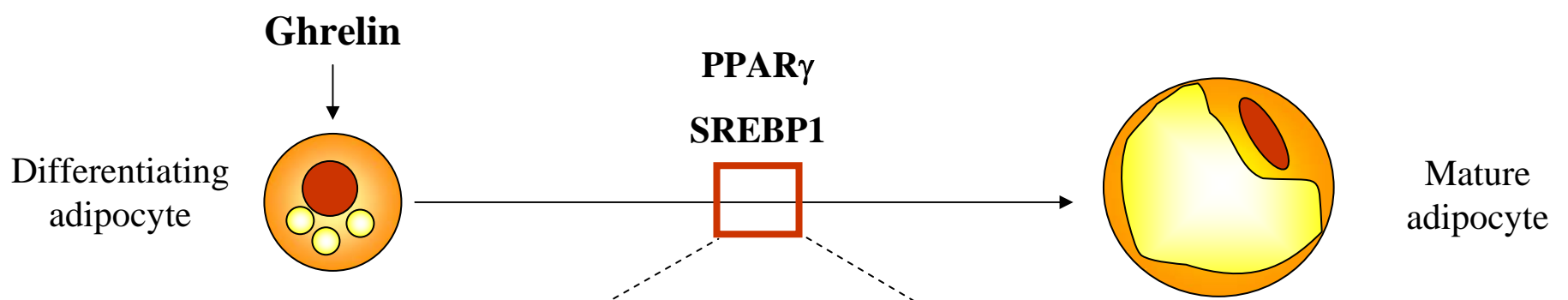


ACC

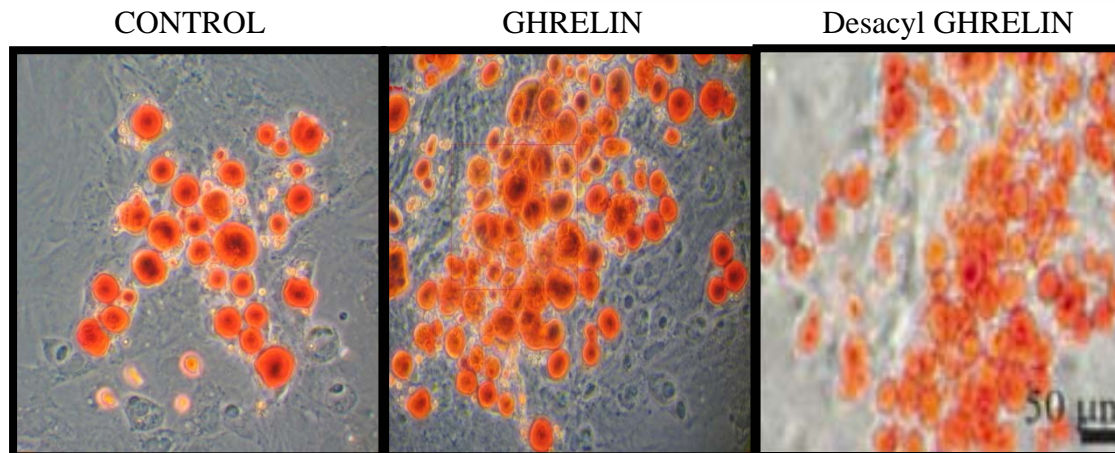
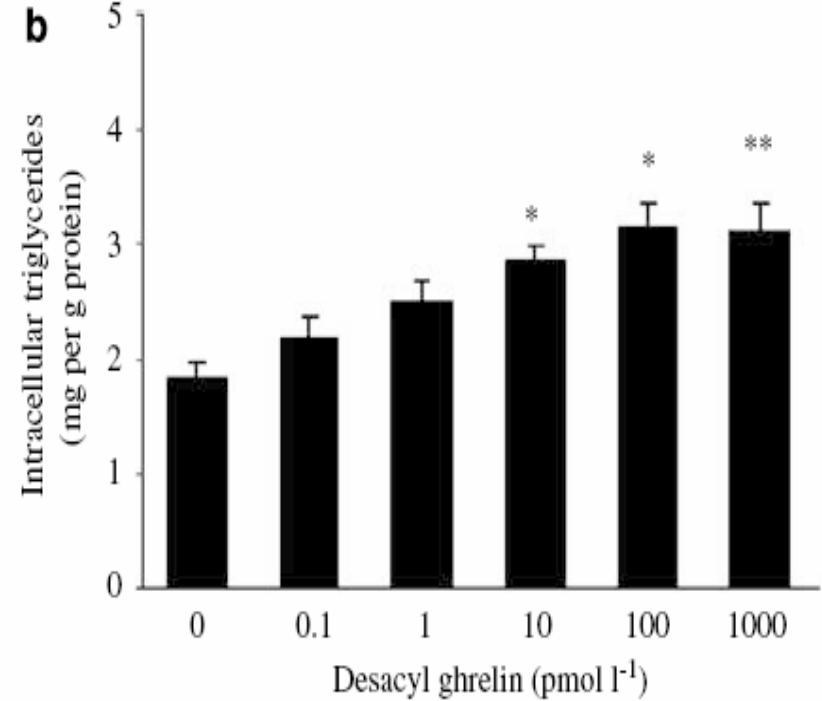
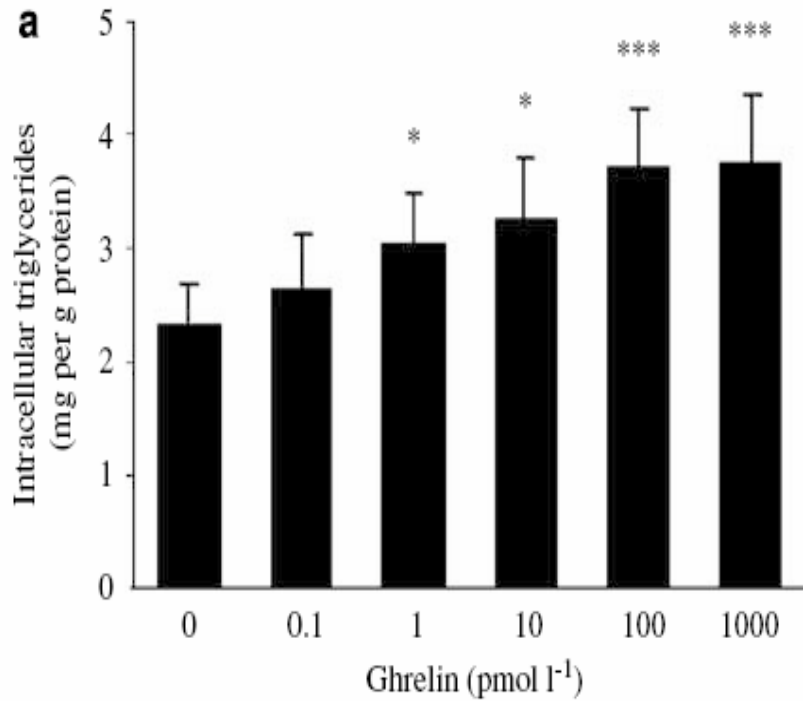


FAS





Acumulación intracelular de lípidos



ESQUEMA GENERAL

Evidencia epidemiológica y genética

Características generales del tejido adiposo

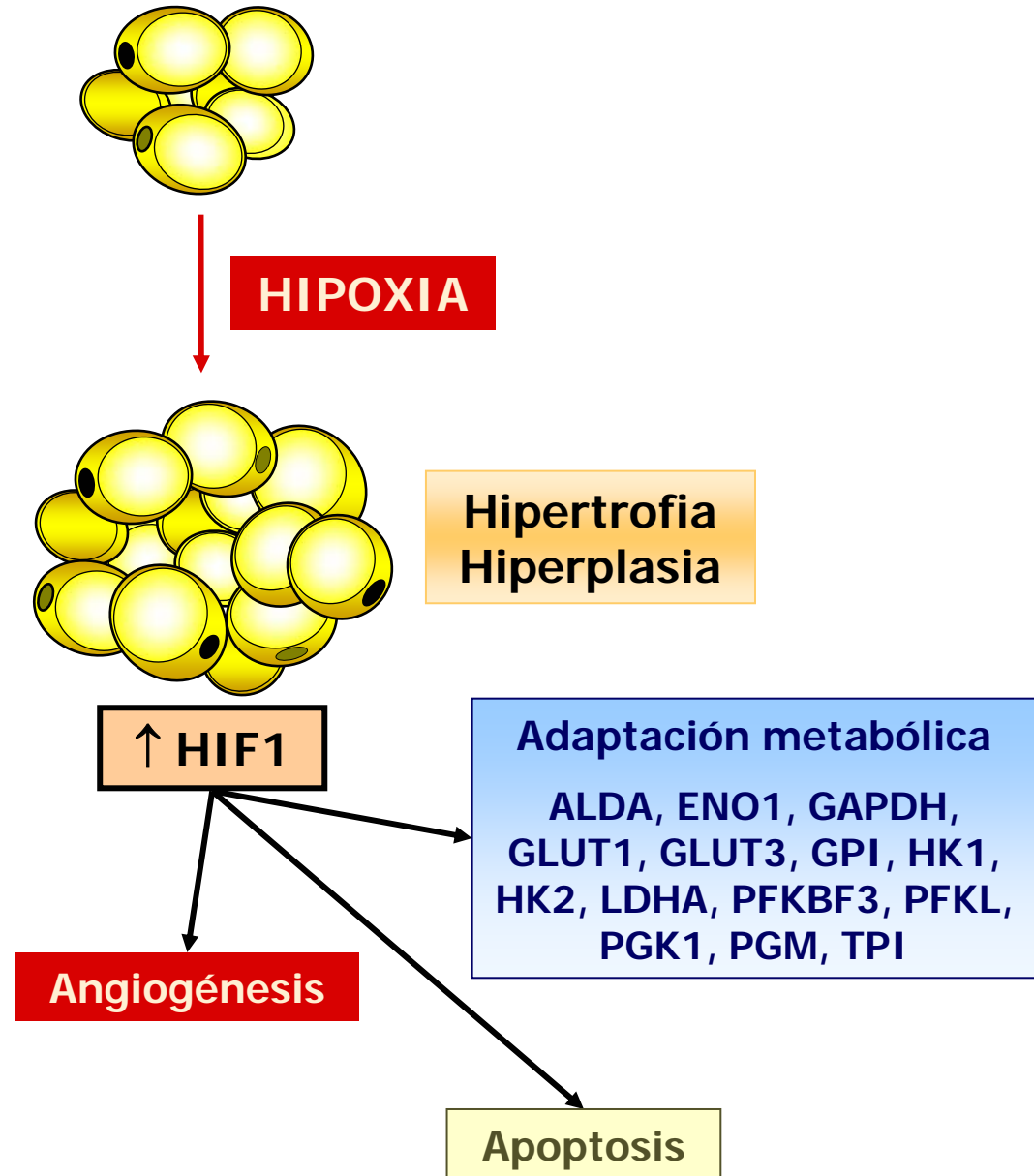
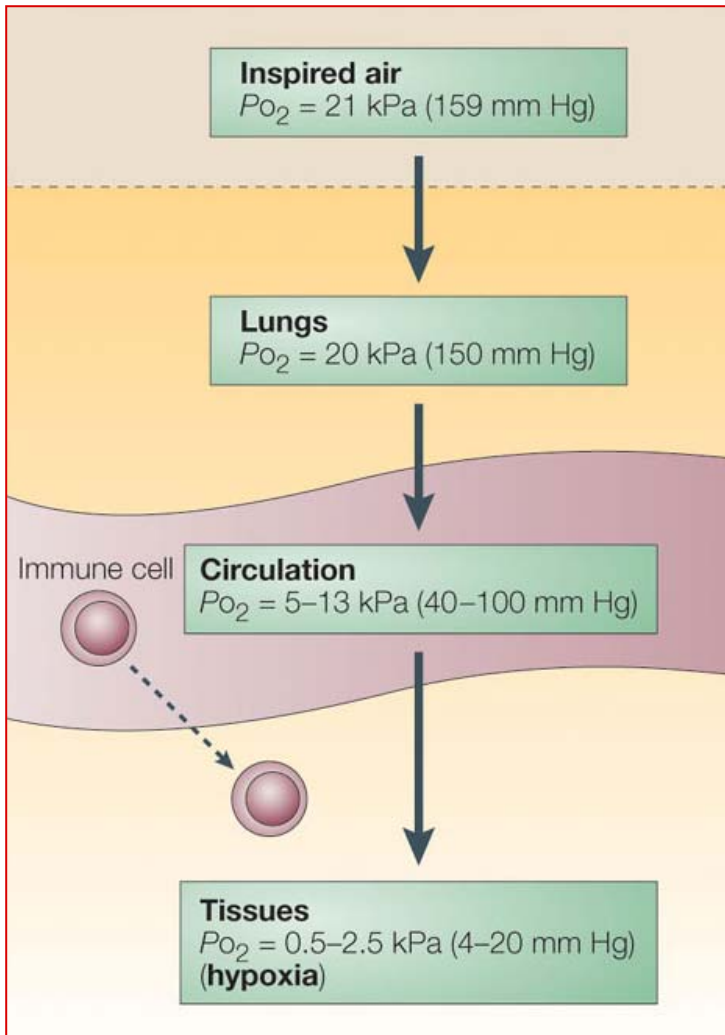
Adipoquinas, insulino-resistencia e inflamación

Vías relacionadas con el metabolismo lipídico

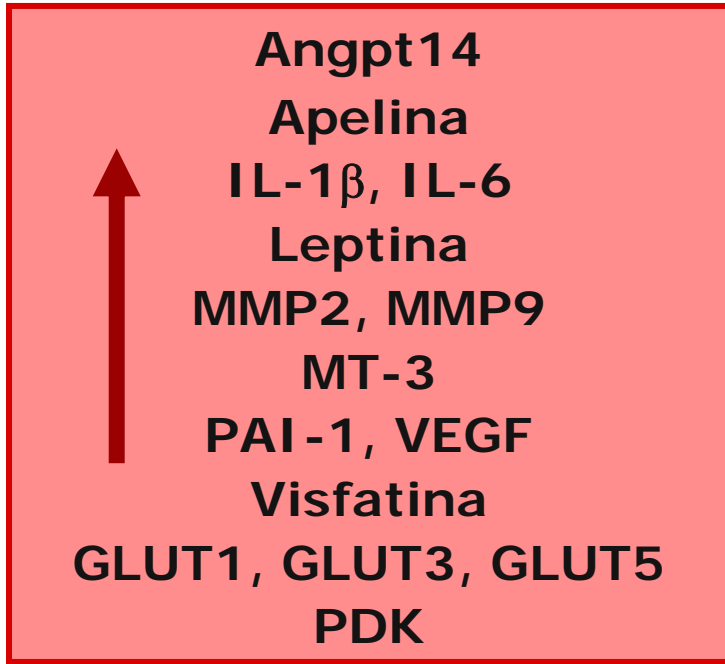
Genes de respuesta a hipoxia

Nuevos hallazgos - implicaciones

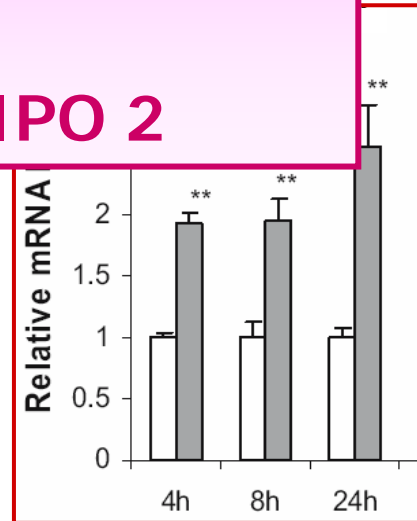
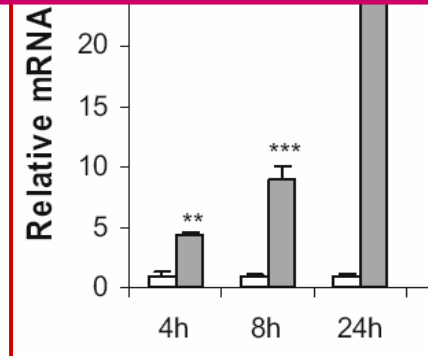
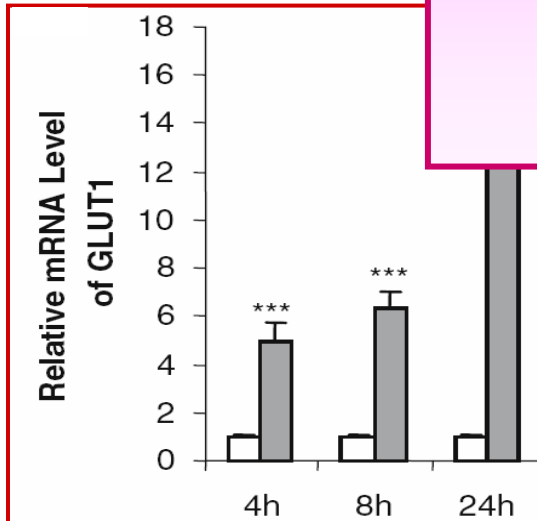
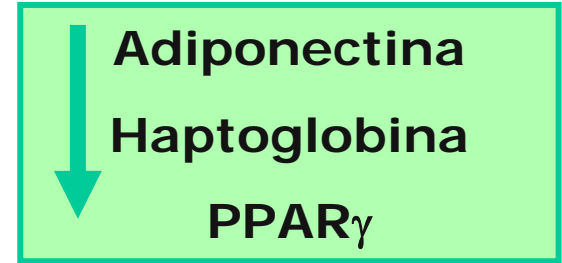
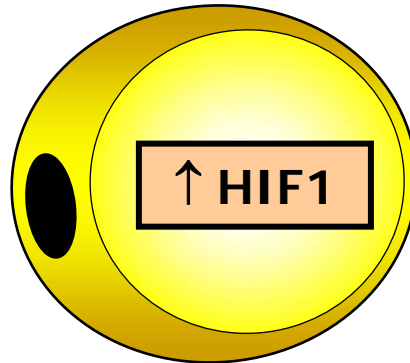
Genes de respuesta a hipoxia



Genes de respuesta a hipoxia



HIPOXIA



ESQUEMA GENERAL

Evidencia epidemiológica y genética

Características generales del tejido adiposo

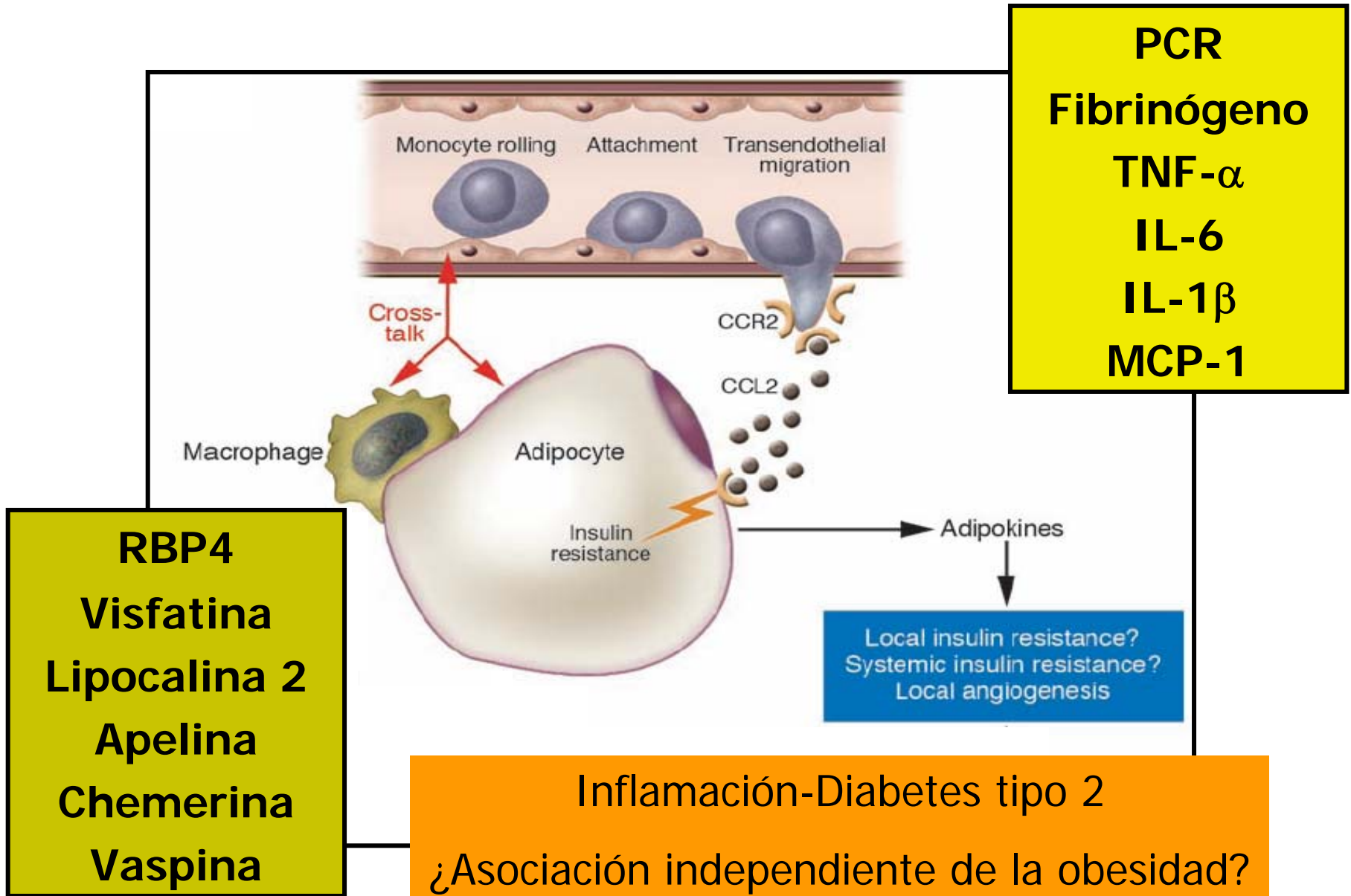
Adipoquinas, insulino-resistencia e inflamación

Vías relacionadas con el metabolismo lipídico

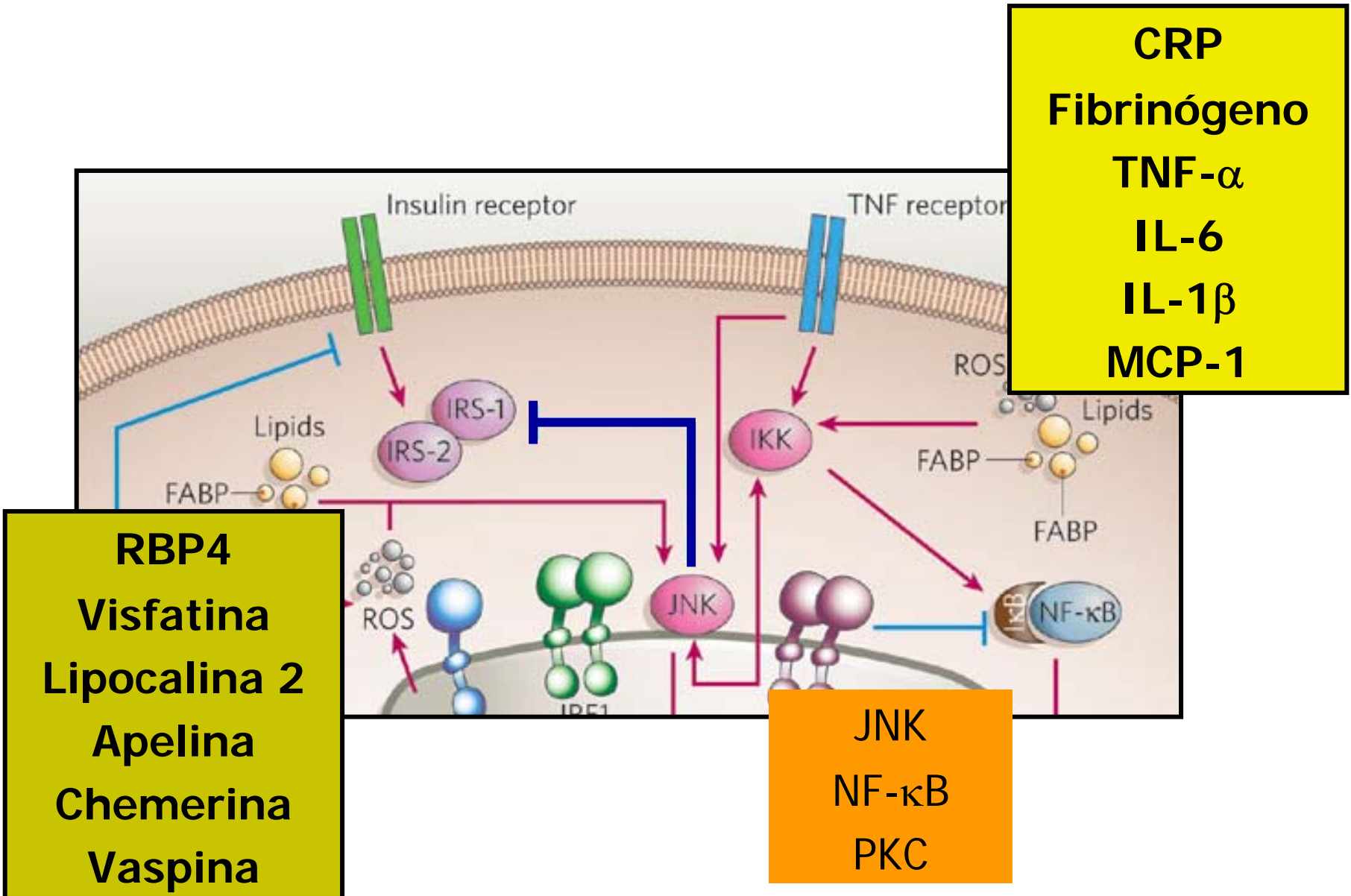
Genes de respuesta a hipoxia

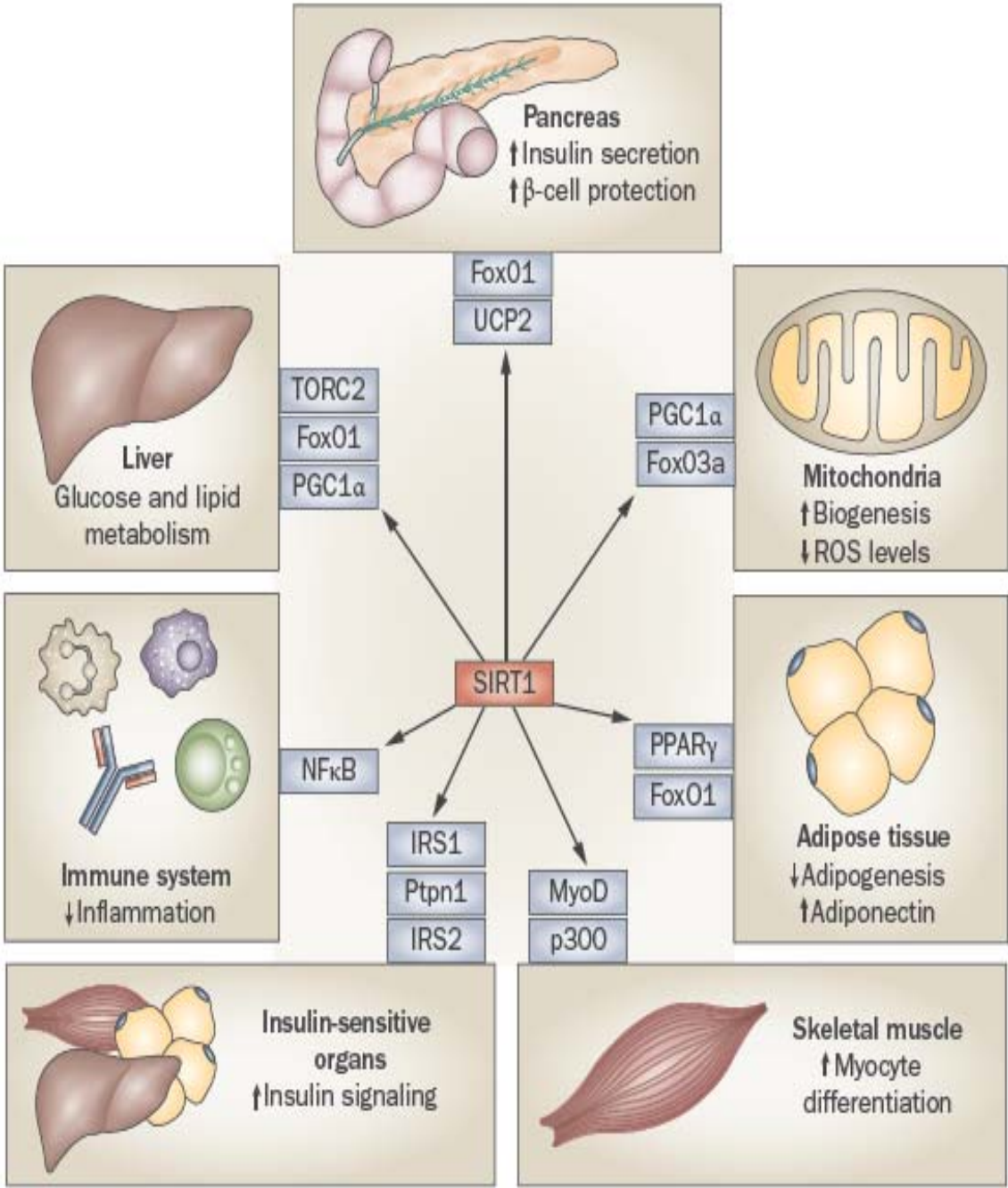
Nuevos hallazgos - implicaciones

Expresión génica de nuevas adipoquinas inflamatorias



Expresión génica de nuevas adipoquinas inflamatorias





SIRT1 activation



glucose ↓
 insulin ↓
 glucose tolerance ↑
 insulin sensitivity ↑ ?
 mitochondrial function ↑
 hepatic steatosis ↓



type 2 diabetes

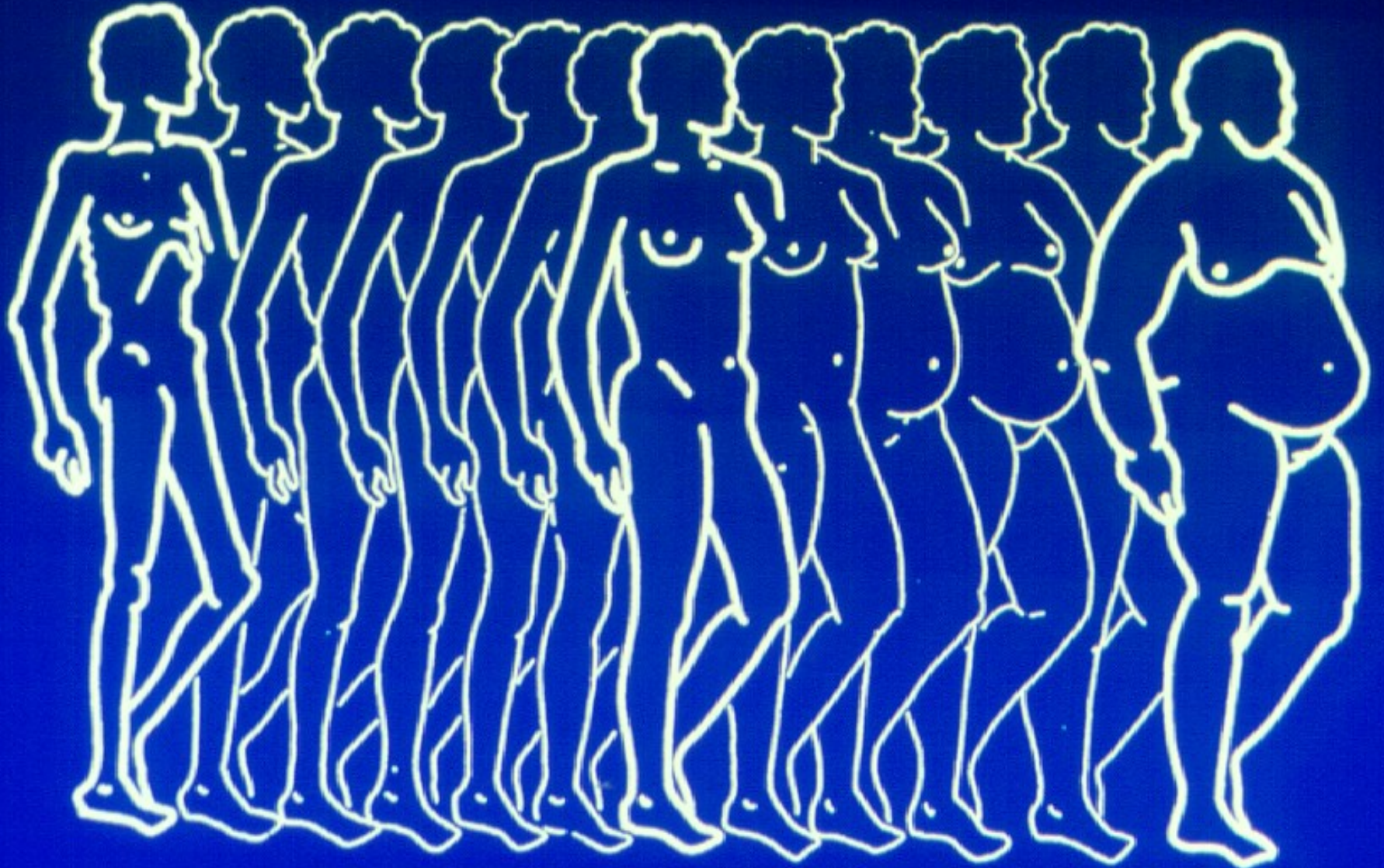
An Increase in the Circulating Concentration of Monocyte Chemoattractant Protein-1 Elicits Systemic Insulin Resistance Irrespective of Adipose Tissue Inflammation in Mice

Chronic inflammation in adipose tissue is thought to be important for the development of insulin resistance in obesity. Furthermore, the level of monocyte chemoattractant protein-1 (MCP-1) is increased not only in adipose tissue but also in the circulation in association with obesity. However, it has remained unclear to what extent the increased circulating level of MCP-1 contributes to insulin resistance. We have now examined the relevance of circulating MCP-1 to the development of insulin resistance in mice. The plasma concentration of MCP-1 was increased chronically or acutely in mice to the level observed in obese animals by chronic subcutaneous infusion of recombinant MCP-1 with an osmotic pump or by acute intravenous infusion of MCP-1 with an infusion pump, respectively. Whole-body metabolic parameters as well as inflammatory changes in adipose tissue were examined. A chronic increase in the circulating level of MCP-1 induced insulin resistance, macrophage infiltration into adipose tissue, and an increase in hepatic triacylglycerol content. An acute increase in the circulating MCP-1 concentration also induced insulin resistance but not macrophage infiltration into adipose tissue. In addition, inhibition of signaling by MCP-1 and its receptor CCR2 by administration of a novel CCR2 antagonist ameliorated insulin resistance in mice fed a high-fat diet without affecting macrophage infiltration into adipose tissue. These data indicate that an increase in the concentration of MCP-1 in the circulation is sufficient to induce systemic insulin resistance irrespective of adipose tissue inflammation. (*Endocrinology* 151:

Tateya et al. Endocrinology. First published ahead of print January 7, 2010

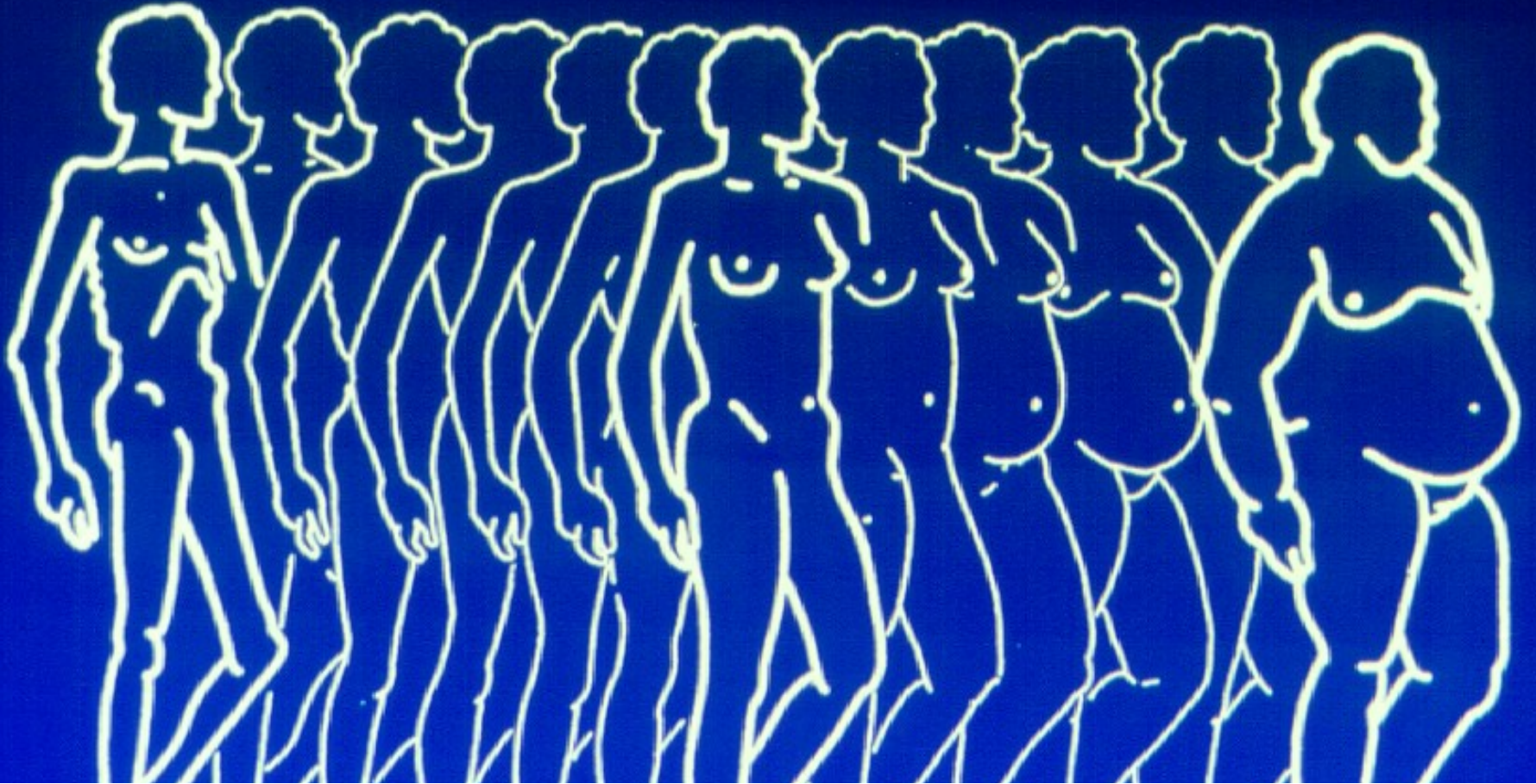
Lipodistrofia

Obesidad



Lipodistrofia

Obesidad



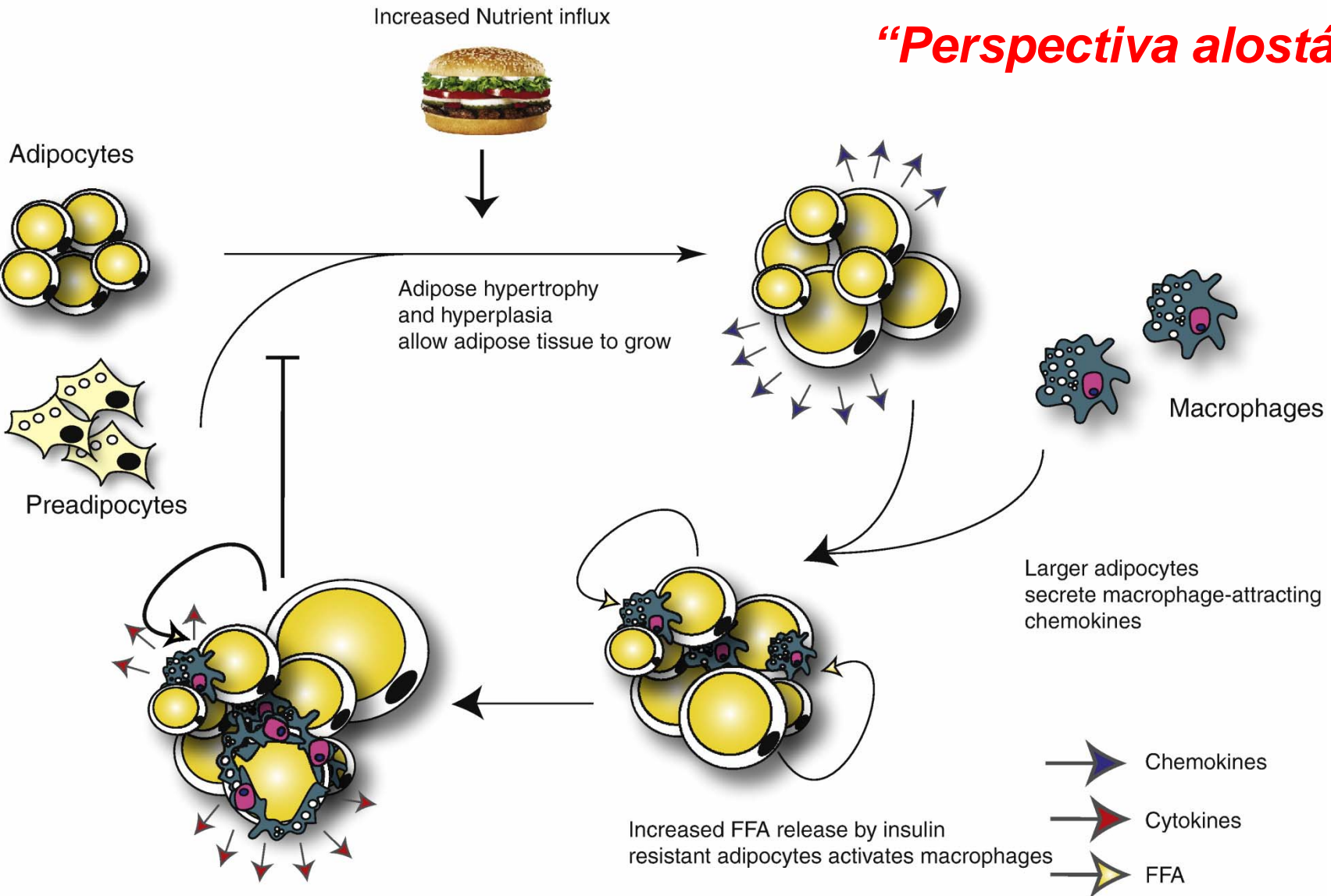
Inflammation and adipose tissue macrophages in lipodystrophic mice

240-245 | PNAS | January 5, 2010

Laura Herrero¹, Hagit Shapiro, Ali Nayer, Jongsoon Lee, and Steven E. Shoelson²

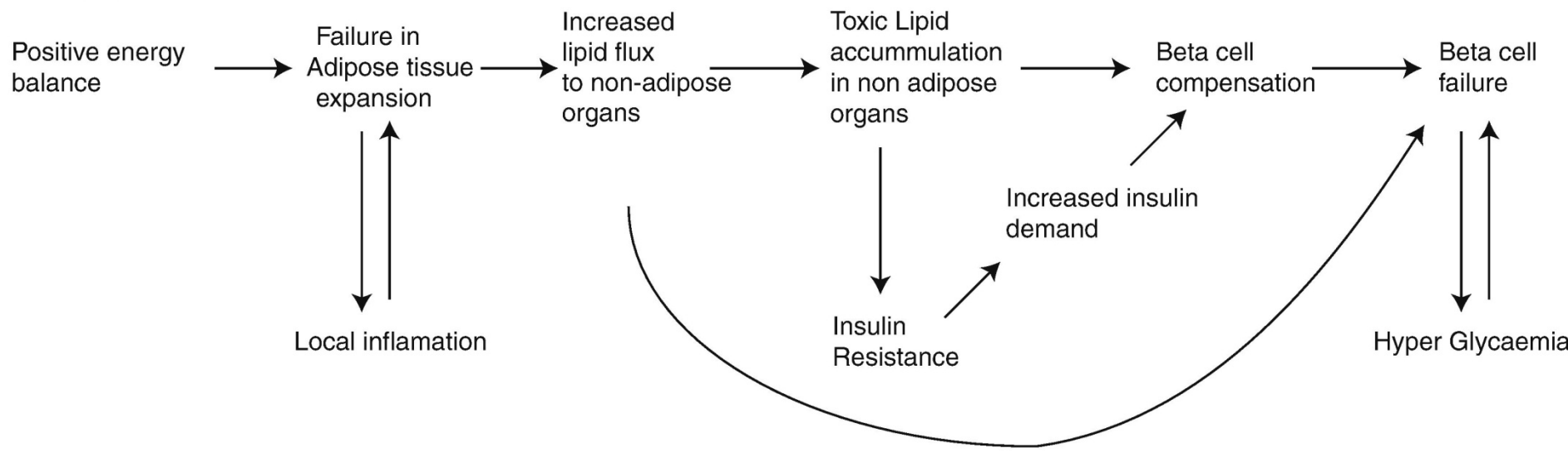
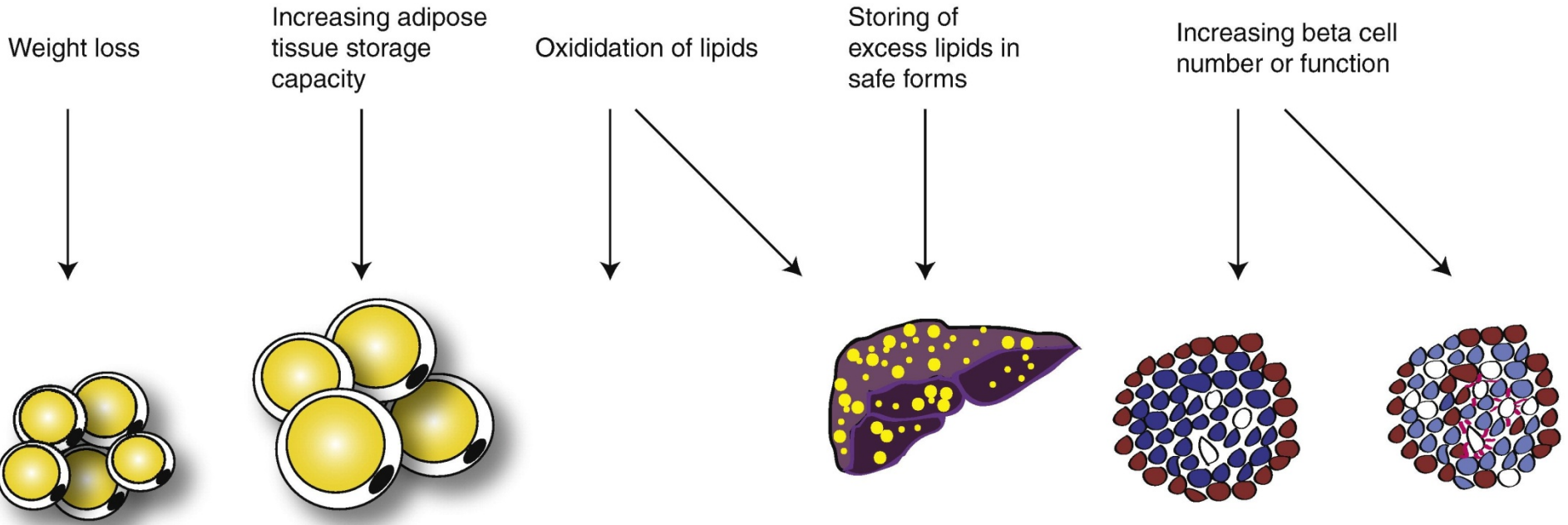
Expansibilidad del tejido adiposo, lipotoxicidad y sínd. metab.

“Perspectiva alostática”



Activated macrophages block preadipocyte recruitment and worsen insulin resistance in mature adipocytes, increasing FFA release and macrophage activation

Expansibilidad del tejido adiposo, lipotoxicidad y sínd. metab.



Clínica Universidad de Navarra

Equipo Multidisciplinar de Diagnóstico y Tratamiento de la Obesidad



Lab. Investigación Metabólica



ciberobn

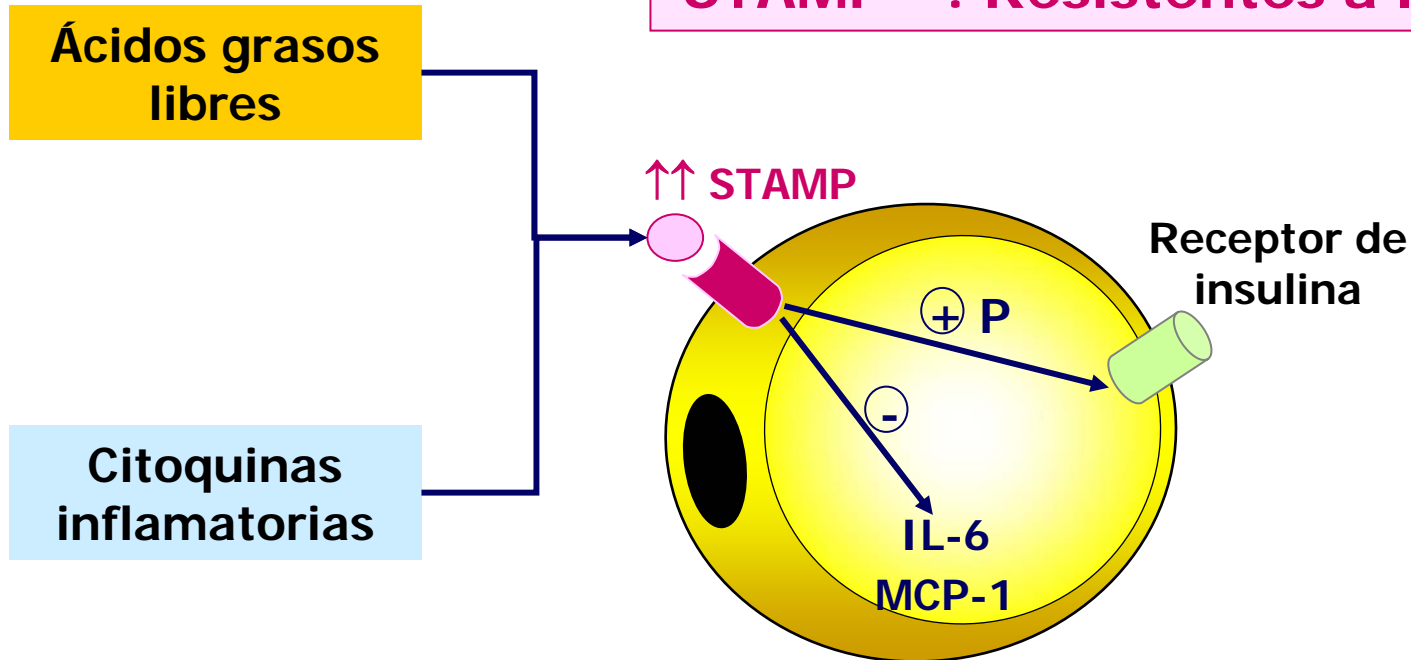
Centro de Investigación Biomédica En Red
Fisiopatología de la Obesidad y Nutrición

Javier Gómez-Ambrosi
Amaia Rodríguez
Victoria Catalán
Beatriz Ramírez
Sara Becerril
Neira Sanz

Expresión génica de nuevas adipoquinas inflamatorias

STAMP

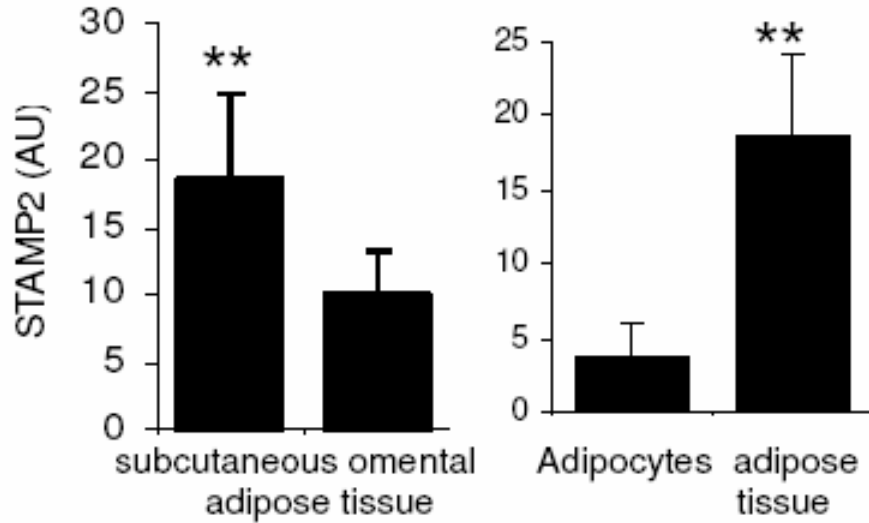
STAMP^{-/-}: Resistentes a la insulina



Aumento en captación de glucosa
Disminución de la inflamación

Expresión génica de nuevas adipoquinas inflamatorias

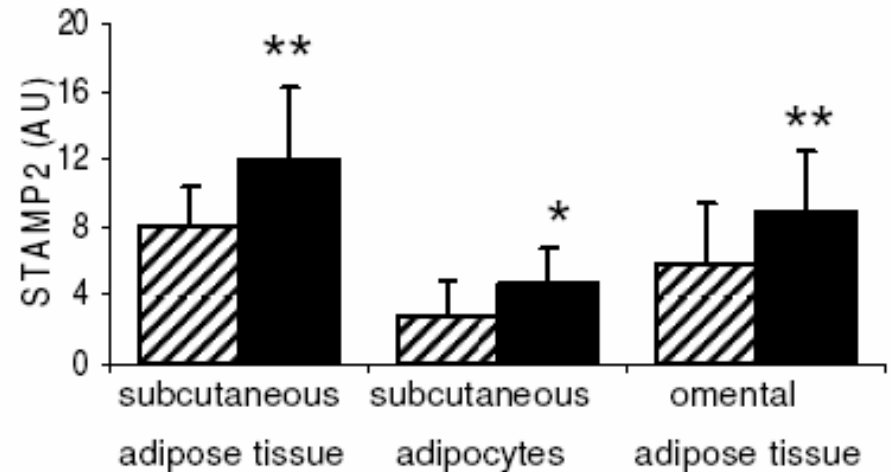
STAMP



Expresión en subcutáneo >
Expresión en visceral

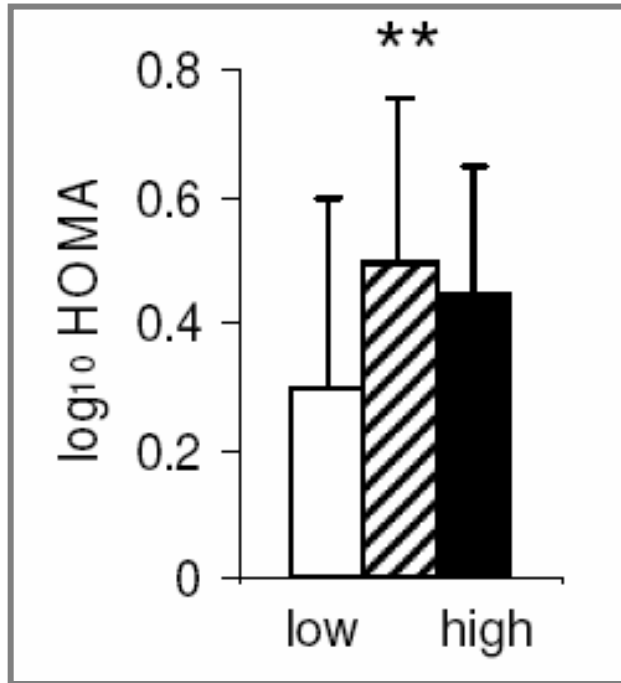
¿Expresión por SVF?

Expresión en obesos >
Expresión en delgados



Expresión génica de nuevas adipoquinas inflamatorias

STAMP



Aumento de la expresión de STAMP al aumentar la insulino-resistencia

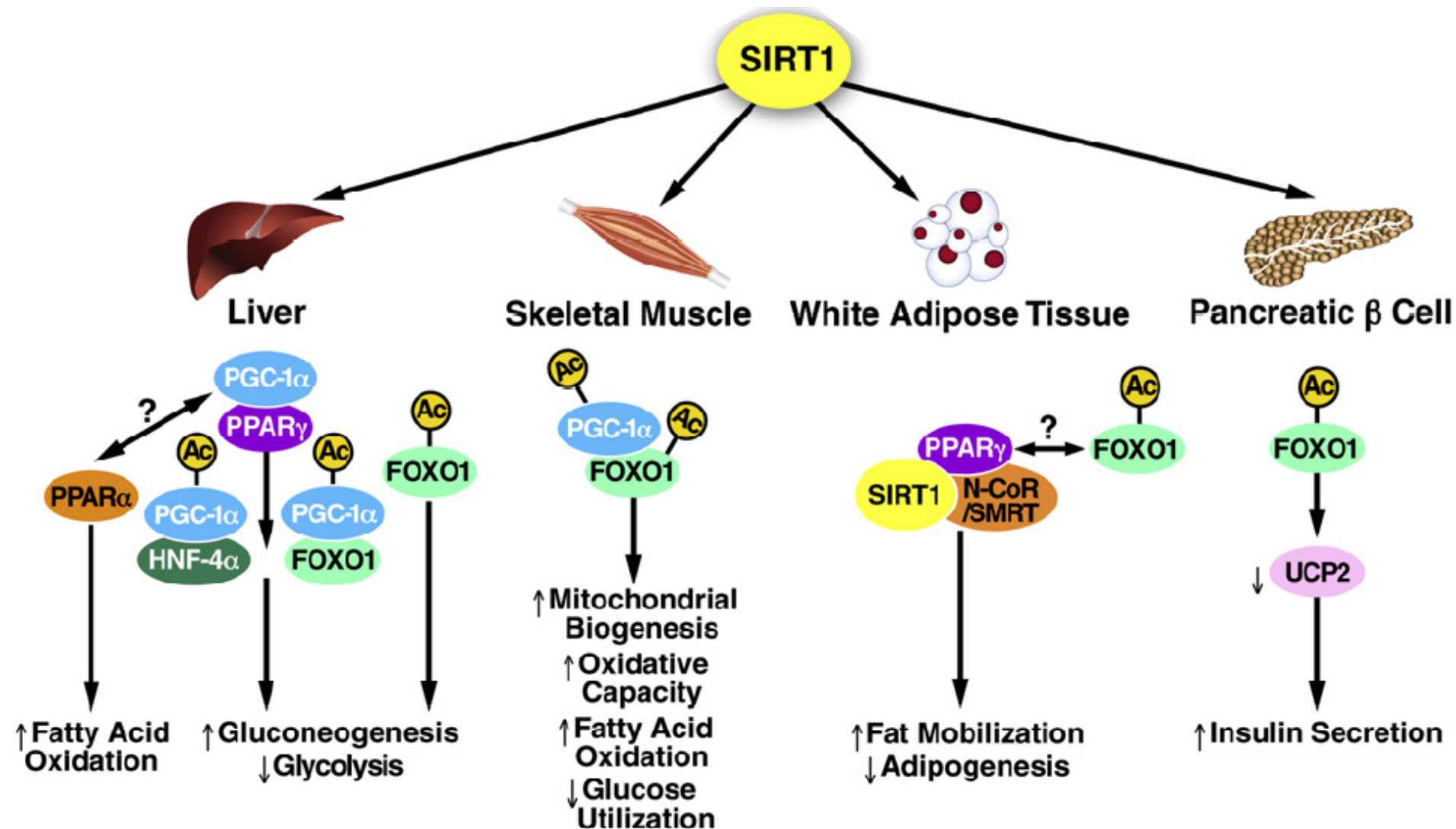
TNF- α activa STAMP en cultivos

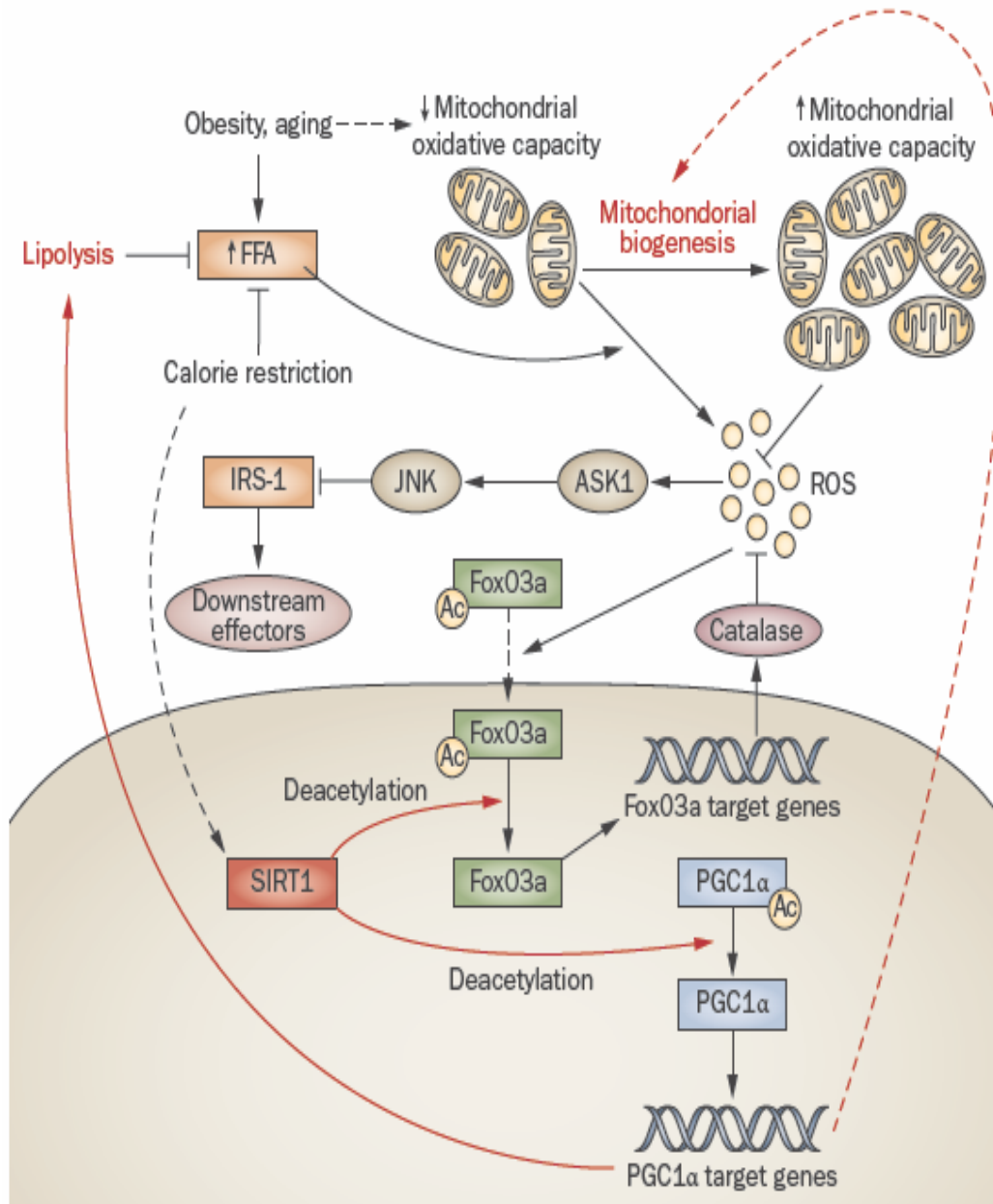
	STAMP2	
	Correlation coefficient	P-value
CD68	0.35	0.0005
TNFA	-0.036	0.73
IL6	-0.014	0.90

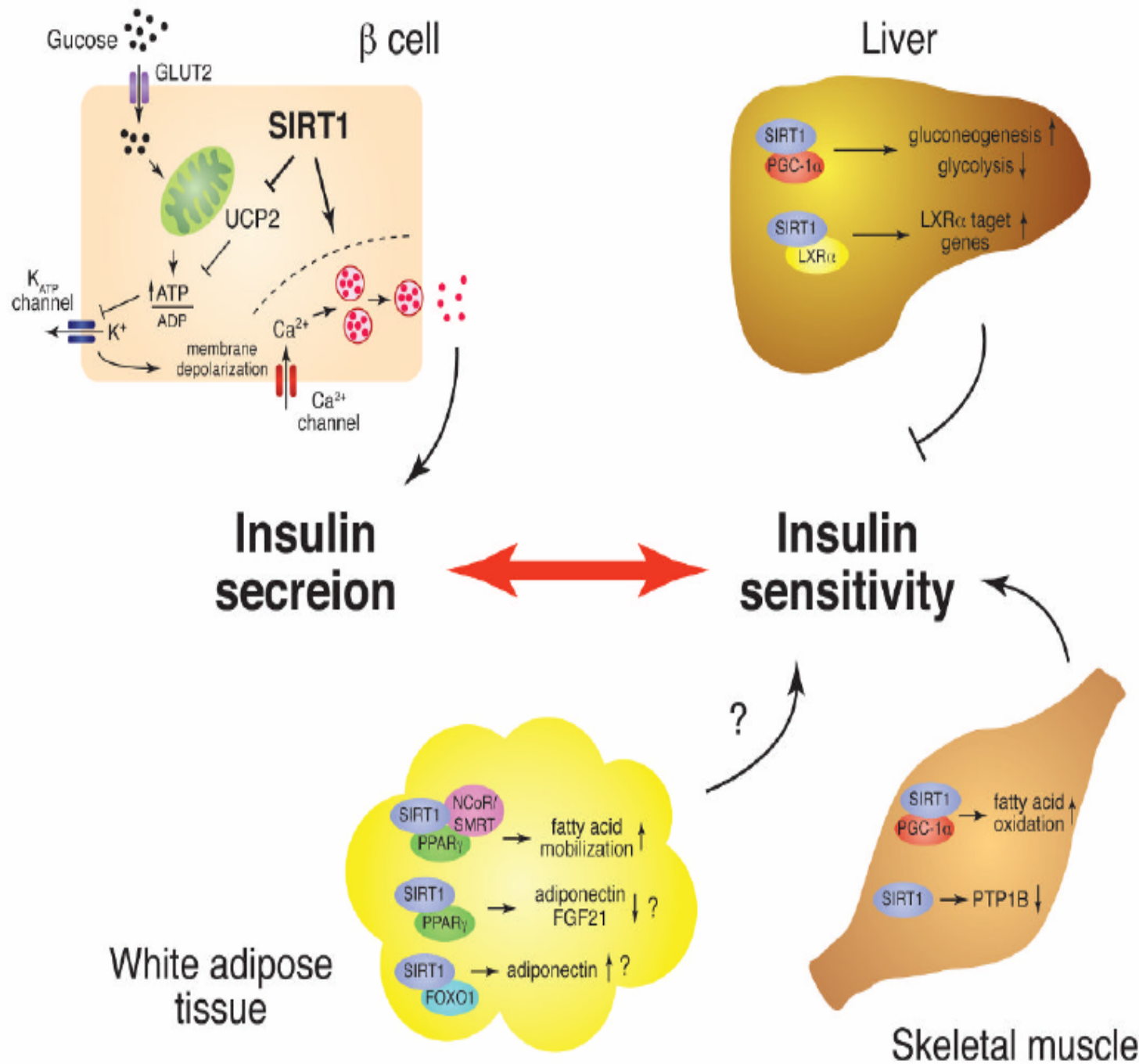
Vías alternativas de activación

**Aumento en obesidad
Relación con insulino-resistencia**

Pleiotropism of Sirtuin1



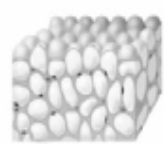




Lean / healthy state

↑ Insulin sensitivity
Normal endothelial function

↑ Anti-inflammatory adipokines
↓ Pro-inflammatory adipokines



Adipose tissue expansion / inflammation

↓ Adiponectin, omentin

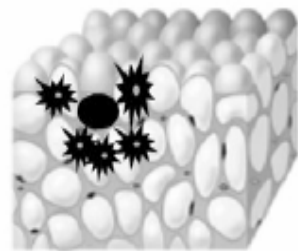
↑ TNF α , IL-6, IL-8, MIF, MCP-1, RANTES

↑ leptin, adipsin, chemerin, visfatin, apelin, vaspin

↑ SAA, haptoglobin, PAI-1

↑ HGF, NGF, TGF β , VEGF

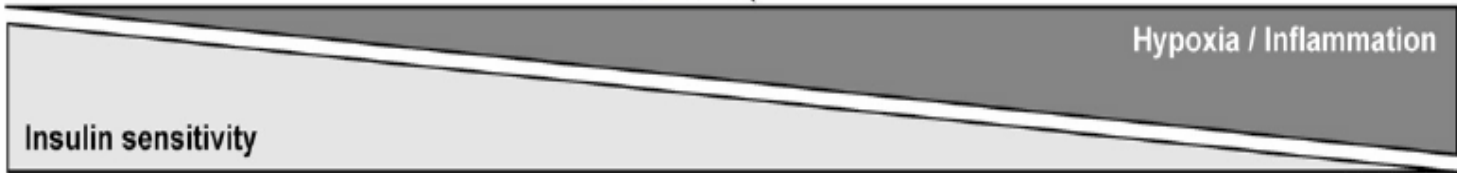
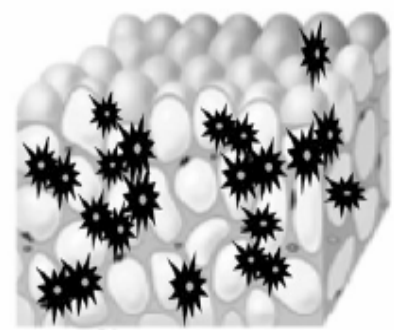
Activation of COX, NOS, RAS and MMPs

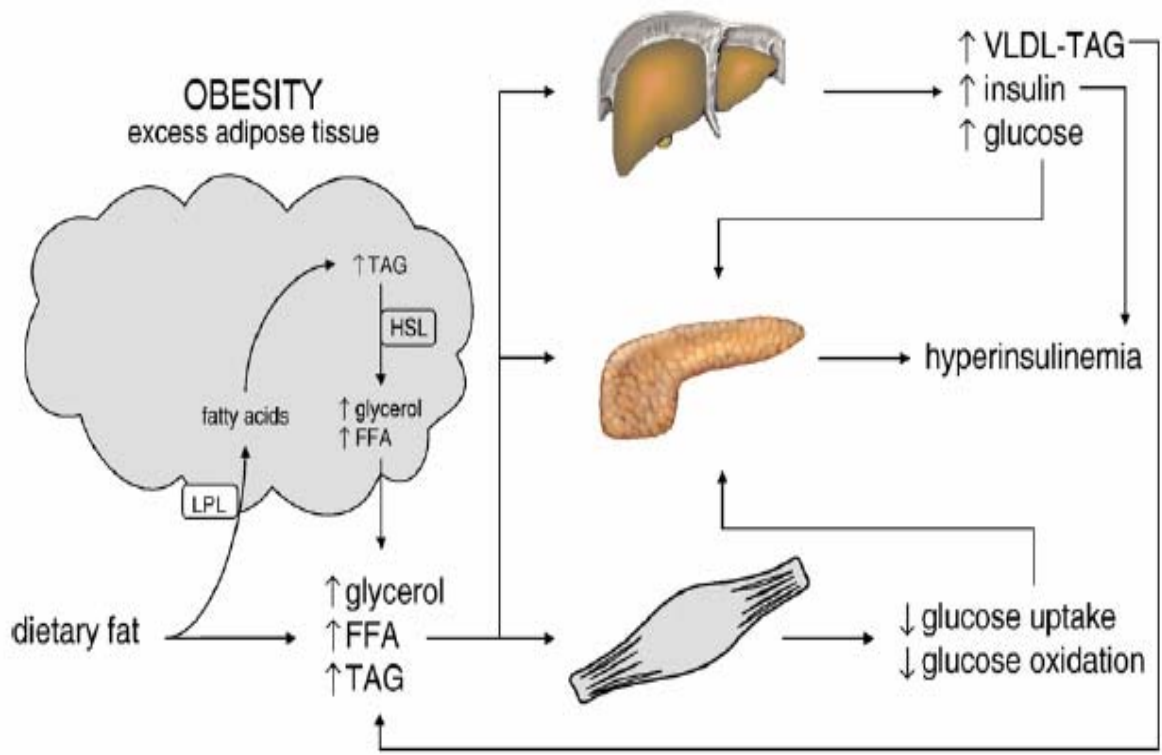


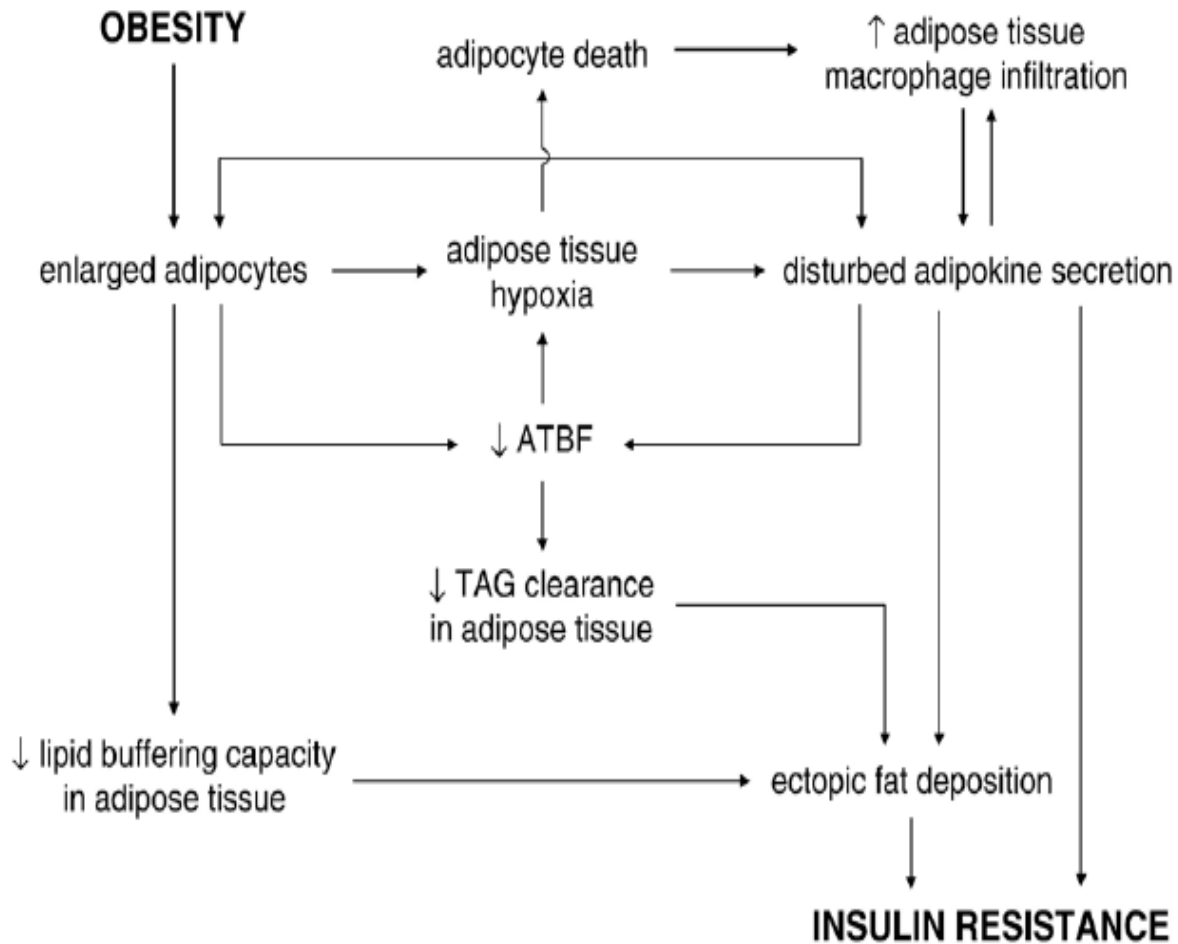
Obesity-associated pathologies

↓ Insulin sensitivity
Endothelial dysfunction

↓ Anti-inflammatory adipokines
↑↑ Pro-inflammatory adipokines







Inflammation and adipose tissue macrophages in lipodystrophic mice

240–245 | PNAS | January 5, 2010

Laura Herrero¹, Hagit Shapiro, Ali Nayer, Jongsoon Lee, and Steven E. Shoelson²

adipose tissue macrophages (ATMs) in lipodystrophy and obesity are very different in terms of activation state, gene expression patterns, and response to lipopolysaccharide. Although ATMs are even more abundant in lipodystrophy than in obesity, they have distinct phenotypes and likely roles in tissue remodeling, but do not appear to be involved in the pathogenesis of insulin resistance.